# Determinación de la estructura de proteínas empleando RMN

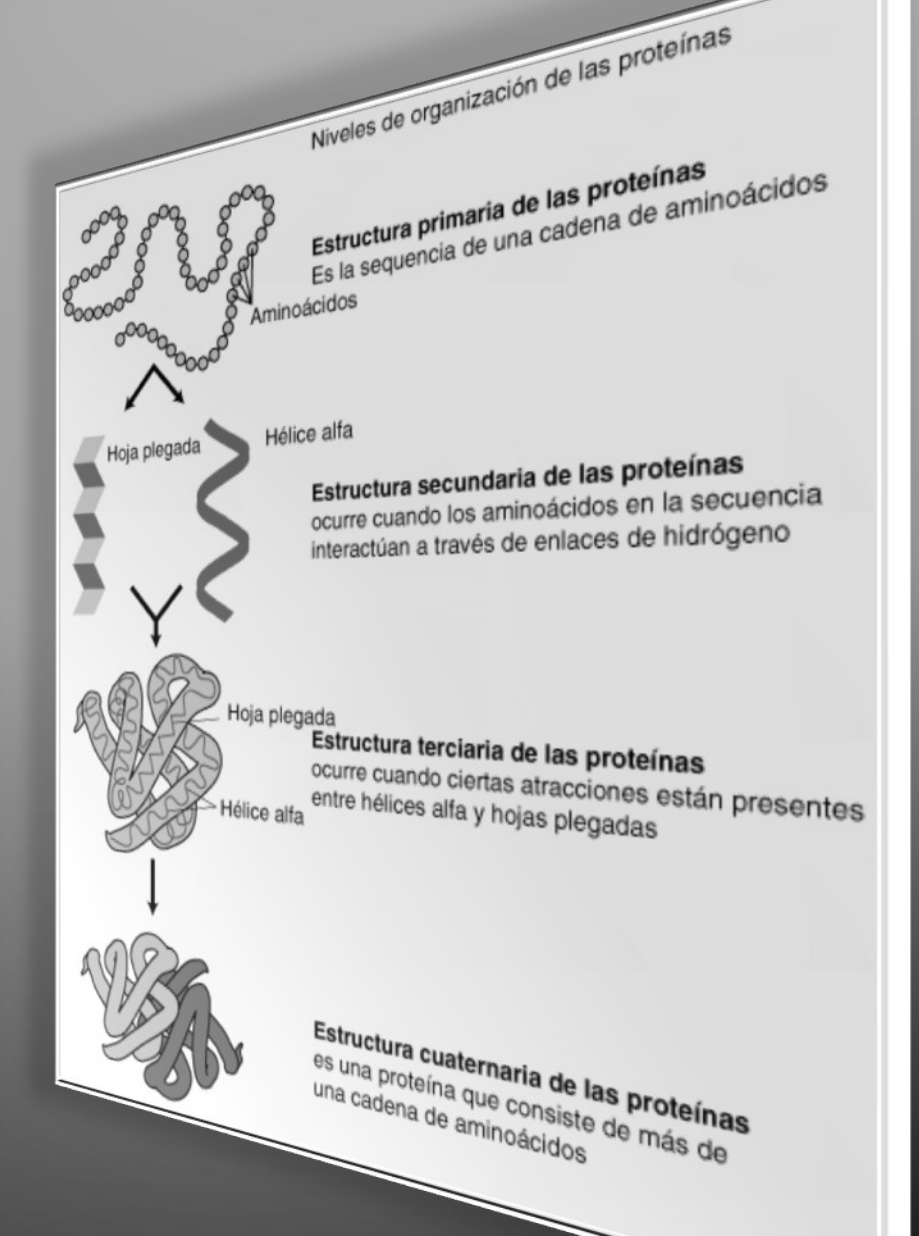
DR. GABRIEL CUEVAS
INSTITUTO DE QUÍMICA, UNAM

#### **OBJETIVO**

Mostrar la aplicabilidad de la RMN a la resolución de la estructura de proteínas mostrando ejemplos en moléculas sencillas.

#### Proteínas

- Macromoléculas formadas por cadenas lineales de aminoácidos.
- Realizan una enorme cantidad de funciones diferentes, entre las que destacan:
- ✓ estructural,
- ✓ reguladora,
- ✓ transportadora,
- ✓ defensiva,
- enzimática
- ✓ contráctil.





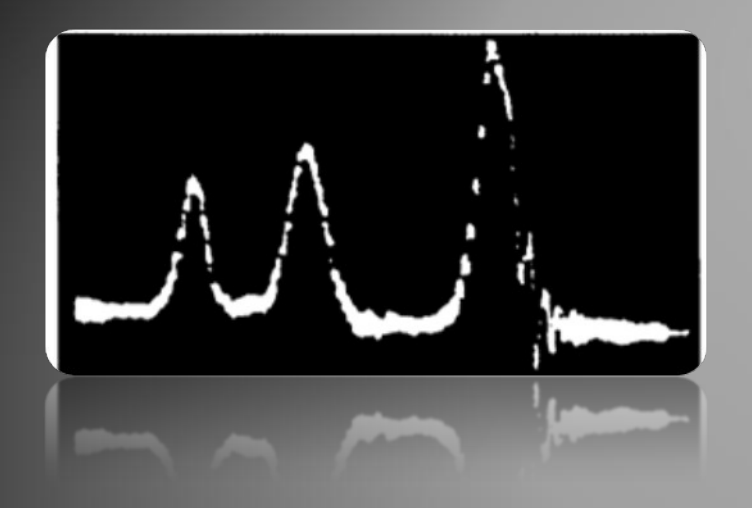
# Algunos requerimientos de la muestra

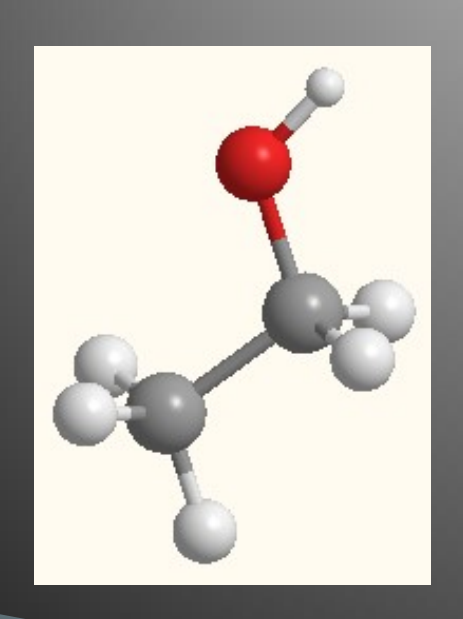
- Muestras estables a temperatura ambiente.
- Concentraciones 1mM en un volumen de 0.3 – 0.5 mL.
- Dos muestras: una que se adquiere en  $D_2O$  para observar protones no intercambiables, otra 95%  $H_2O/5\%$   $D_2O$  para observar los protones intecambiables.
- Muestras de proteínas que han sido expresadas generalmente en bacterias.
- Proteínas marcadas con <sup>15</sup>N y <sup>13</sup>C (<sup>15</sup>NH<sub>4</sub>Cl y <sup>13</sup>C<sub>6</sub>-glucosa).

# La técnica de RMN

#### Desarrollo de la RMN

Década	Avances Notables
1940	Primera observación de RMN en sólidos y líquidos (1945)
1950	Desarrollo del desplazamiento químico y los acoplamientos Espín-Espín como herramientas para la elucidación estructural
1960	Uso de la señales para mejora la sensibilidad Aplicación de la TF (transformada de Fourier) mejora de la relación señal-ruido Aplicación del NOE para la elucidación estructural
1970	Uso de los imanes superconductores en combinación con la TF
1980	Desarrollo de técnicas bidimensionales y de secuencias de pulsos complejas Espectroscopia automatizada
1990	Aplicación de los gradientes de pulso Uso de técnicas espectroscópicas combinadas CL-RMN (cromatografía de líquidos-RMN)
2000	Uso de criosondas de alta sensibilidad Uso de equipos con protección externa que impiden efectos en el campo magnético (menor a 1 m) Desarrollo de microtubos para disminuir la cantidad de muestra
2010	Desarrollo de procesamiento de datos de forma paralela y más rápida





- Primer espectro de "alta resolución" de <sup>1</sup>H del etanol a 30 MHz.<sup>1</sup>
- Demuestra que los desplazamientos químicos (δ) tienen una relación directa con la estructura de la molécula.

#### Premios Nobel y la RMN



Felix Bloch Stanford, USA PN Física 1952



Edward Mills Purcell Harvard, USA PN Física 1952



Richard R. Ernst ETH, Zürich (Suiza) PN Química 1991



Kurt Wütrich ETH, Zürich (Suiza) PN Química 2002

#### Premios Nobel y la RMN



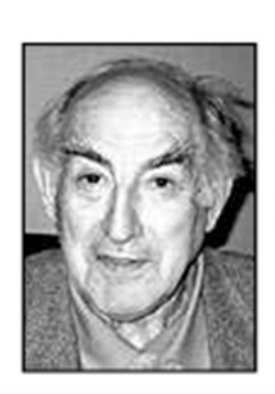
Paul Lauterbur Illinois, USA PN Medicina 2003



Peter Mansfield Nottingham, UK PN Medicina 2003



Aleksei Abrikosov Argonne, USA PN Física 2003



Vitaly Ginzburg Moscú, Rusia PN Física 2003



Anthony Leggett
Urbana, USA
PN Física 2003

#### ¿Qué es la RMN?

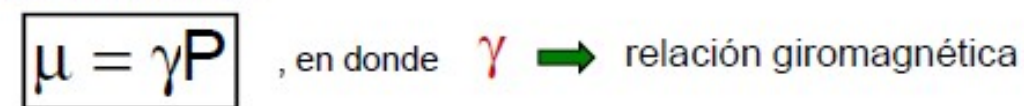
- Todos los núcleos que poseen un número impar de protones o neutrones tienen un momento magnético y un momento angular, por lo cual, tienen un espín > 0.
- Los núcleos más empleados en RMN son el protón (¹H, el isótopo más sensible en RMN) el ¹³C y el ¹⁵N.

#### Momento Magnético Nuclear

\*En su movimiento de espín, el núcleo generará un *Momento Magnético Nuclear* μ asociado, cuya magnitud dependerá de la carga y dotación nucleares:



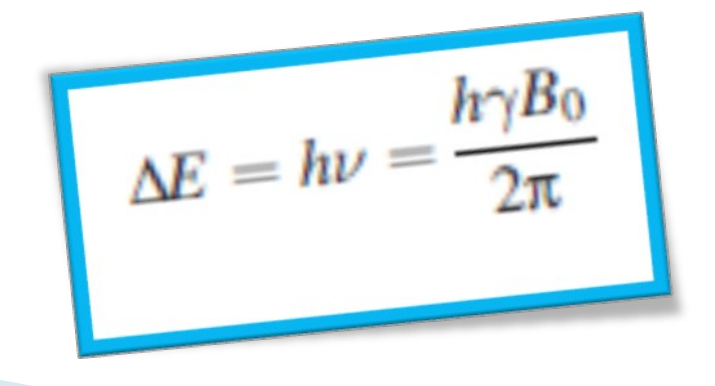




Núcleo	nº cuantico de spin I	$\begin{array}{c} \mu \\ \text{(unidades} \\ \text{de } \mu_N \text{)} \end{array}$	$\begin{array}{c} \gamma \\ (10^8 \text{ rad.} \\ T^{-1} \text{ s}^{-1}) \end{array}$	V <sub>0</sub> (Mz a B <sub>0</sub> de 1T)	Sensibilidad relativa a campo constante.	Abundancia natural (%)	Momento cuadrupolar (e 10 <sup>-28</sup> m <sup>2</sup> )
lH	1/2	2.79277	2.675	42.577	1.000	99.98	
2H	1	0.85735	0.411	6.536	0.009	0.016	0.003
$^{10}B$	3	1.8007	0.288	4.575	0.020	18.83	0.111
11B	3/2	2.6880	0.858	13.660	0.165	81.17	0.036
13C	1/2	0.70216	0.673	10.705	0.016	1.108	
14N	1	0.40369	0.193	3.076	0.001	99.635	0.02
15N	1/2	-0.28298	-0.271	4.315	0.001	0.365	
17O	5/2	-1.8930	-0.363	5.772	0.029	0.037	-0.004
19F	1/2	2.6273	2.517	40.055	0.834	100.0	
<sup>29</sup> Si	1/2	-0.55492	-0.531	8.460	0.079	4.70	
31 <b>p</b>	1/2	1.1316	1.083	17.235	0.066	100.0	

<sup>\*</sup>En ausencia de campo magnético externo, el núcleo no adoptará dirección privilegiada alguna. El Mognento Magnético asociado a su movimiento de espín podrá adoptar cualquier dirección.

Las frecuencias a las cuales resuena un átomo dentro de una molécula son directamente proporcionales a la fuerza del campo magnético externo (B₀), de acuerdo con la ecuación de la frecuencia de precesión de Larmor.



#### Importancia de la magnitud de B<sub>0</sub>

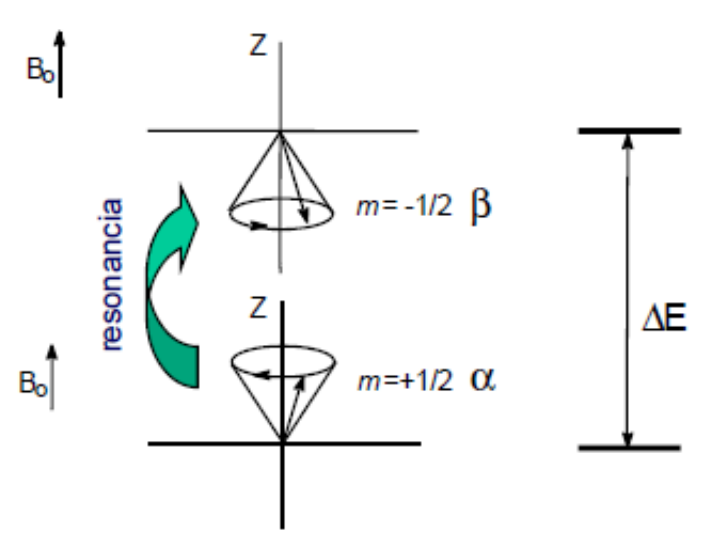
- Los campos magnéticos mayores son a menudo preferidos puesto que correlacionan con un incremento en la sensibilidad de la señal.
- El incremento del campo magnético también se traduce en una mayor resolución espectral, a través del desplazamiento químico y el efecto Zeeman



Espectrómetro RMN del Lab Nal. del Pacífico Noroccidenta (800 MHz. 18.8 T)

- La RMN estudia los núcleos atómicos al alinearlos a un campo magnético constante para posteriormente perturbar este alineamiento con el uso de un campo magnético externo (B<sub>0</sub>), de orientación ortogonal.
- La resultante de esta perturbación es el fenómeno que explotan las distintas técnicas de RMN.

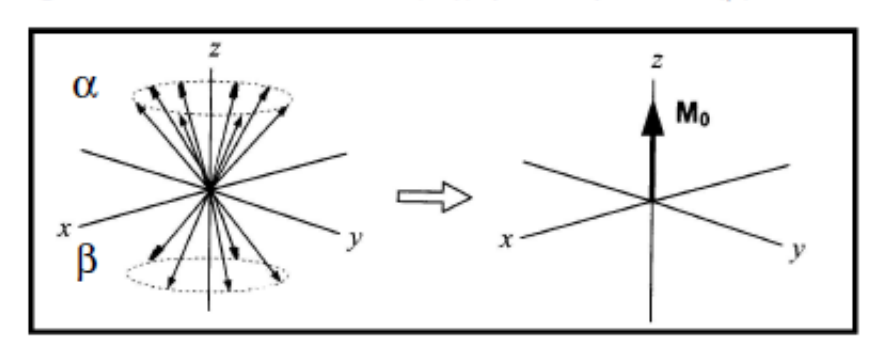
#### ¿Qué ocurre con el núcleo?



$$v_{\text{reson.}} = \frac{\gamma}{2\pi} B_{\text{ef}}$$

# ¿Qué ocurre con una muestra

\*Para un conjunto de espines, en el equilibrio, existirá una la conjunto de espines, en el equilibrio de



$$\frac{N_{\beta}}{N_{\alpha}} = e^{-\frac{\Delta E}{k_B T}} = \frac{1}{e^{\frac{\Delta E}{k_B T}}}$$

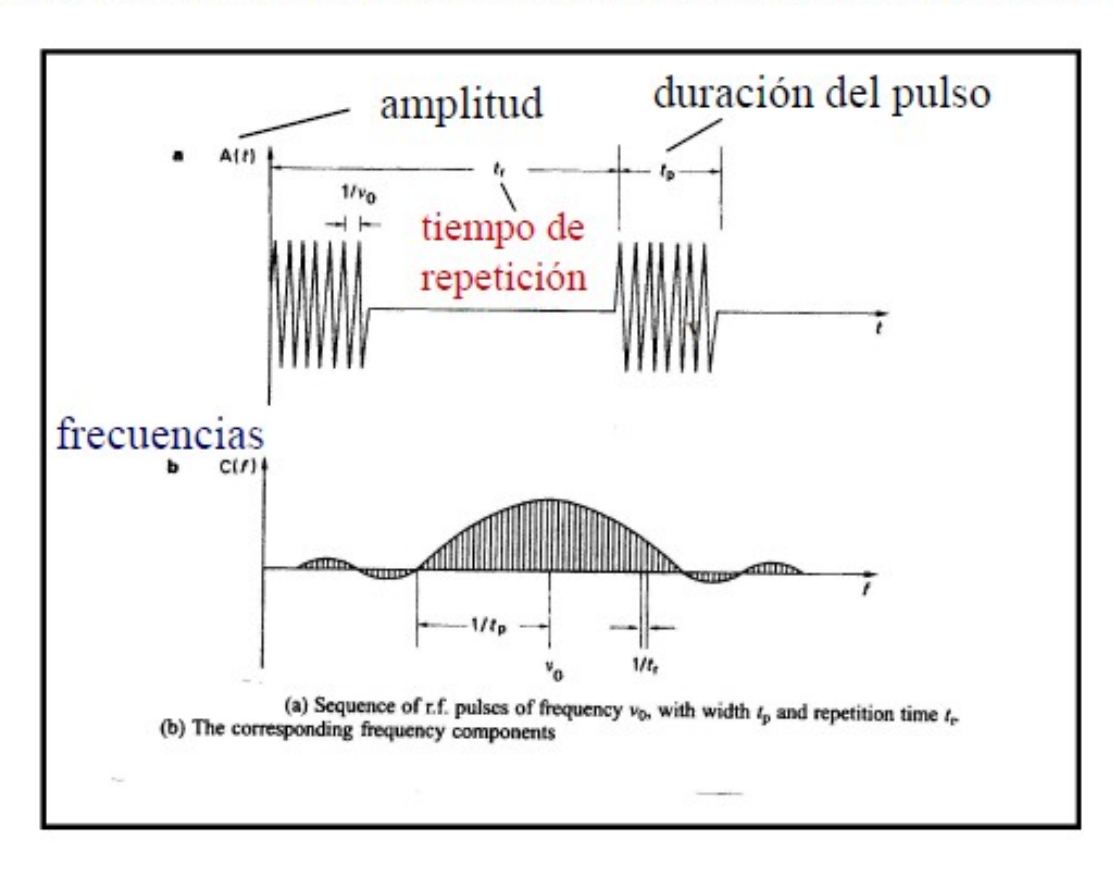
\*En el equilibrio, existirá una magnetización resultante M<sub>o</sub> (Magnetización longitudinal)

$$\nu = \frac{\Delta E}{h} = \frac{\gamma B_0}{2\pi}$$

Estas frecuencias corresponden típicamente al intervalo de RF del espectro electromagnético y es la absorción de resonancia que se detecta en RMN.

#### Pulso de excitación

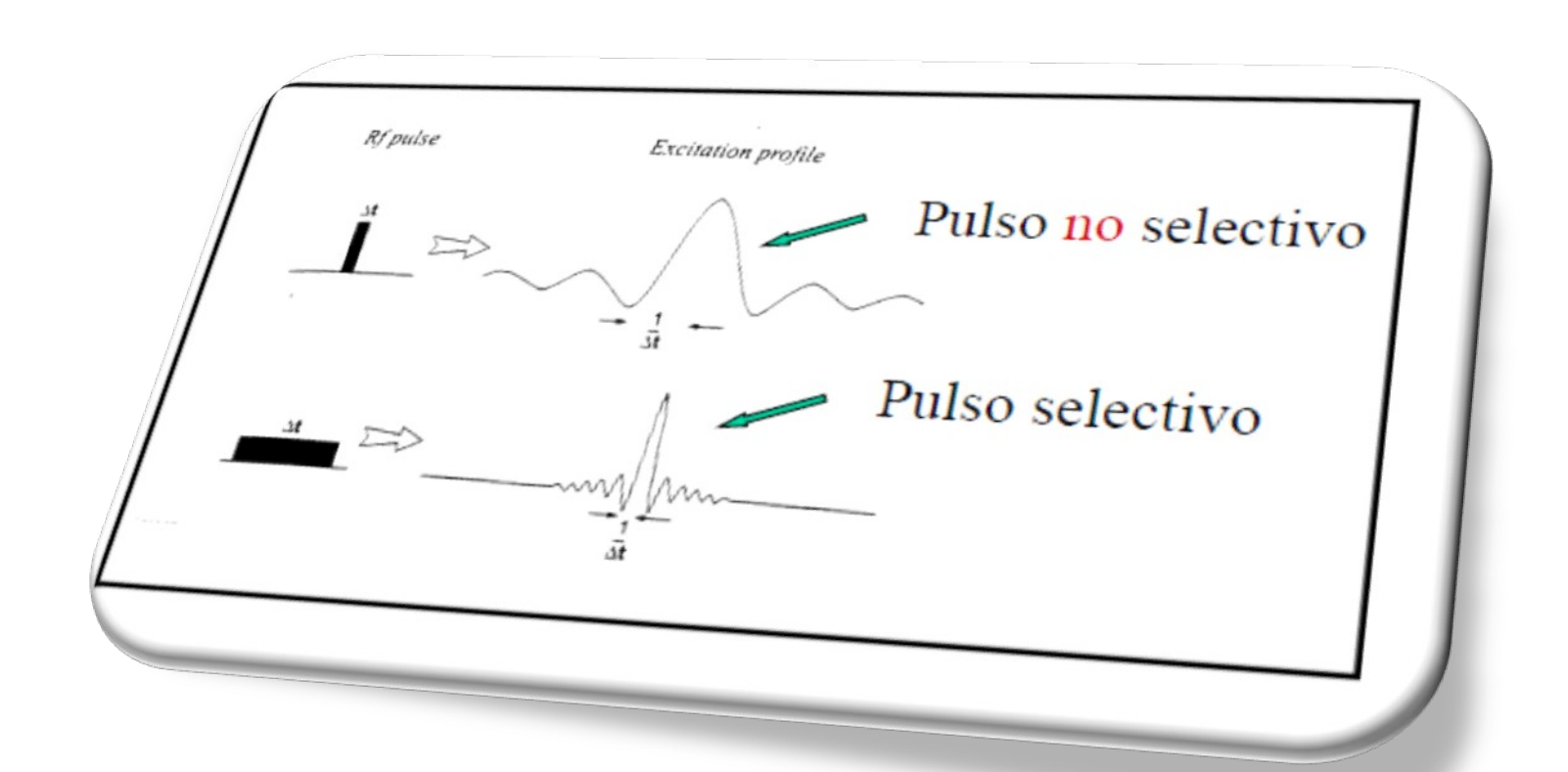
\*Su misión es excitar SIMULTANEAMENTE a todos los nucleos de la muestra. Deberá abarcar un cierto intervalo de frecuencias.



Intervalo excitado (Hz)

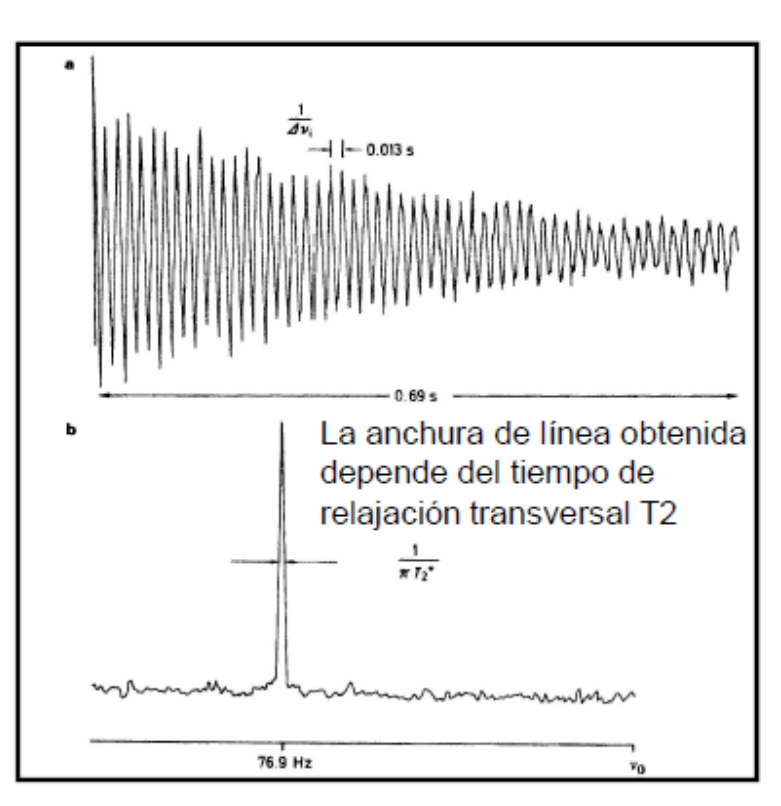
$$v_0 \pm \frac{1}{t_p}$$

#### Pulso de excitación



#### FID (Free Induction Decay)

\*Una vez terminada la aplicación del pulso, el receptor va a detectar una señal cuya intensidad decae con el tiempo (FID) y cuya forma y aspecto dependen de las diferencias de frecuencia v<sub>0</sub>–v<sub>i</sub> de las magnetizaciones que la componen

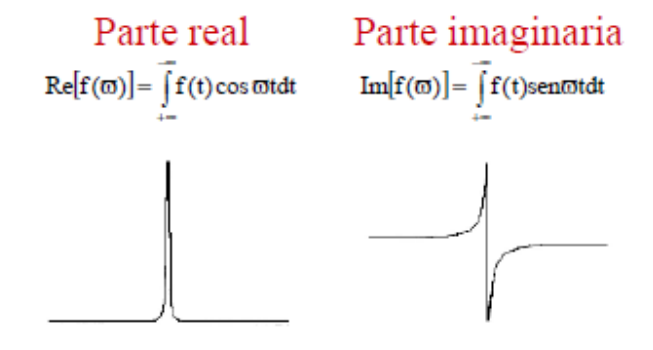


\*La señal detectada es una variable dependiente del tiempo

\*La señal detectada (fid) es una variable dependiente del tiempo, pero es necesario hacerla dependiente de la frecuencia para obtener la información espectroscópica

\*La transformación de Fourier (FT) cambia la variable de la que depende la información. Del dominio del tiempo se cambia al dominio de la frecuencia

$$f(\varpi) = \int_{+\infty}^{-\infty} f(t) e^{i\varpi t} dt$$

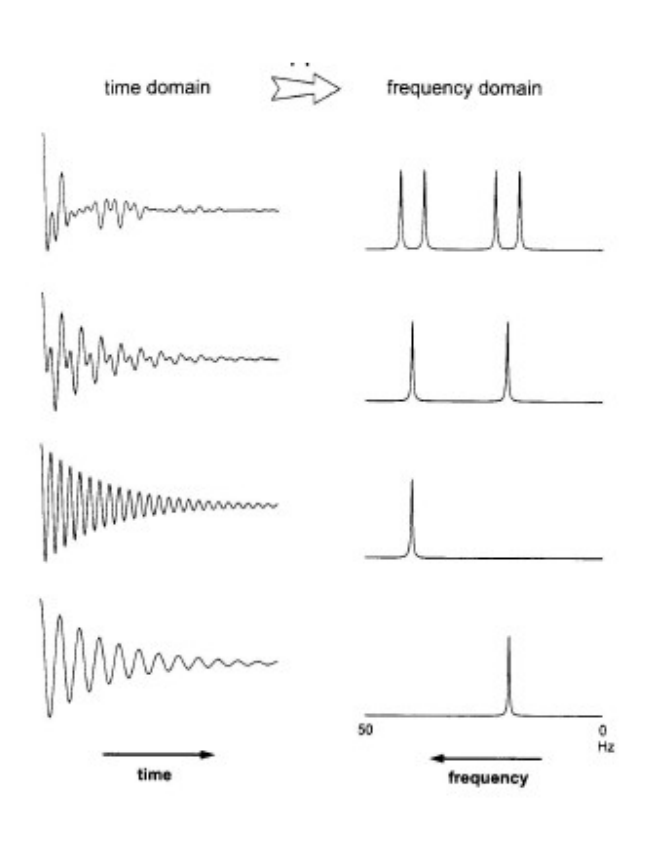


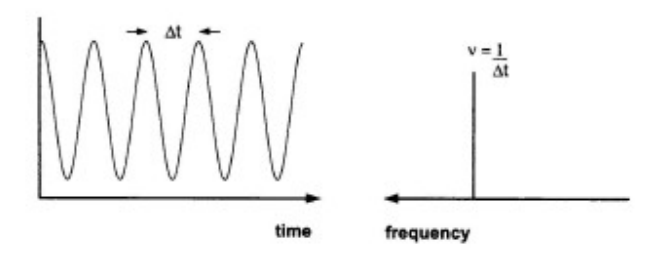
Líneas de absorción Líneas de dispersión

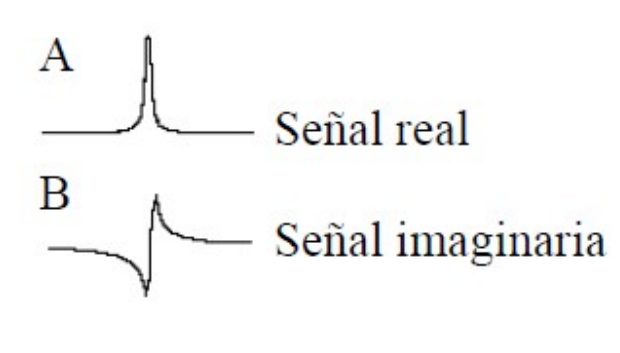
\*Se obtiene un resultado que posee una parte real y una parte imaginaria

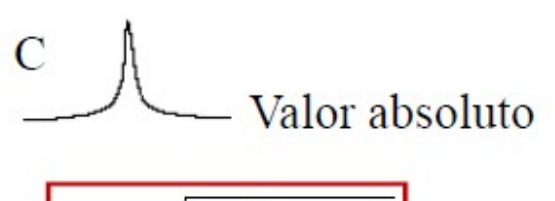
\*Ambas partes poseen una diferencia de fase de 90°

#### Tratamiento de la FID









$$M = \sqrt{Re^2 + Im^2}$$

#### Para la realización de espectros de RMN es necesario:



#### Partes del equipo de RMN

#### **Imán**

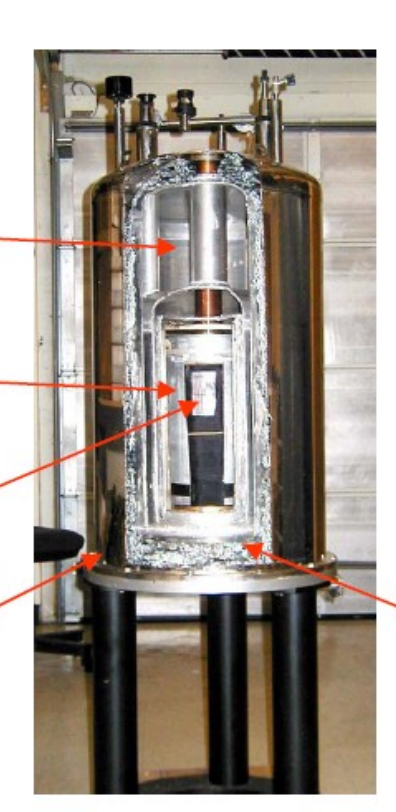


Cámara de N<sub>2</sub> (77.4 K)

Cámara de He (4.2 K)

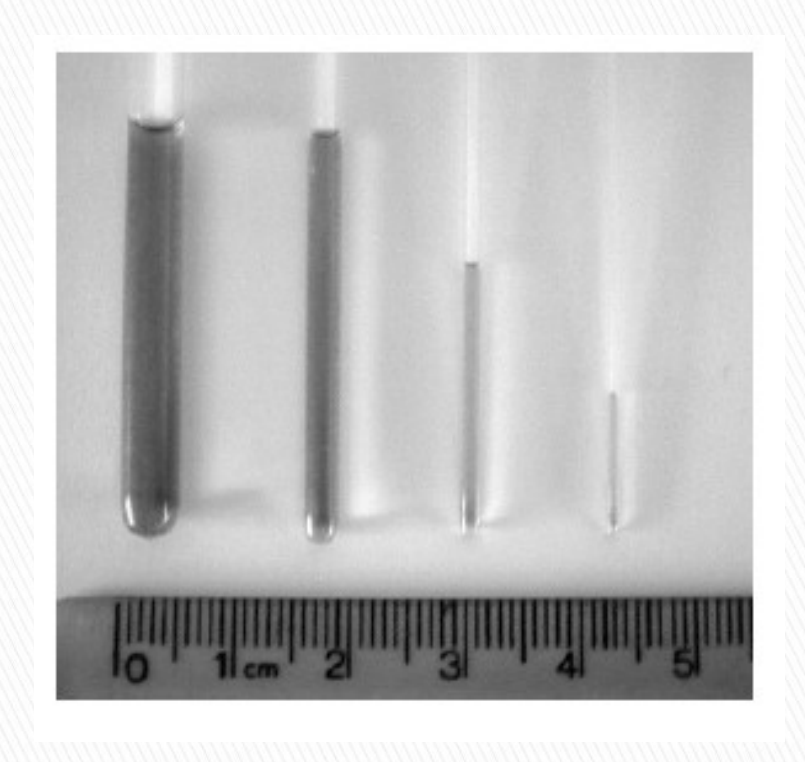
Bobina superconductora

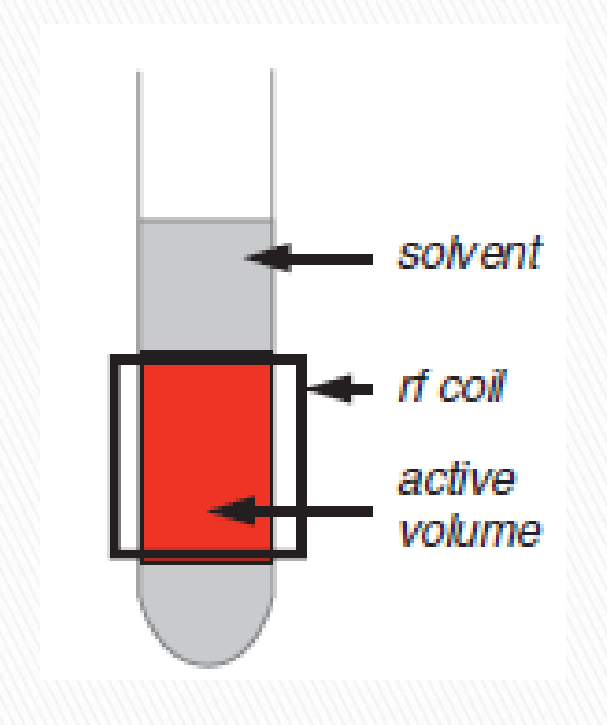
Camisa de vacío (10-6 mBar)



**Aislante** 

#### Mejorando la sensibilidad y los tubos para la muestra

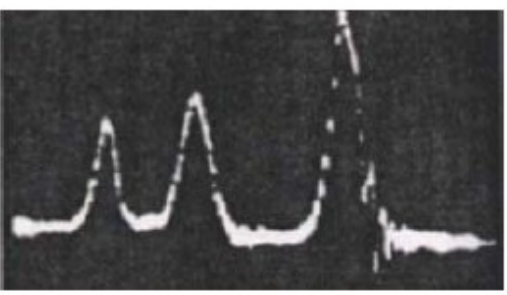




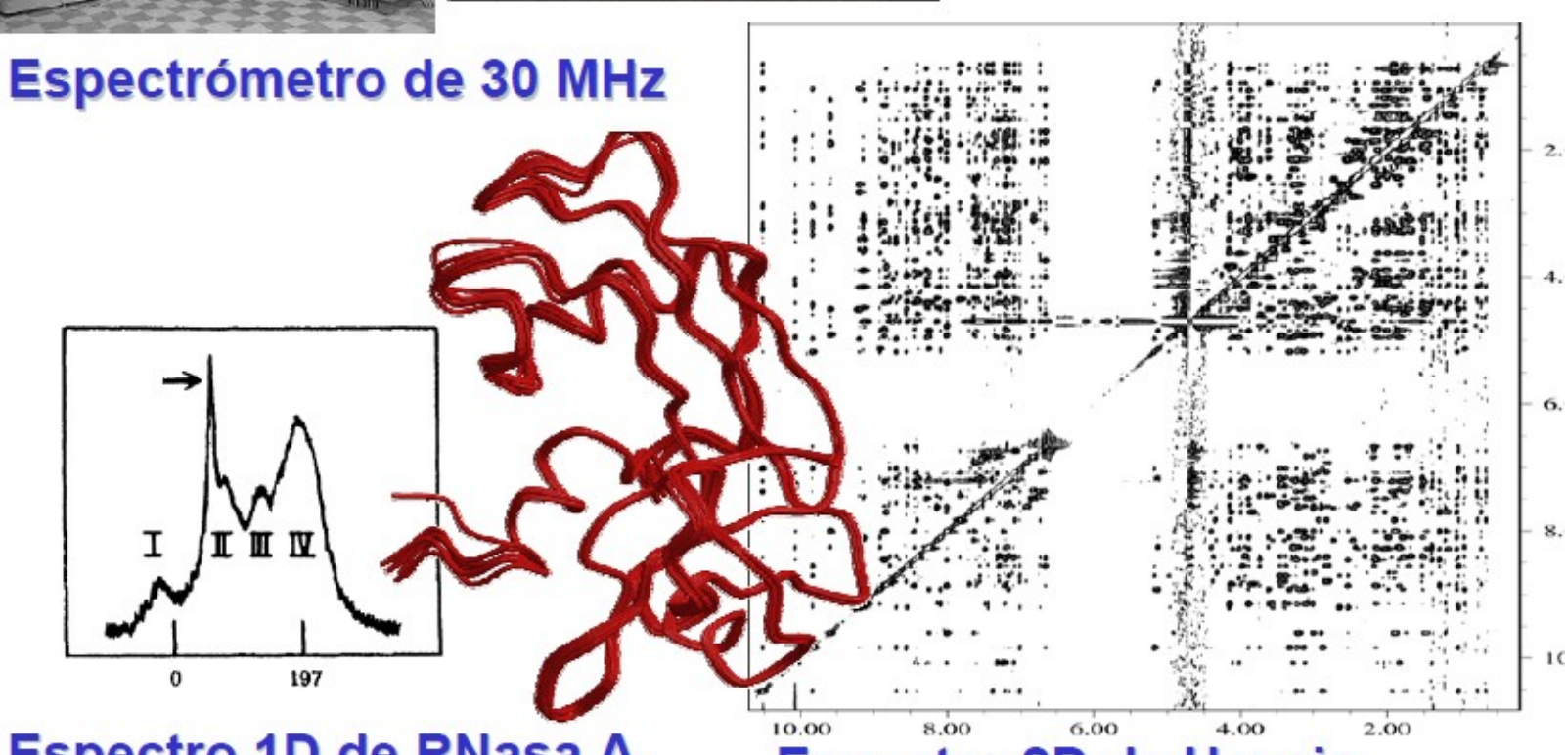
Tubos de RMN

Volumen necesario





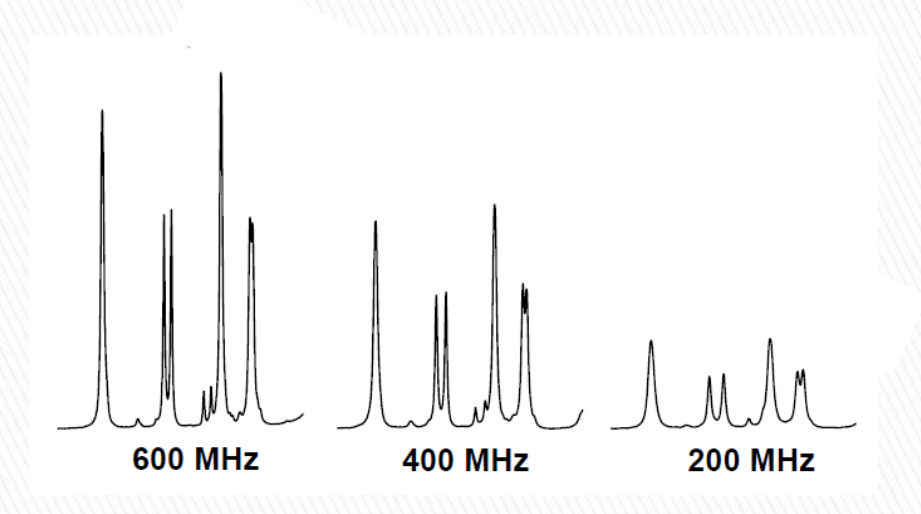
1951, 1<sup>er</sup> espectro EtOH

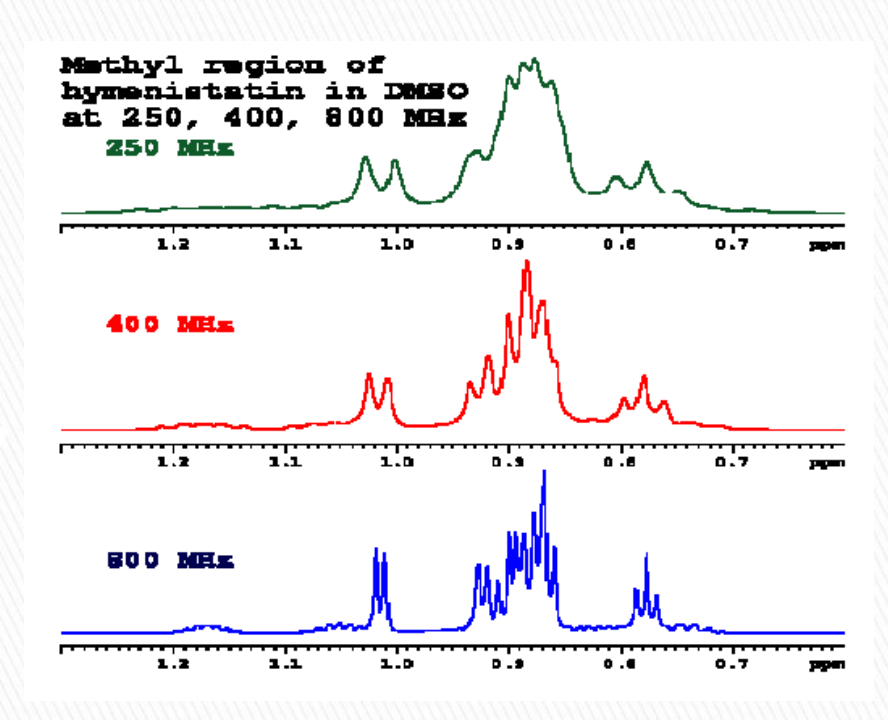


Espectro 1D de RNasa A, 40 MHz, 1957

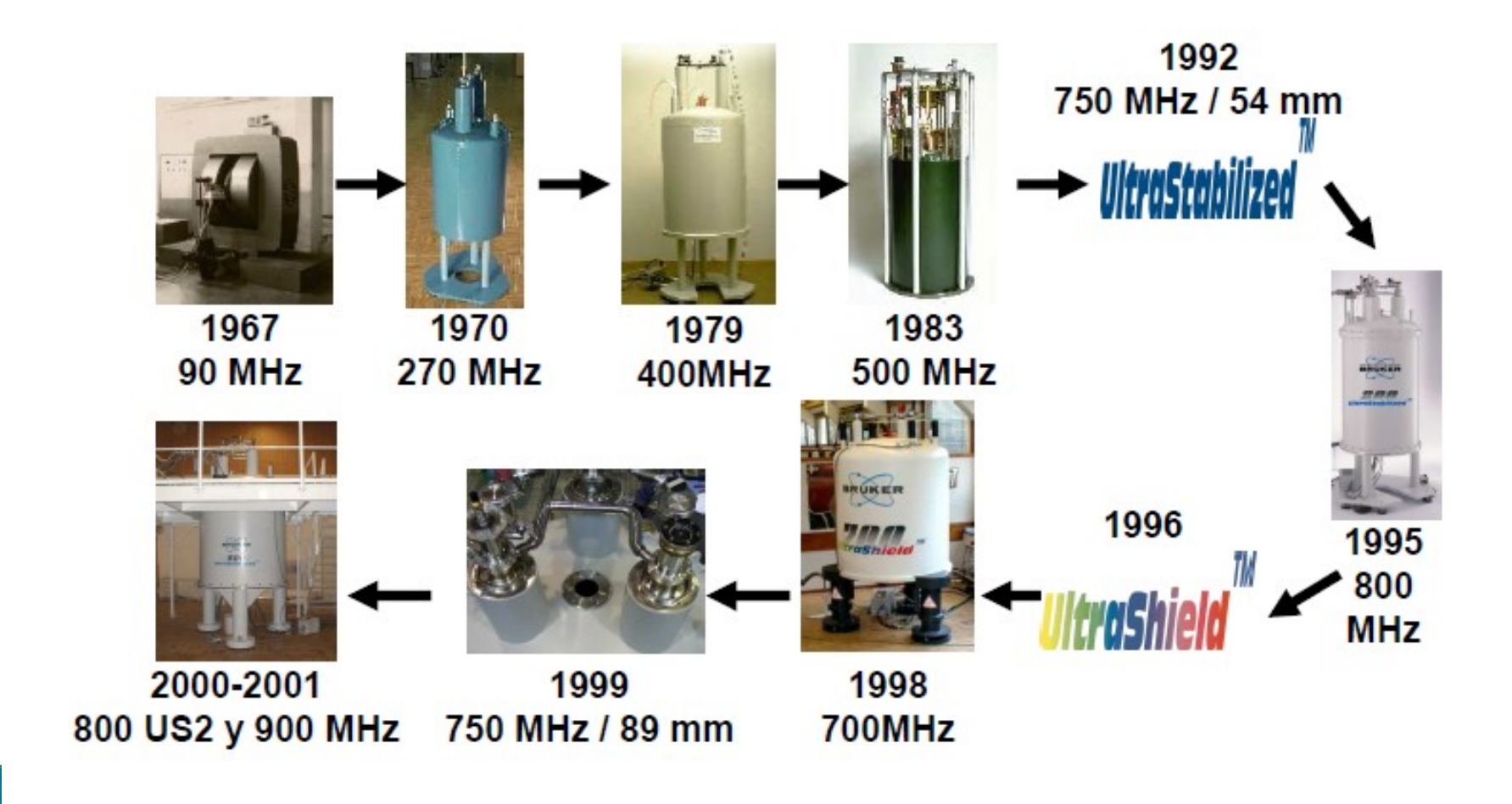
Espectro 2D de Hevein, 600 MHz, 1997

### Sensibilidad al incrementar Bo



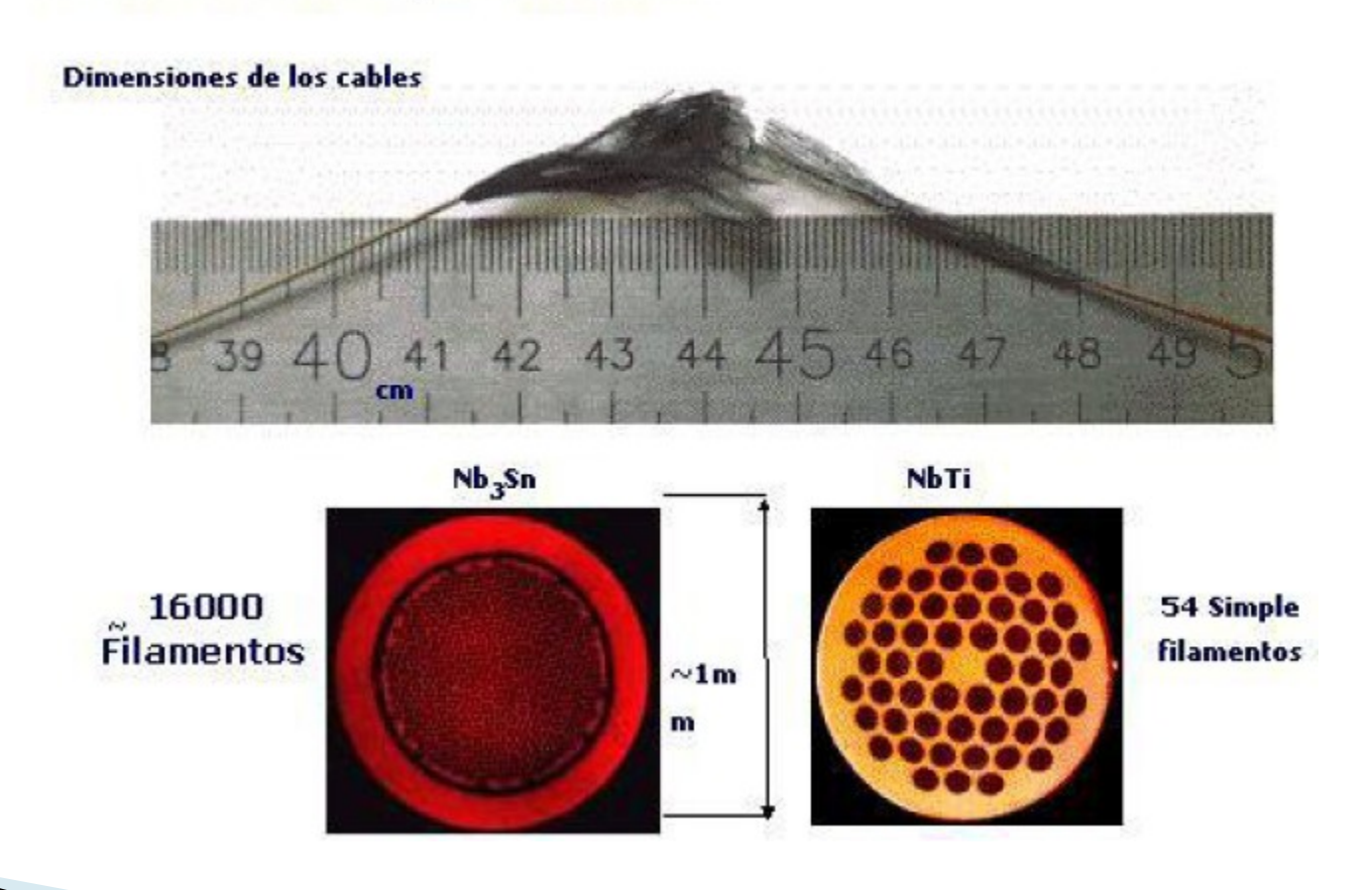


#### Evolución de los espectrómetros



#### Bobina superconductora

#### Detalles de cables superconductores



#### Criosonda

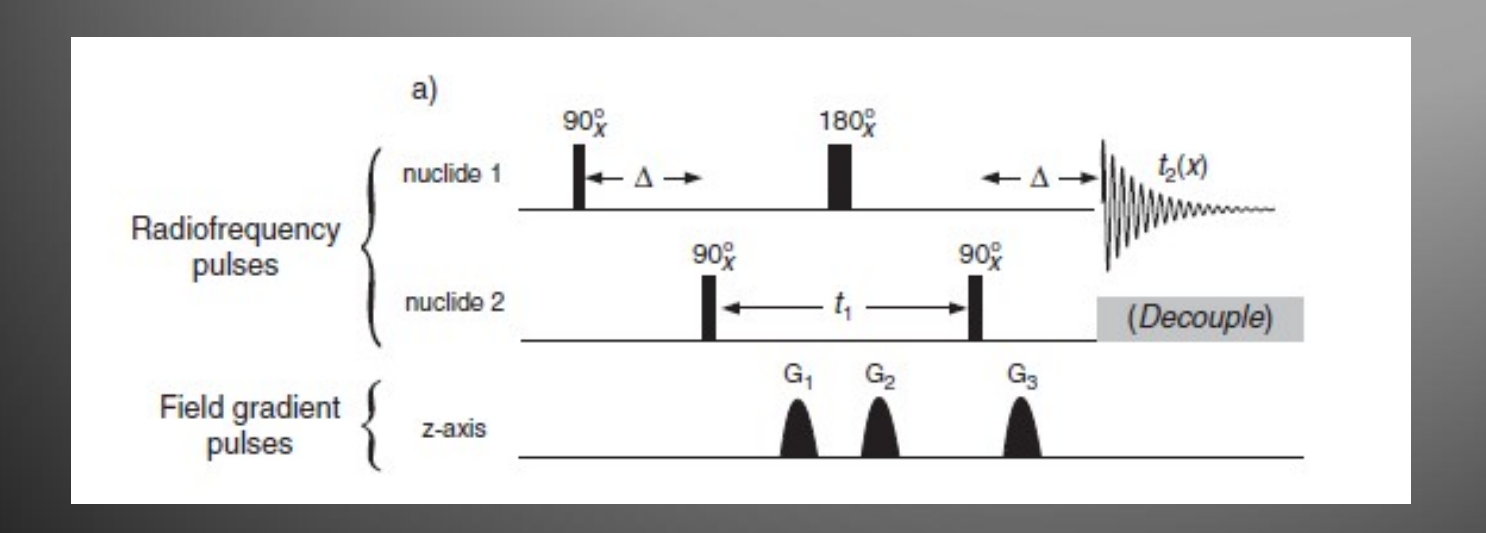
- A. estación criogénica, contiene He gas a muy baja temperatura
- B. Línea de transferencia de He gas
- C. Línea de vacío
- D. Sonda

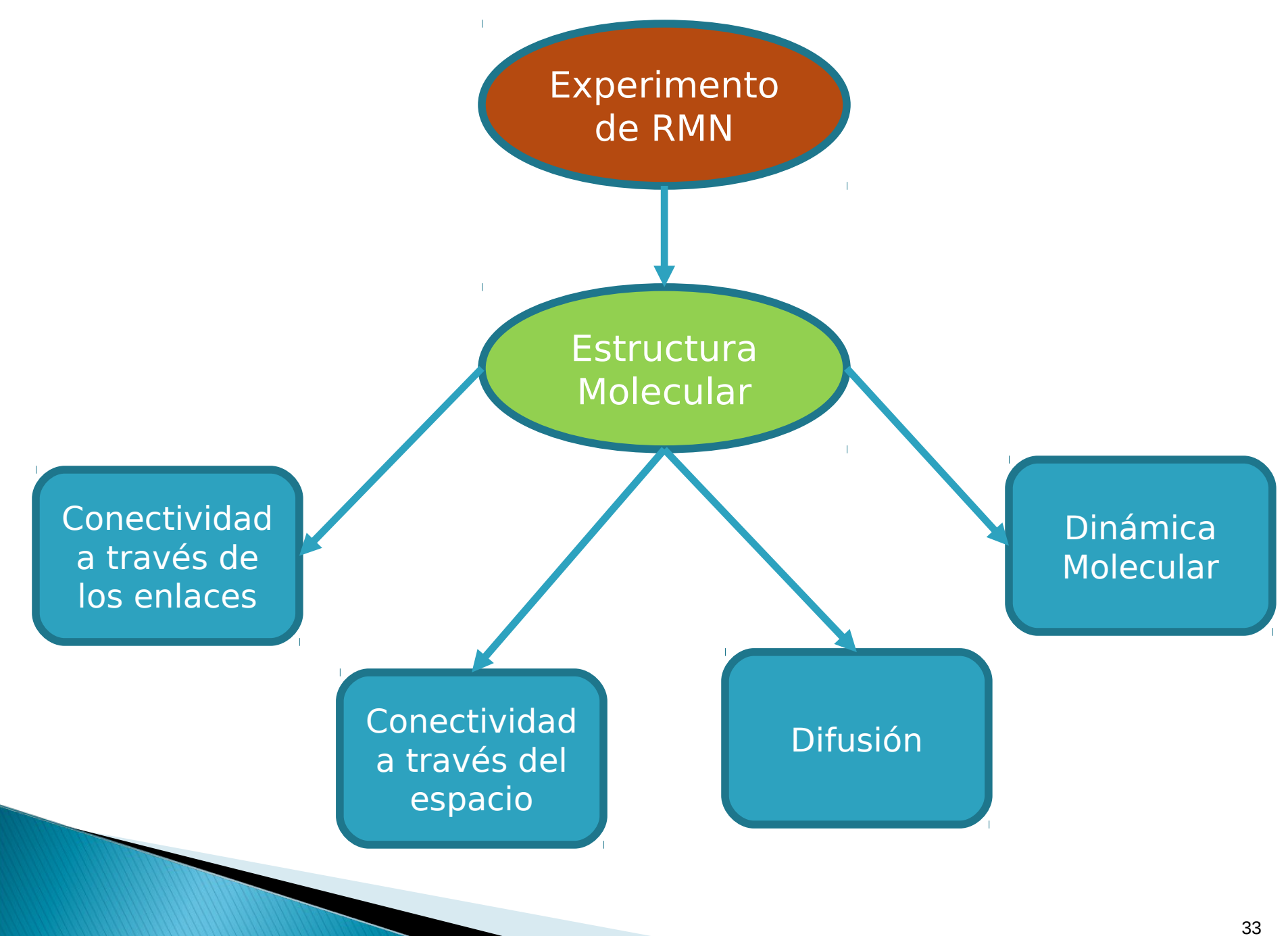


Se cuenta con las siguientes herramientas para comenzar a elucidar las estructuras, confirmar su estereoquímica o analizar su conformación

#### Secuencia de Pulsos

Combinaciones de estímulos de distinta intensidad para controlar los la evolución de los núcleos durante su relajamiento.

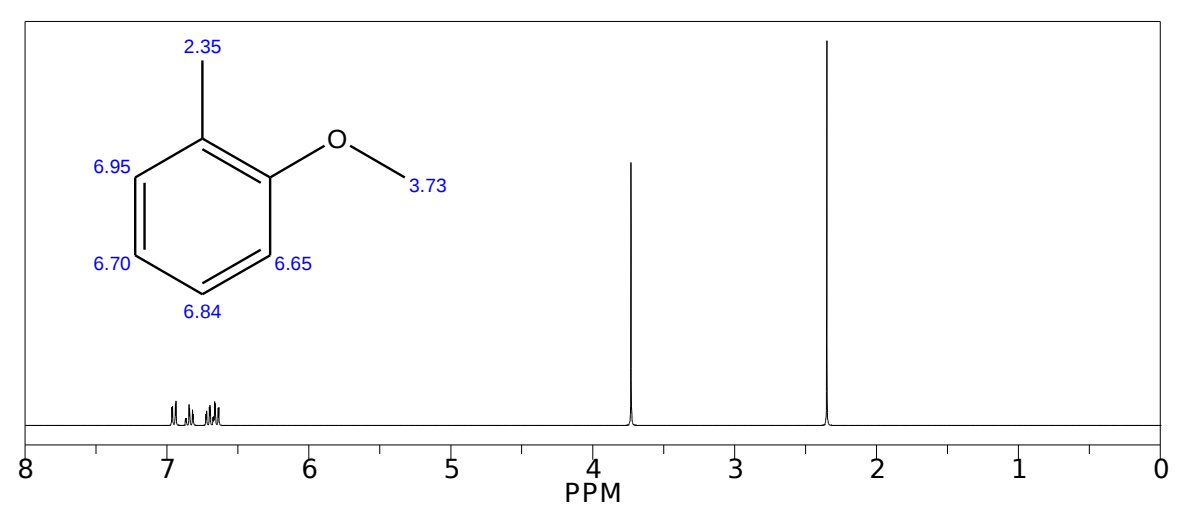


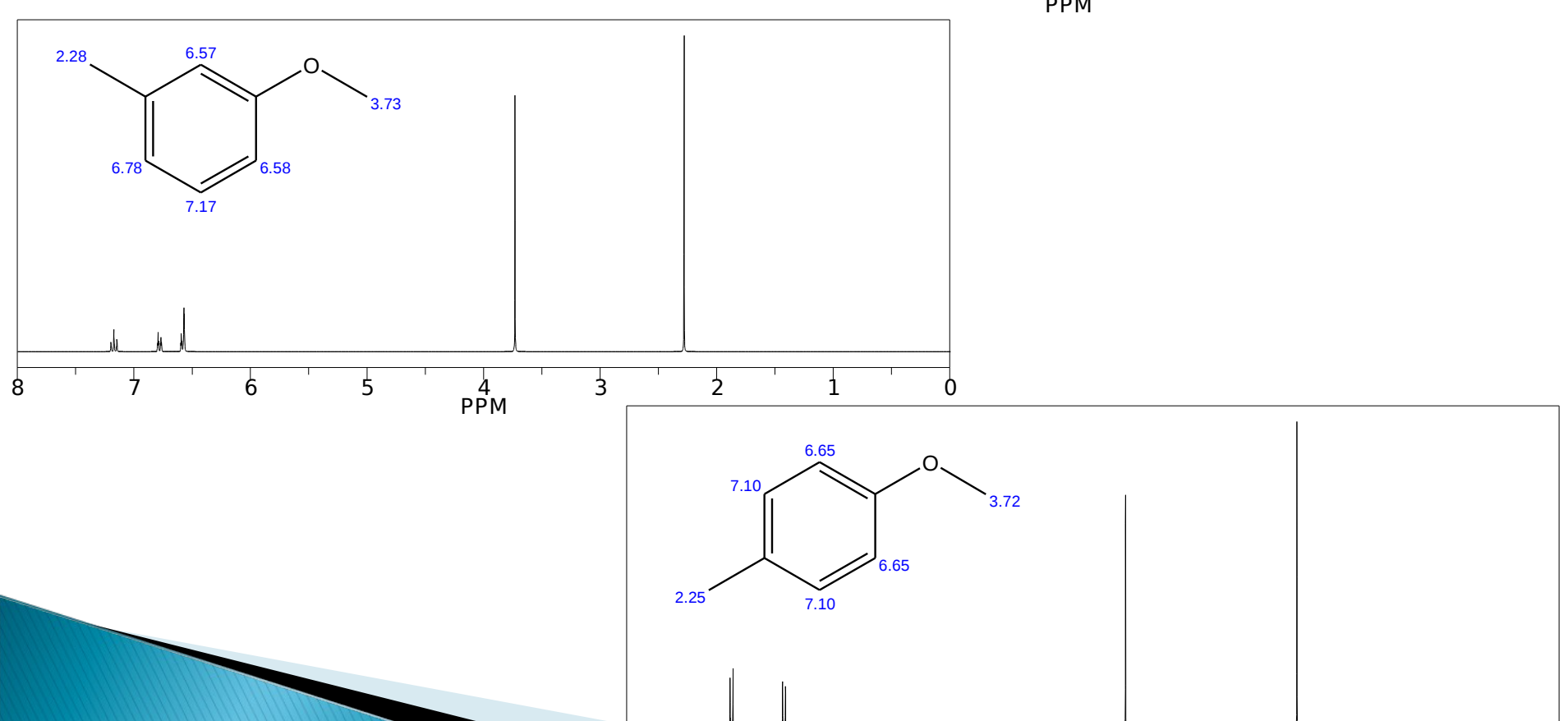


#### Estructura de moléculas pequeñas

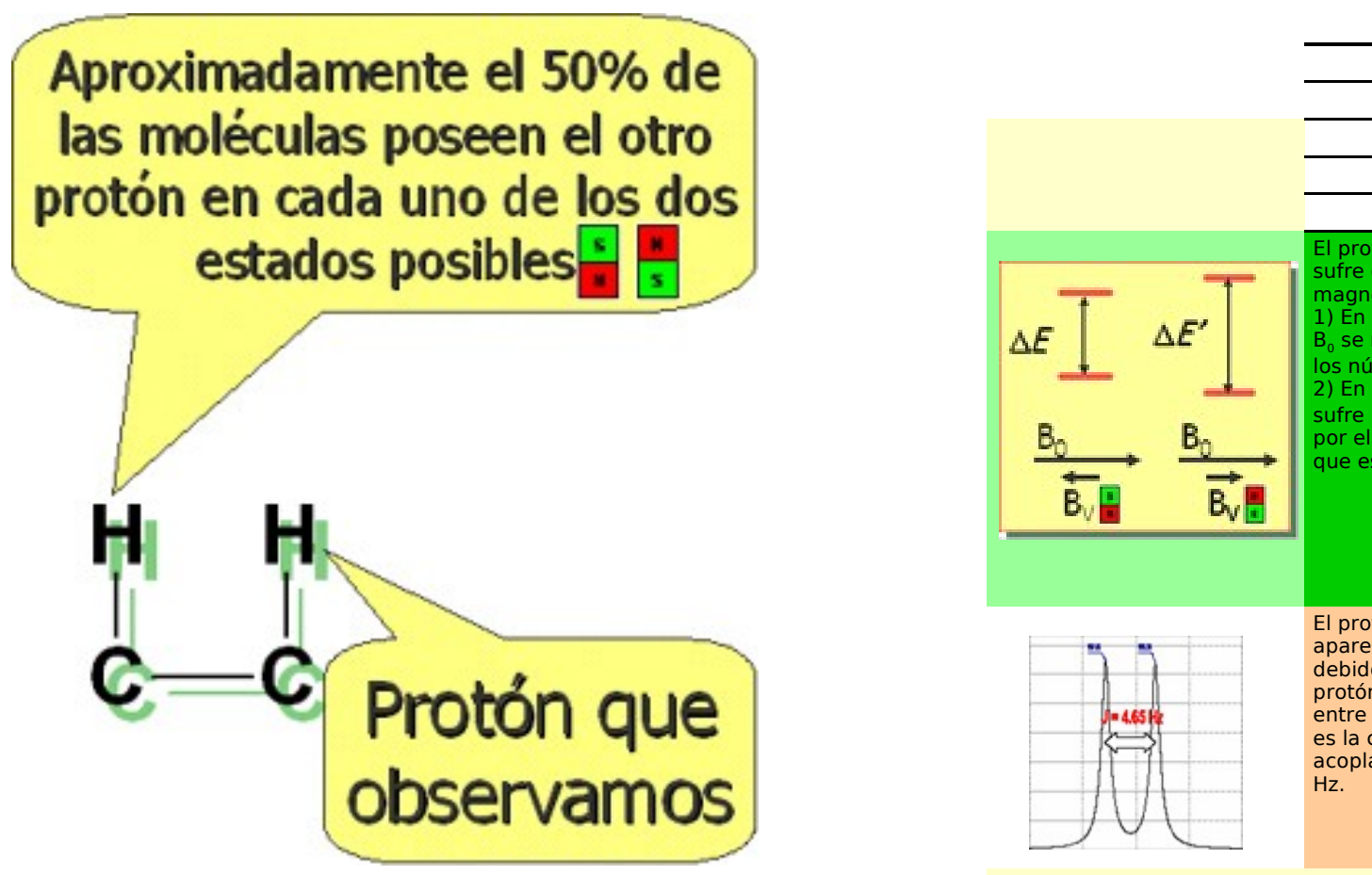
- Desplazamiento Químico (δ)
- Constante de Acoplamiento (J)
- Correlaciones a través del espacio (NOE)

#### Desplazamien to Químico





Los núcleos con momento magnético se comportan los unos con los otros como pequeños imanes que se influencian mutuamente.

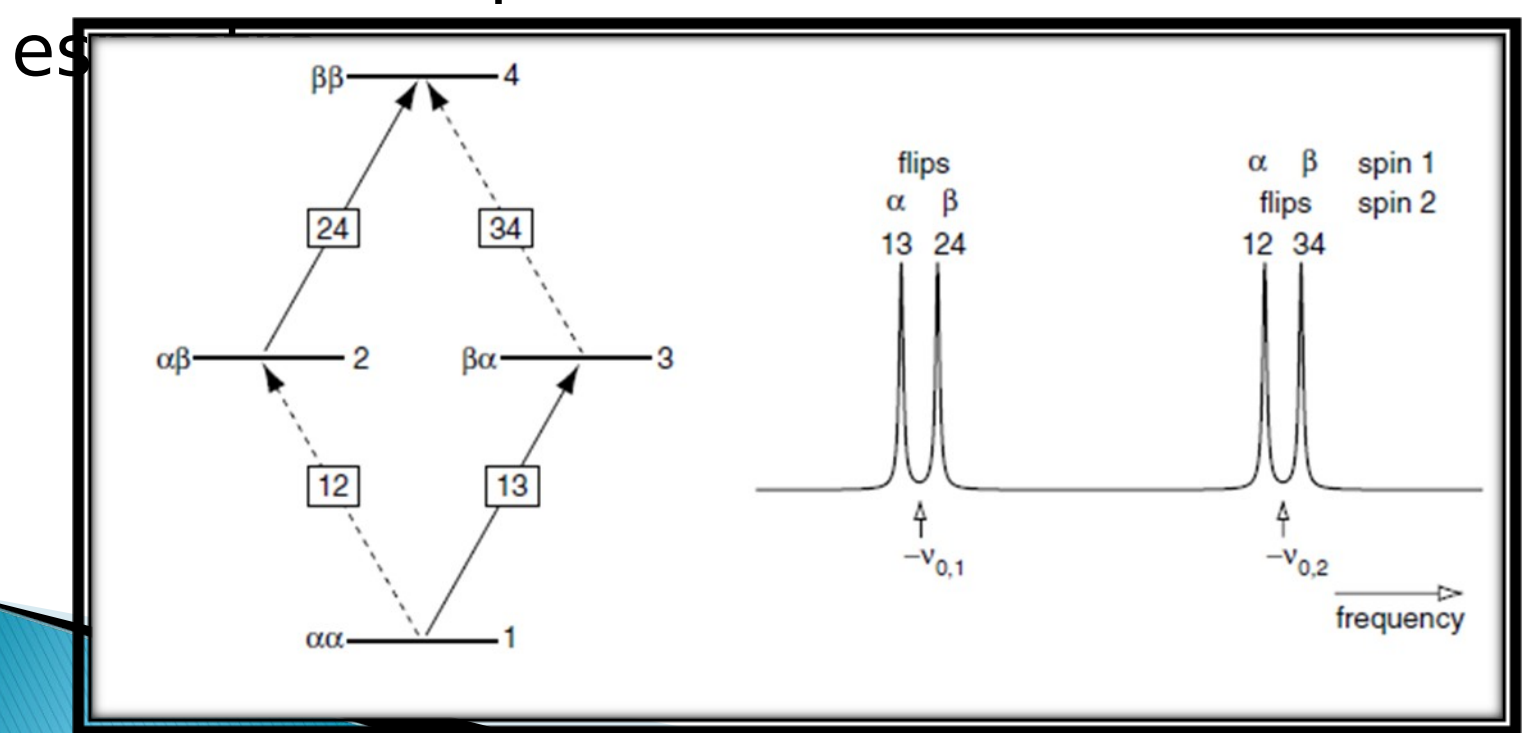


El protón que observamos sufre dos campos magnéticos diferentes:
1) En uno el campo externo Bo se refuerza por el 50% de los núcleos alineados con él 2) En el otro, el campo Bo sufre una pequeña merma por el 50% de los núcleos que están en su contra.

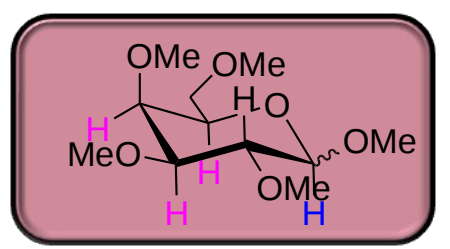
El protón que observamos aparece como un doblete debido a la influencia del protón vecino. La separación entre las señales del doblete es la constante de acoplamiento y se mide en Hz.

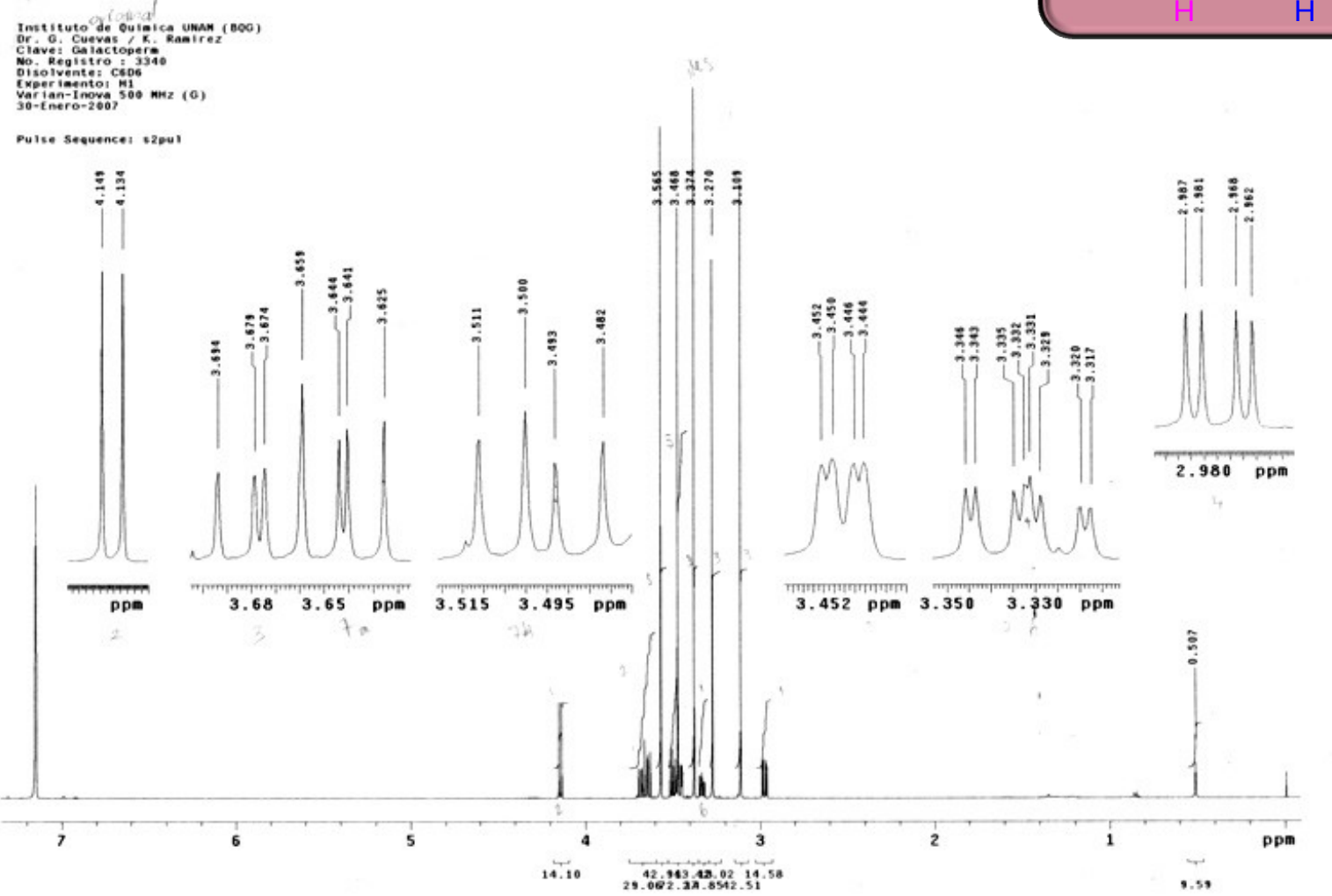
#### Constante de Acoplamiento (J)

Acoplamiento escalar entre espines nucleares, se genera por el acoplamiento a través de los enlaces y tiene consecuencia en la multiplicidad de las señales del



#### Espectro de RMN





## Efecto Nuclear de Overhauser (nOe)

- Cambio en la intensidad de la frecuencia de resonancia del espín A cuando se perturban los estados de equilibrio del espín próximo B.
- Este fenómeno se genera a través de la interacción dipolo-dipolo denominada relajación cruzada (cross relaxation) con el cual se transfiere magnetización de un espín a otro a través del espacio.

Correlación	Técnica principal	Descripción		
H A J A H	<sup>1</sup> H- <sup>1</sup> H COSY	Acoplamiento J de protones hasta 2 o 3 enlaces		
X X X X	<sup>1</sup> H- <sup>1</sup> H TOCSY	Acoplamiento J de protones dentro de un sistema de espín acoplado. Los protones remotos pueden correlacionar considerando que hay una red de acoplamiento continuo entre ellos		
H	<sup>1</sup> H-X HMQC <sup>1</sup> H-X HSQC	Acoplamientos heteronucleares de un enlace con un protón		
H ♠ J X <b>x</b>	<sup>1</sup> H-X HMBC	Acoplamientos heteronucleares a larga distancia con protones.  Típicamente de 2 a 3 enlaces cuando X= <sup>13</sup> C		
x <del>✓</del> x	X-X COSY X-X INADEQUATE	Sólo se utiliza COSY cuando la abundancia natural del spin de X > 20%. Puede haber problemas de sensibilidad cuando la abundancia natural de X es baja		
NOE  H H  XX	<sup>1</sup> H- <sup>1</sup> H NOE diferencial 1/2D NOESY 1/2DROESY	Correlaciones a través del espacio. El NOE diferencial sólo aplica a moléculas de tamaño mediano con masas de 1 a 2 kDa		
H ← NOE     XX	<sup>1</sup> H-X NOE diferencial 2D HOESY	Sensibilidad limitada para observar el espín X. Se debe tener cuidado para hacer un NOE especifico en presencia de protones desacoplados		
Intercambio	1D transferencia pos saturación o inversión 2D EXSY	Intercambio de espín en diferentes locaciones químicas. El intercambio debe ser lento en la escala de NMR para poder observar resonancias separadas. El intercambio moderado a rápido requiere el análisis de la forma de las líneas		

# Aplicación del NOE a la estructura de la perezona

#### Definición de la estructura molecular.



#### ¿Fundador del estudio biodirigido de productos naturales?

- Raíz de Pipitzahuac
- Perezia cuernavacanaMedicina tradicional indígena:
- Antihelmíntico
- Tratamiento de hemorroides

Ácido pipizahoico

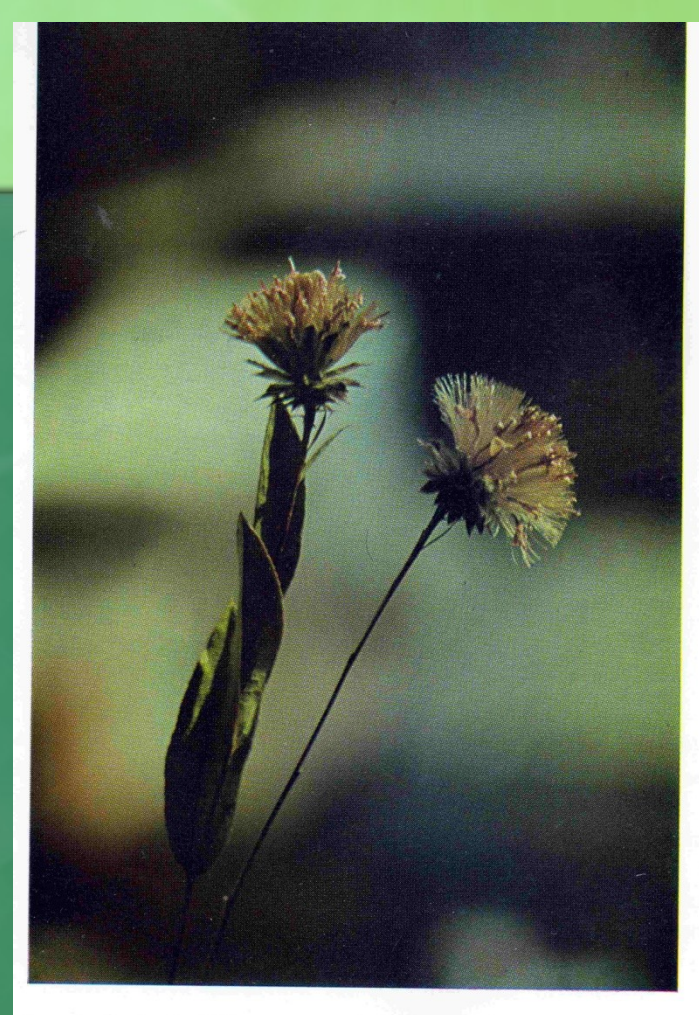


Foto A. Sandoval, 1964. Infrutescencia de *Perezia Cuernavacana* mostrando el vilano de sus flores.

•M. Aguilar-Martínez, J. A. Bautista-Martinez, N. Macías-Ruvalcaba, I. González, E. Tovar, T. Marín del Alizal, O. Collera, G. Cuevas, J. Org. Chem. **2001**, *66*, 8349

## Entre 1852 y hasta 1919 la molécula es objeto de varios estudios:

-Derivados -Primeras Estructuras

ı. Es una quinona.

2. Tiene dos grupos alquilo.

3. Tiene un hidroxilo.

#### La configuración se resolvió primero.

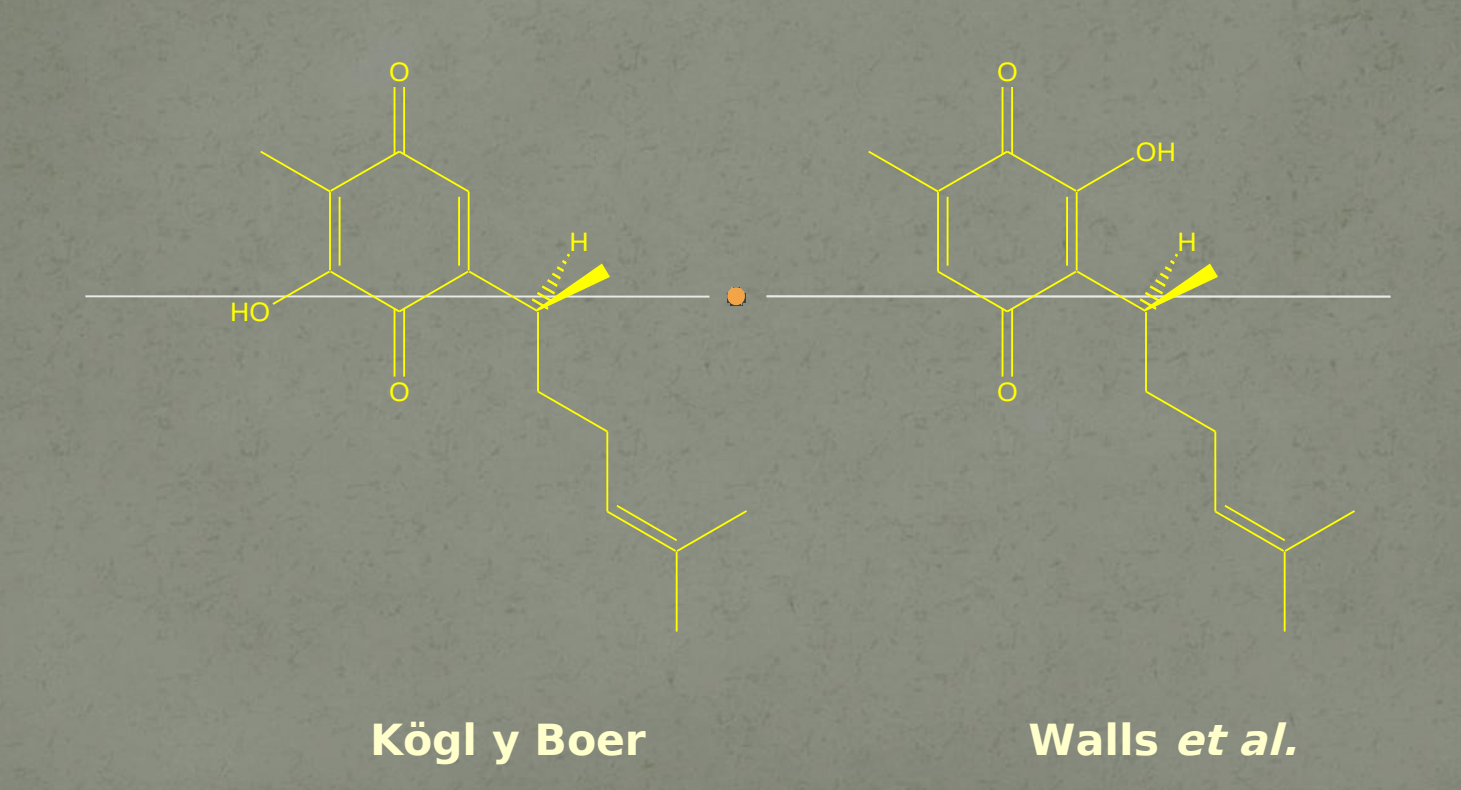
Determinación de la configuración absoluta de la perezona.

Arigoni, D.; Jeger, O. Helv. Chim. Acta. 1954, 37, 881

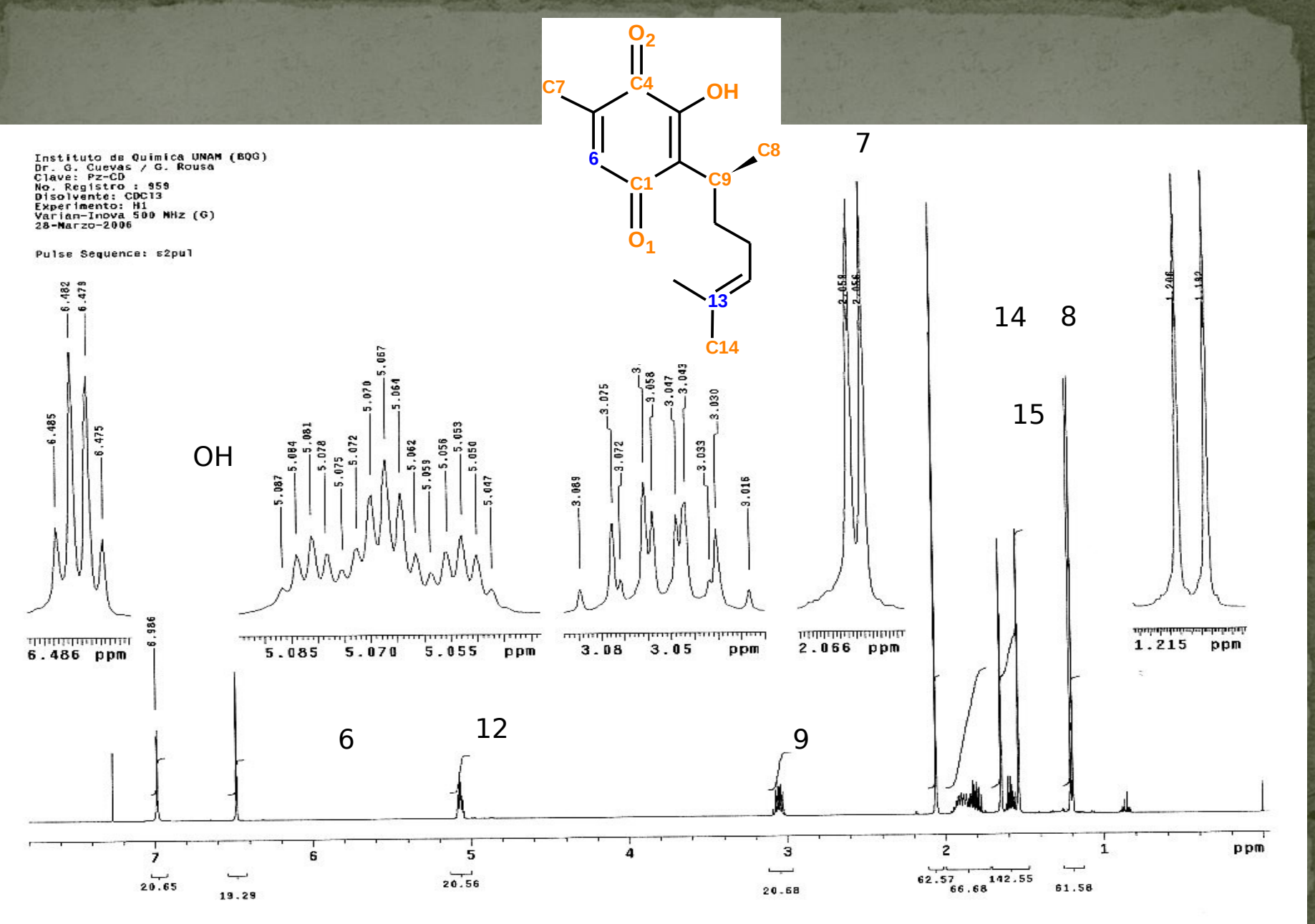
#### Síntesis de dihidroperezona.

Yamaguchi, K. J. Pharm. Soc. Japan, 1942, 62, 491.

Pero: ¿Cuál es la conectividad? Se sabía que era una p-quinona, con dos grupos alquilo en posición para, y un hidroxilo adicional dada la composición de oxígeno  $(O_3)$ 



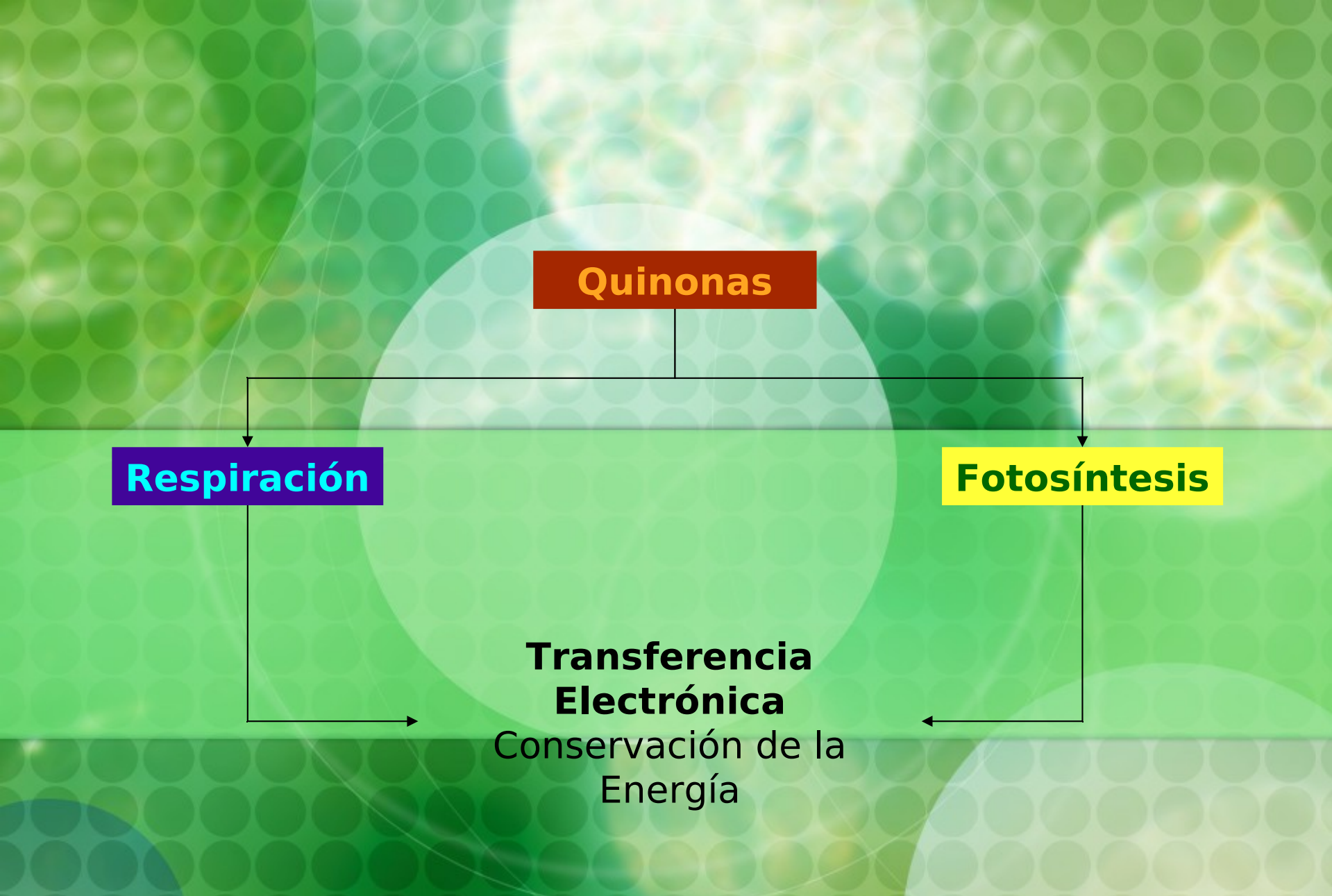
Walls, F.; Salmón, M.; Padilla, J.; Joseph-Nathan, P.; Romo, J. Bol. Inst. Quím. Univ. Nac. Auton. Mex. 1965, 17, 3-15.



Walls, F.; Salmón, M.; Padilla, J.; Joseph-Nathan, P.; Romo, J. *Bol. Inst. Quím. Univ. Nac. Auton. Mex.* **1965**, *17*, 3-15

#### Síntesis de la perezona

Cortés, E.; Salmón, M.; Walls, F. Bol. Inst. Quim. Univ. Nal. Autón. Méx. 1965, 17, 19.



L. Stryer, Biochemistry, 4th ed., Stanford University, 1995, Capítulo 21, 26

F. L. Crane, Annu. Rev. Biochem. 1977, 46, 439.

R. Bentley, I. M. Campbell, en The Chemistry of Quinoid Compounds (Ed.: S. Patai), John Wiley & Sons, London, 1974, 683

Debido a que las propiedades fisicoquímicas de las moléculas depende de los arreglos que adquieren sus átomos en el espacio, es fundamental entender cuales son los principios que controlan estas preferencias conformacionales.

perezona ubiquinona (Qn) curcuquinona poliprenil quinona

MeO HOMEO HOME

#### Antecedentes

- ✓ ¿La naturaleza tiene una razón para generar moléculas con estas cadenas?
- …el enlace doble C=C del isopropilideno parece distante.

#### Yu et al.:

- La flexibilidad en la cadena alifática adyacente al grupo benzoquinona en los derivados de Q, es un requerimiento para la transferencia electrónica.
- La reducción de la actividad electrónica, así como el reconocimiento molecular depende de:
  - ✓ de la longitud de la cadena
  - ✓ la conjugación en la cadena alifática.

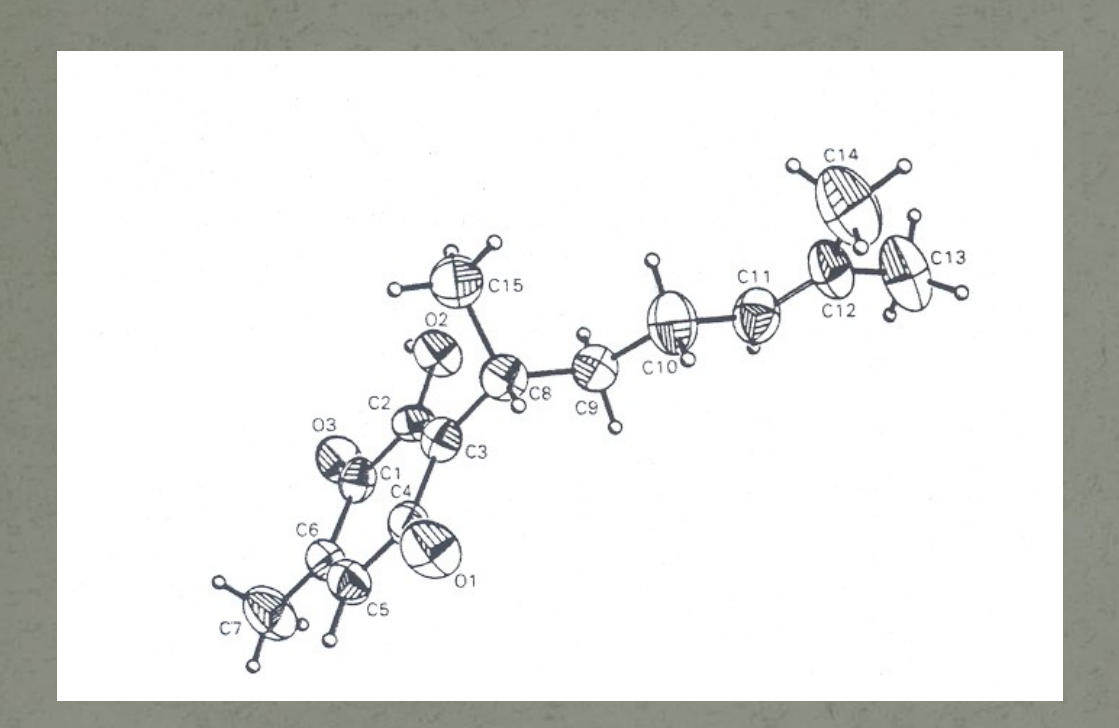
#### También se propone:

Es la cadena ramificada, que contiene un grupo metilo y una unidad isopreno (que incluye al doble enlace C-C), la responsable de la afinidad de Q al sitio de unión de la proteína que la reconoce.

$$C7$$
 $C4$ 
 $C9$ 
 $C1$ 
 $C9$ 
 $C13$ 
 $C14$ 

No es claro que sólo la flexibilidad y longitud de la cadena sea la responsable del comportamiento observado. ☑¿Qué se sabe de la conformación de la perezona?

¿Es posible que un doble enlace localizado en posición remota respecto al anillo de la quinona tenga influencia en las propiedades electroquímicas de la molécula?



Fin del problema de la conectividad

Conformación de la perezona en estado sólido. "La conformación en solución es idéntica a la del estado sólido"

#### Cómo obtener la perezona

perezona (*Perezia* cuernavacana)

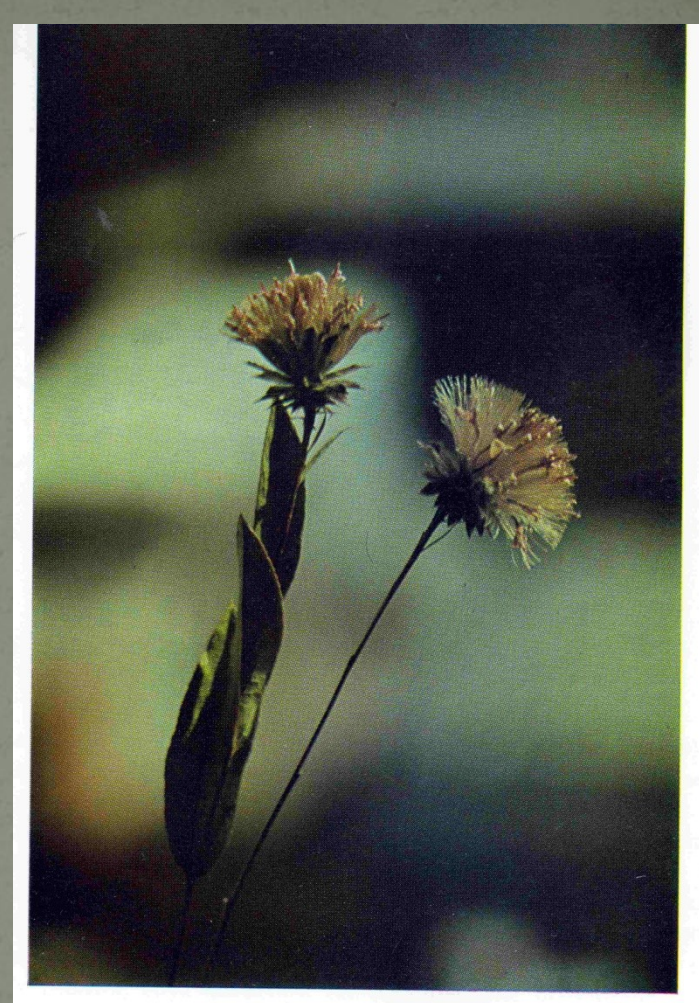


Foto A. Sandoval, 1964. Infrutescencia de *Perezia Cuernavacana* mostrando el vilano de sus flores.

#### Cómo obtener la perezona

- perezona (*Perezia* cuernavacana)
  - Extracción: maceración c/hexano
- ✓ Separación: filtración y concentración
- Purificación: columna flash

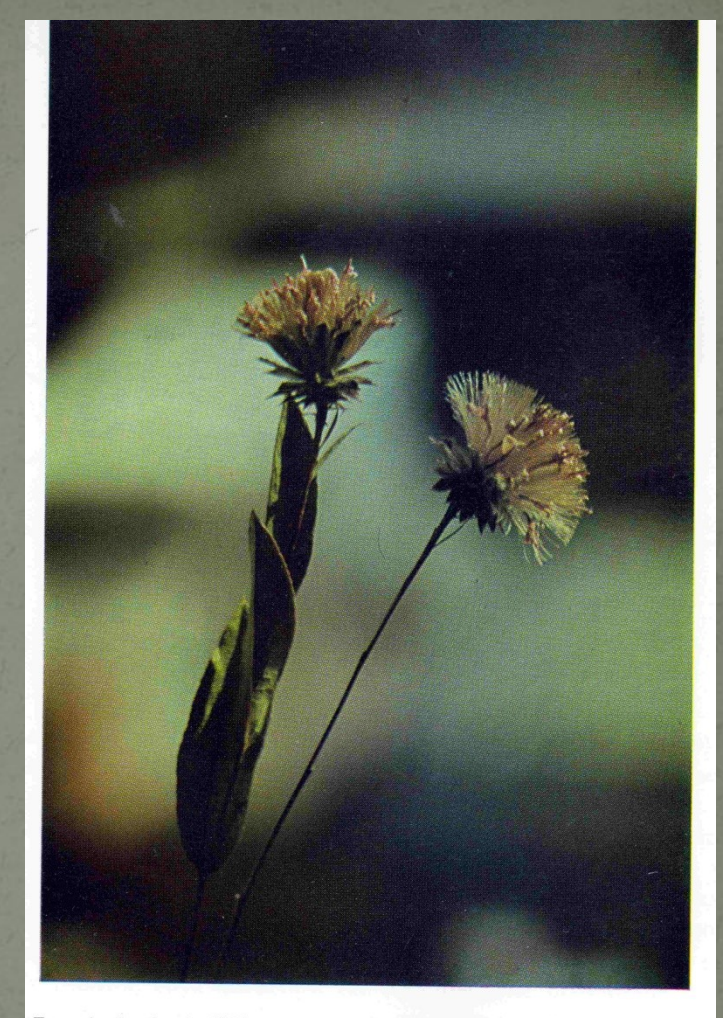


Foto A. Sandoval, 1964. Infrutescencia de *Perezia Cuernavacana* mostrando el vilano de sus flores.

#### Cómo obtener la dihidroperezona

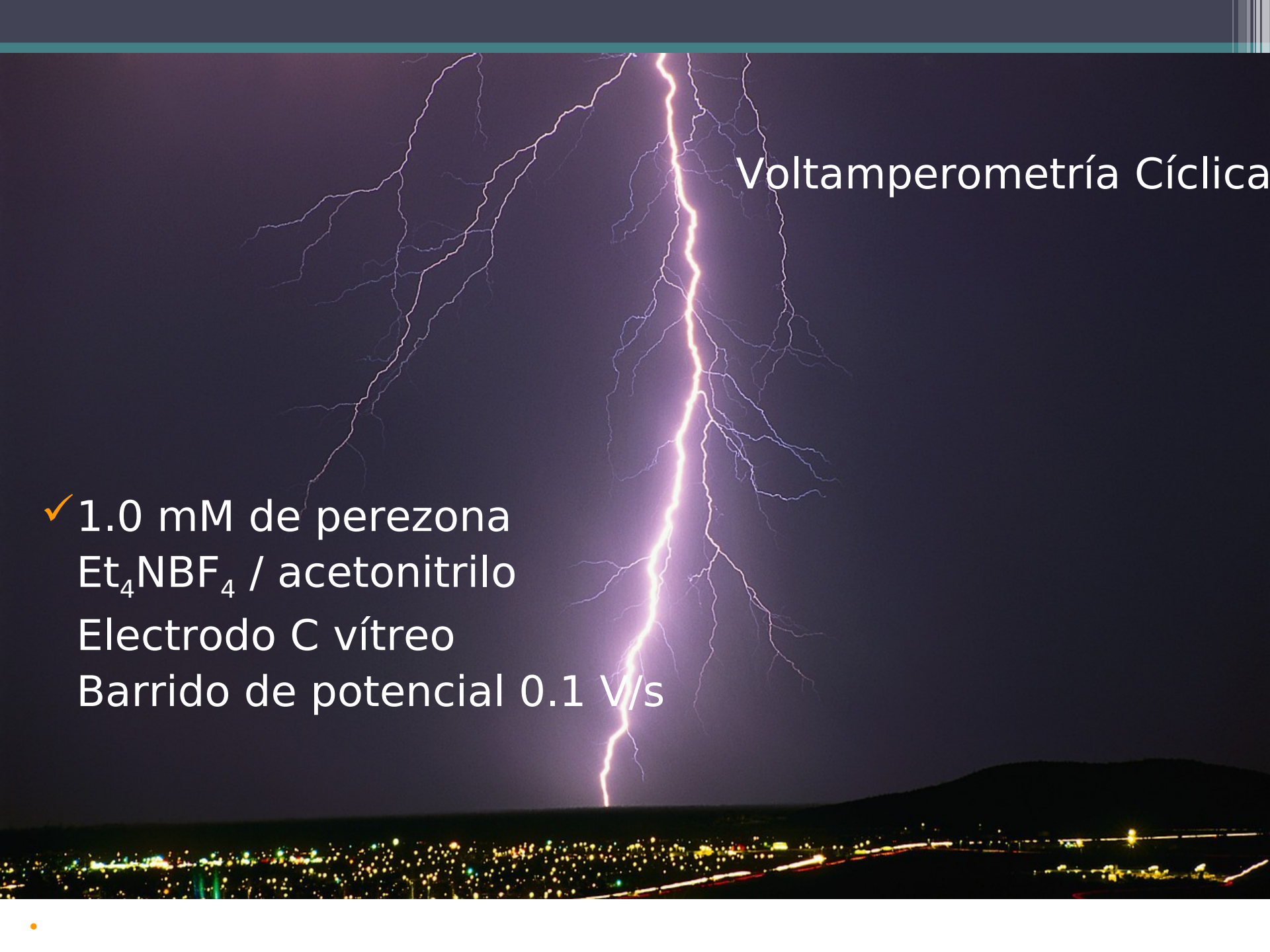
Hidrogenación de la perezona



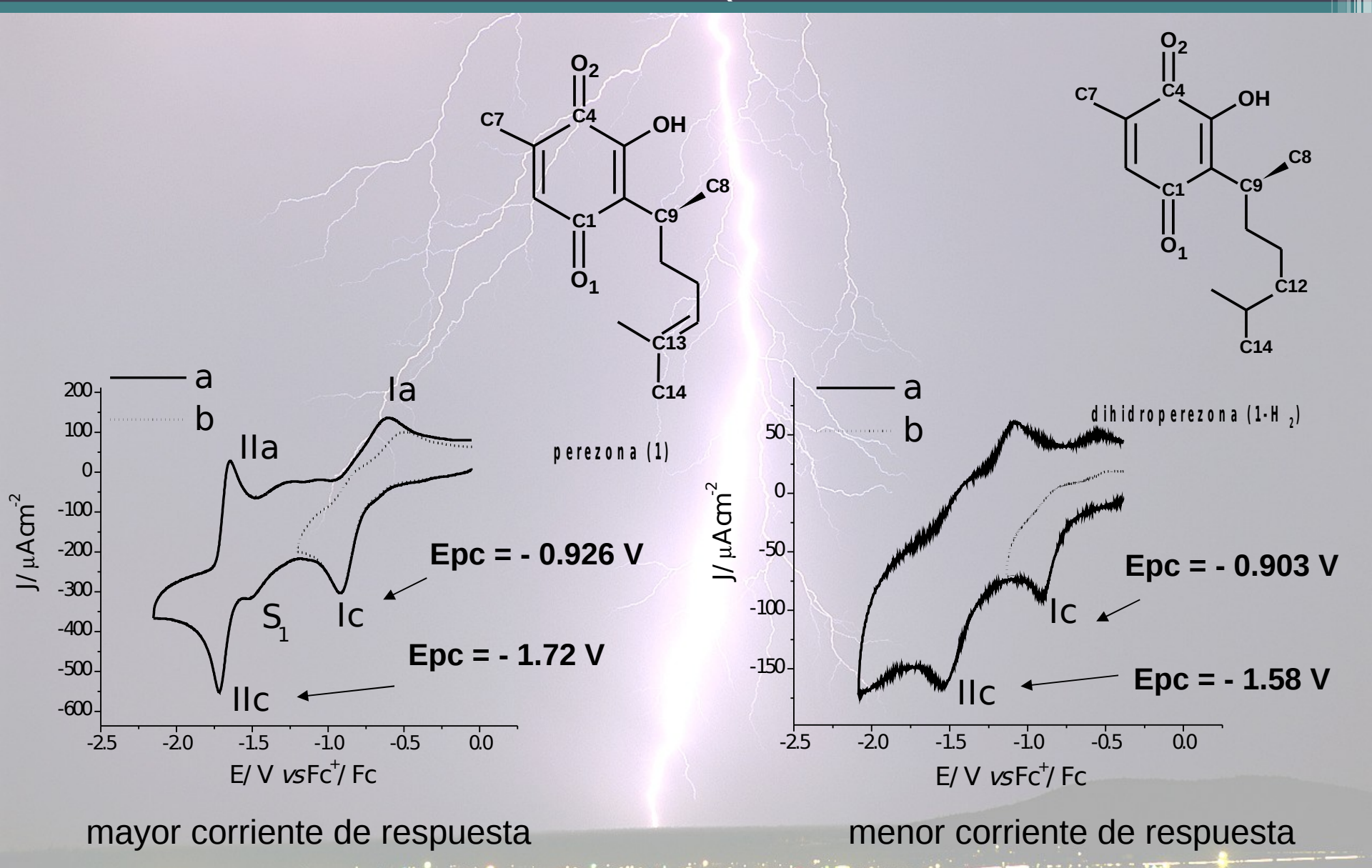
... curioso por su aspecto, precioso por las reacciones que presenta y útil por la acción que ejerce sobre el organismo. A este principio, que tengo el honor de presentar con la cristalización que le es propia, he dado el nombre de ácido pipitzahoico ...

iPrimer producto natural aislado en América!

Kögl, F.; Boer, A.G.; *Rec. Trav. Chim.* 1935, *54*, 779.
D. A. Archer, R. H. Thomson, *J. Chem. Soc.* (*C*) 1967, 1710
M. Aguilar-Martínez, G. Cuevas, *J. Org. Chem.* 2001, *66*, 8349



#### ES MÁS DÍFICIL REDUCIR ELECROQUÍMICAMENTE A LA PEREZONA



#### Antecedentes

### Cambio en el ambiente electroquímico

✓ Ecuación de Randles-Sevcik

 $ip = (2.69*105)n^{3/2} \cdot A \cdot Do^{1/2} \cdot v^{1/2} \cdot c$ 

ip = corriente de pico (mA/cm²)

n = número de electrones transferidos

A =área transversal electrodo (cm<sup>2</sup>)

D = coeficiente de difusión (cm<sup>2</sup>/s)

v = velocidad de barrido (volt/s)

c = concentración (moles/cm<sup>3</sup>)

#### Antecedentes

### Cambio en el ambiente electroquímico

Ecuación de Randles-Sevcik

ip = 
$$(2.69*105)n^{3/2} \cdot A \cdot Do^{1/2} \cdot v^{1/2} \cdot C$$

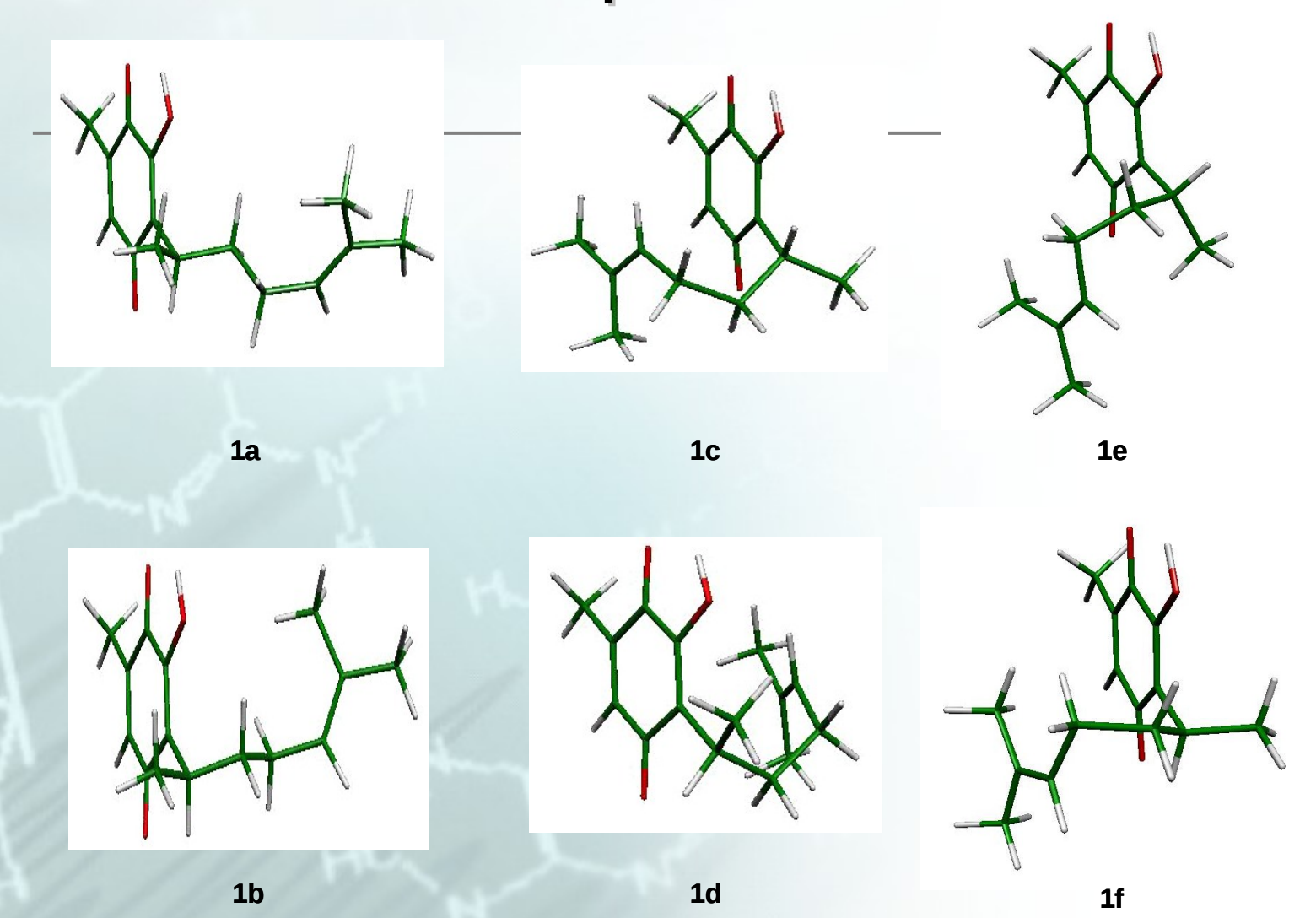
dihidroperezona (1-H 2)

#### Metodología

- ✓ Cálculos computacionales
- ✓ Optimización de la geometría:

  - ✓ Single Point: MP2 con la base 6-31++G(d,p)

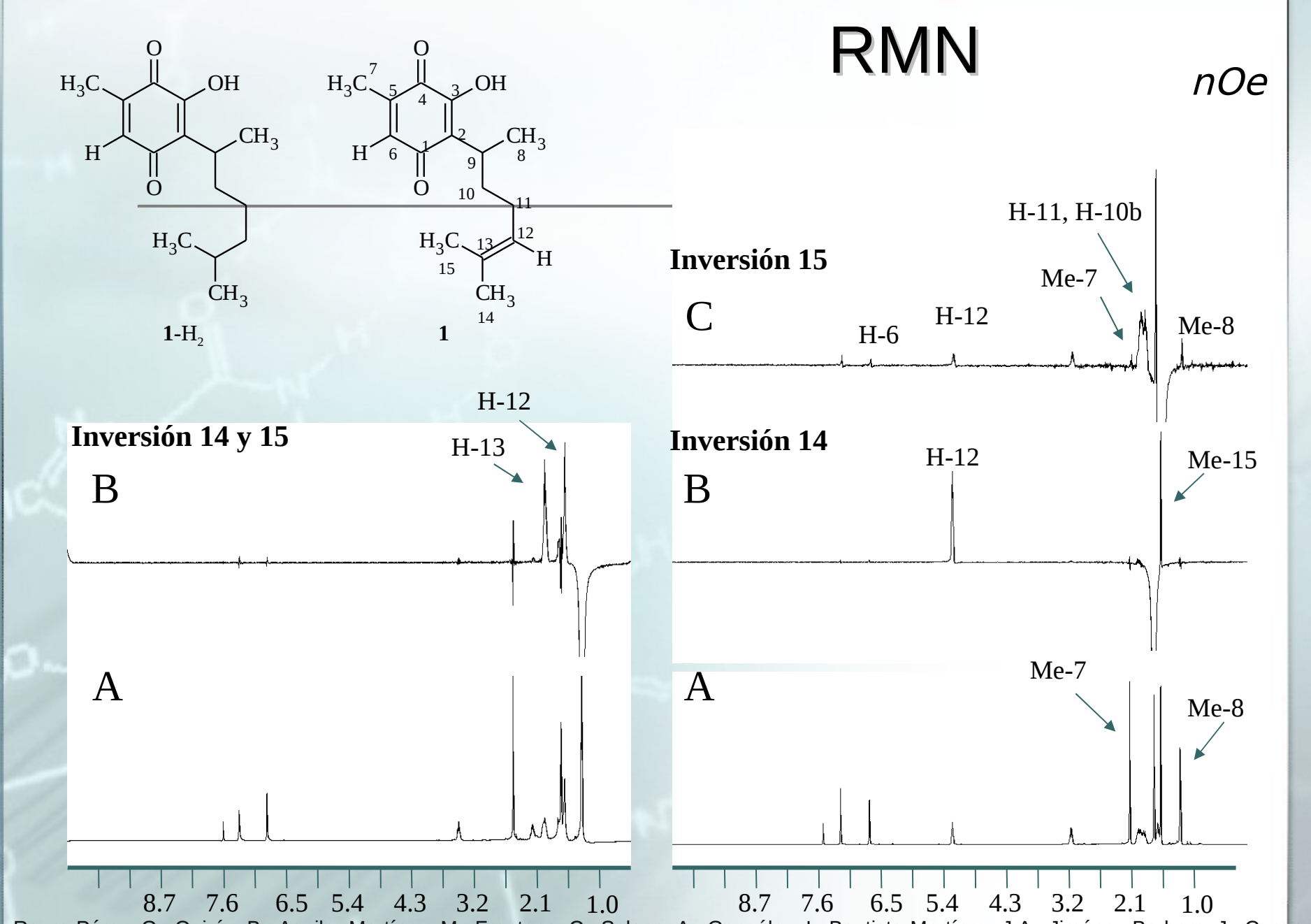
#### Resultados computacionales



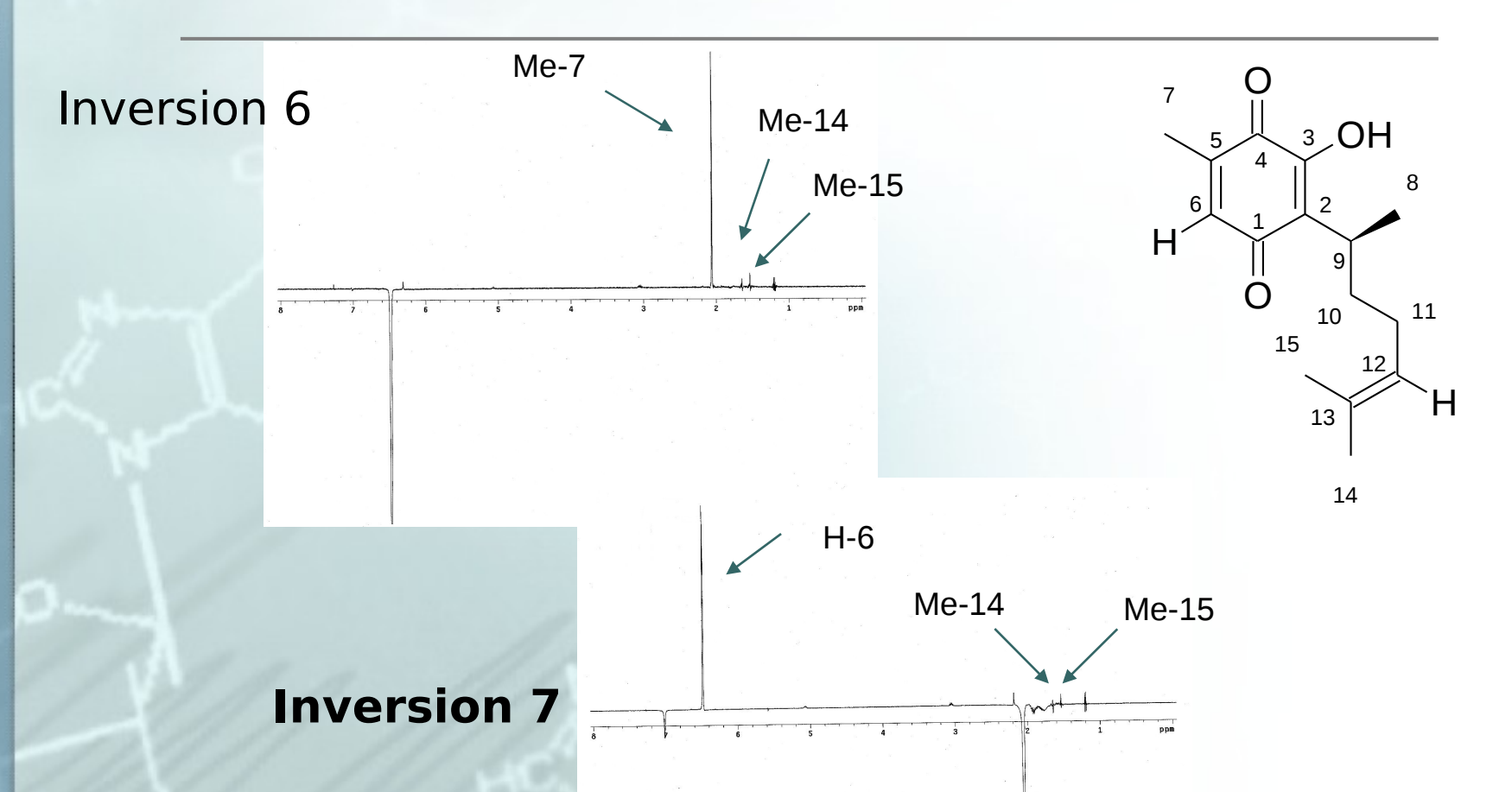
• Molekel, Versión 4.3.win32, Date: 11.Nov.02, by Stefan Portman, Copyright © **2002** CSCS/ETHZ. (orig. IRIX GL implementation, concept and data structure by Peter F. Fluekiger, CSCS/UNI Geneva



✓ ¿Es posible que los confórmeros más estables propuestos sean reales o sean sólo producto de un cálculo hecho en fase gaseosa?

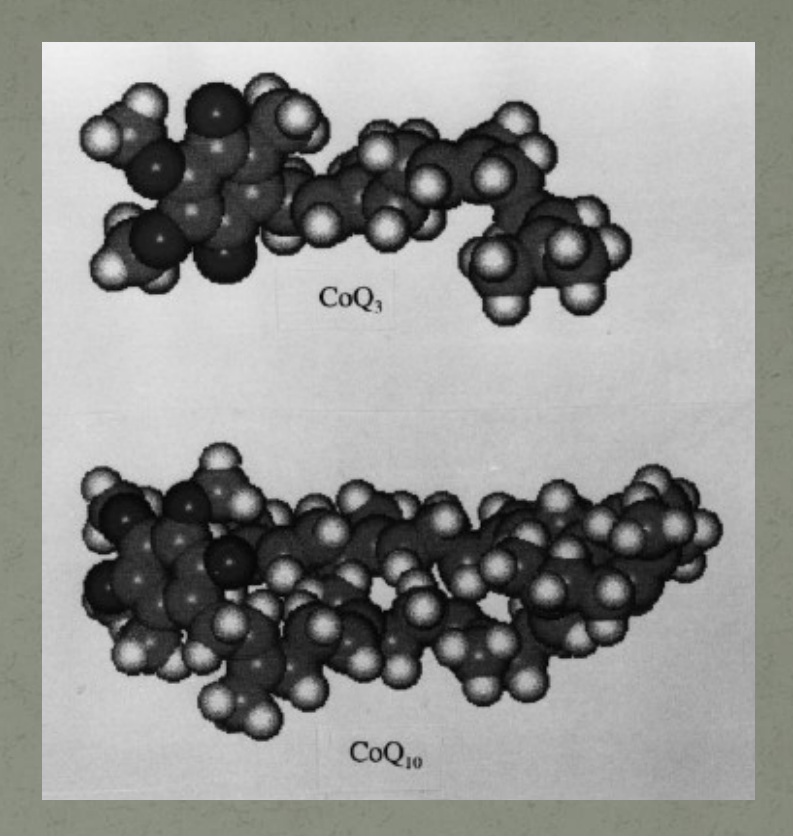


Roura-Pérez, G.; Quiróz, B.; Aguilar-Martínez, M.; Frontana, C.; Solano, A.; González, I.; Bautista-Martínez, J.A.; Jiménez-Barbero, J.; Cuevas G.J. Org. Chem. 2007, 72, 1883-1894.



Roura-Pérez, G.; Quiróz, B.; Aguilar-Martínez, M.; Frontana, C.; Solano, A.; González, I.; Bautista-Martínez, J.A.; Jiménez-Barbero, J.; Cuevas, G *J. Org. Chem.* **2007**, 72, 1883-1894.

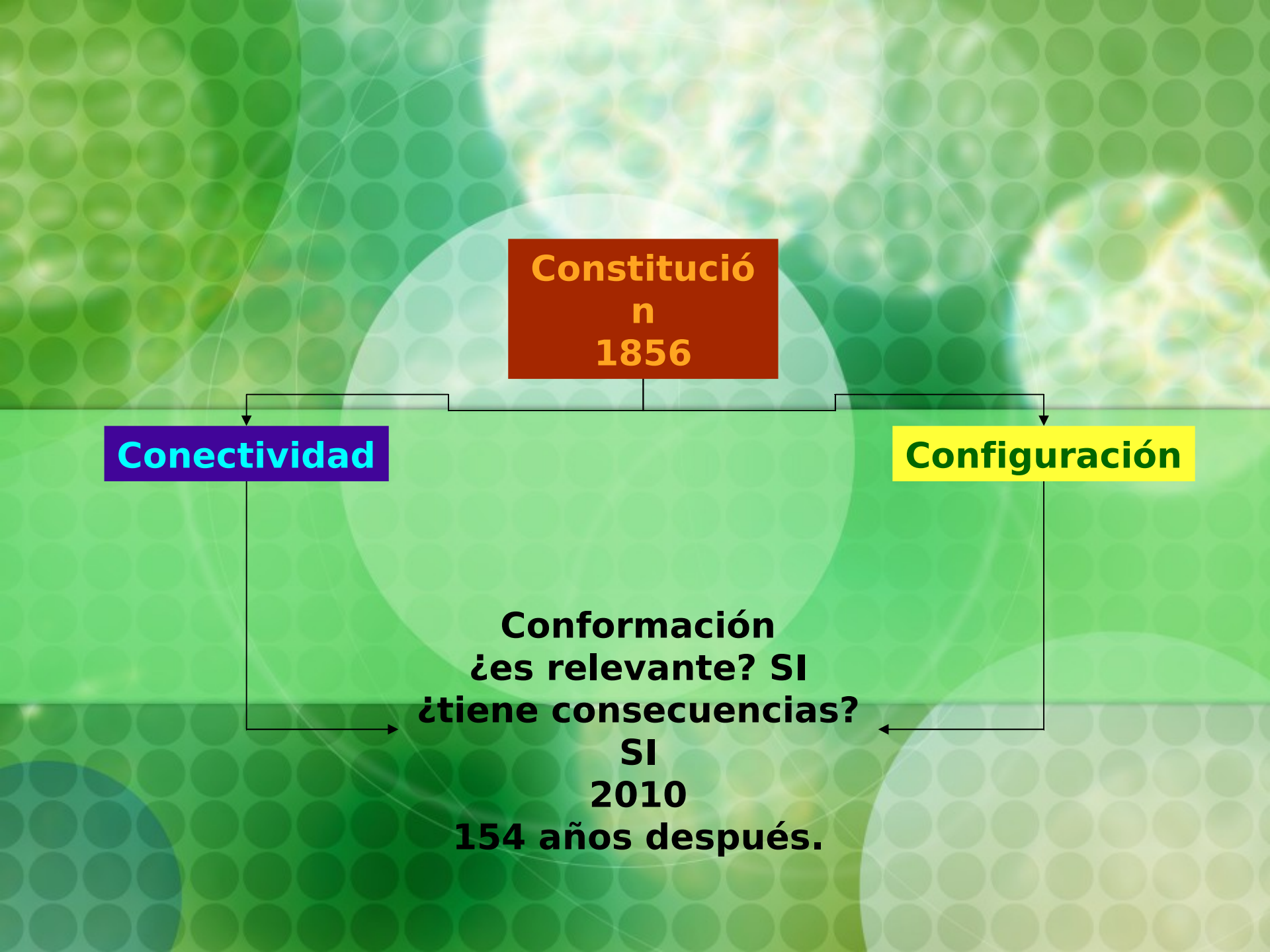
# Considerando el Coeficiente de Difusión



	$CoQ_1$	$CoQ_2$	$CoQ_3$	CoQ <sub>10</sub> folded
$V_0$ (Å <sup>3</sup> ) $E^b$	109.30 <sup>a</sup> 27.2	150.72a 30.5	213.52a 37.9	351.70 <sup>a</sup> 56.1
$D \ (\times 10^{-6} \ \text{cm}^2/\text{s})$	3.30	2.20	1.40	1.43

<sup>&</sup>lt;sup>a</sup>From structures obtained by MD simulations.

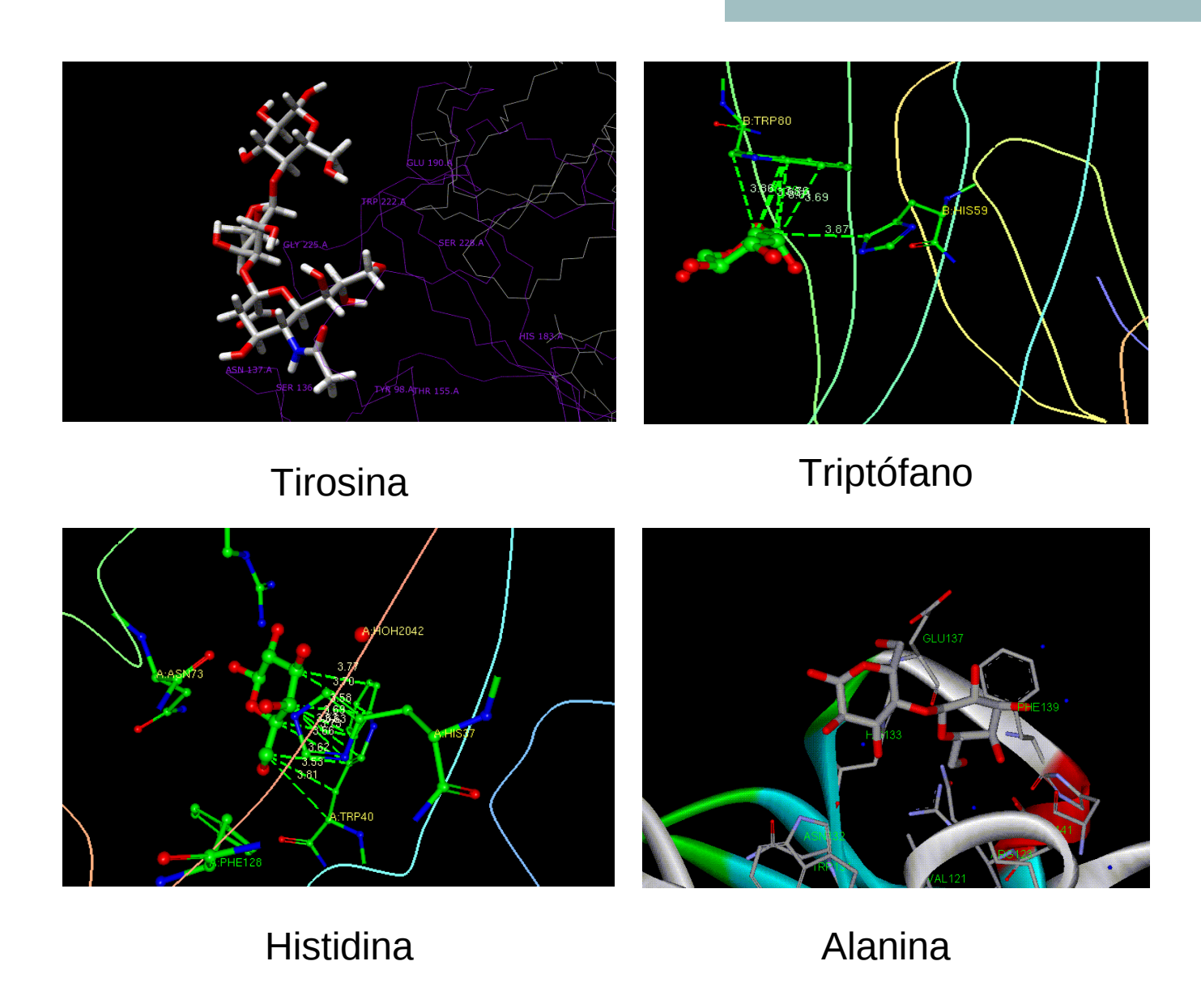
bPotential energy expressed in kcal/mol.



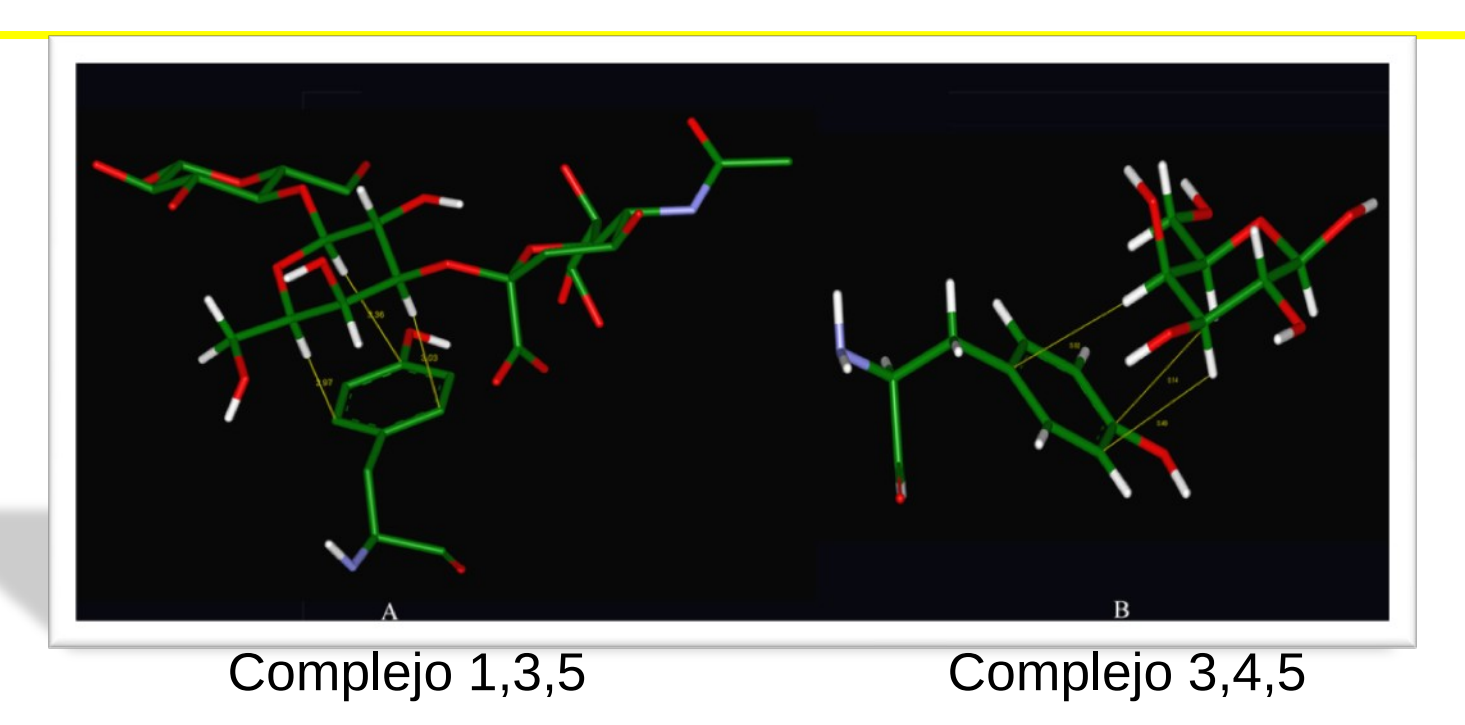
Interacción CH/ $\pi$  que media el reconocimiento entre carbohidratos y benceno es de naturaleza entálpica.

# ¿Qué es la interacción carbohidrato-proteina?

### Complejo Lectina/Carbohidrato

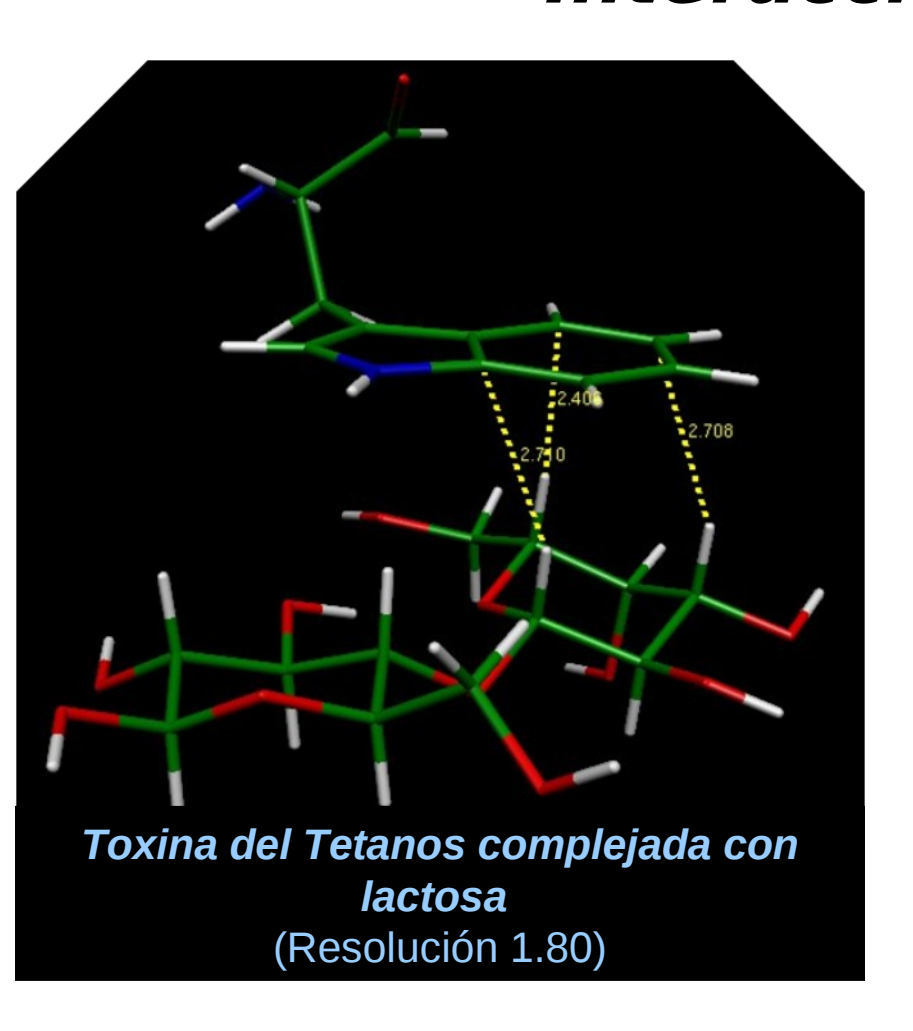


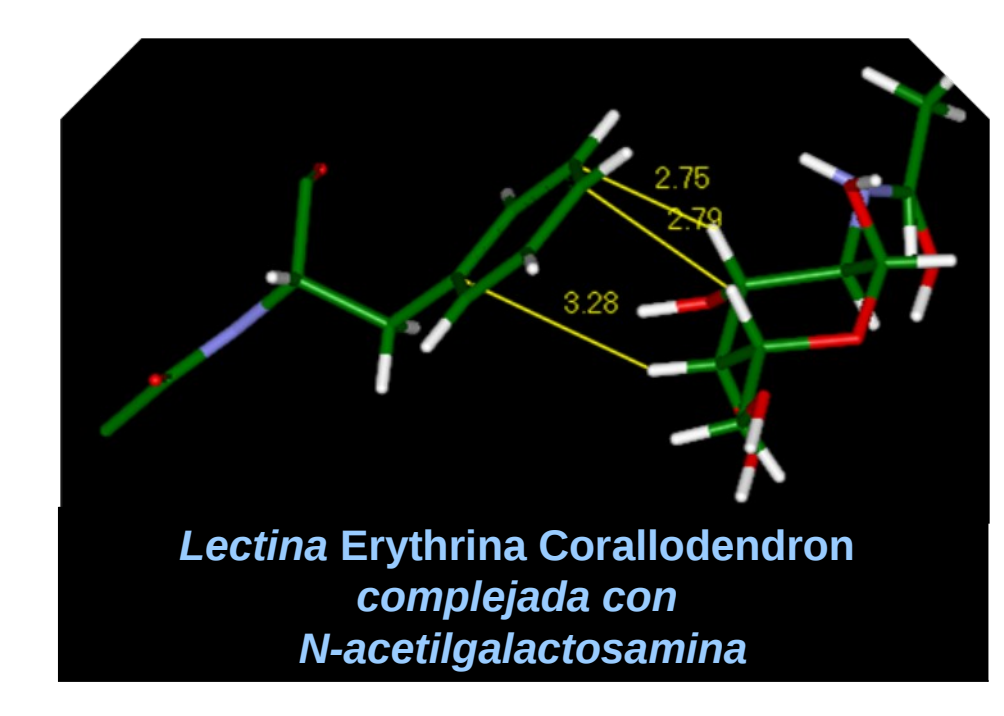
# Estructura de los sitios de Reconocimiento

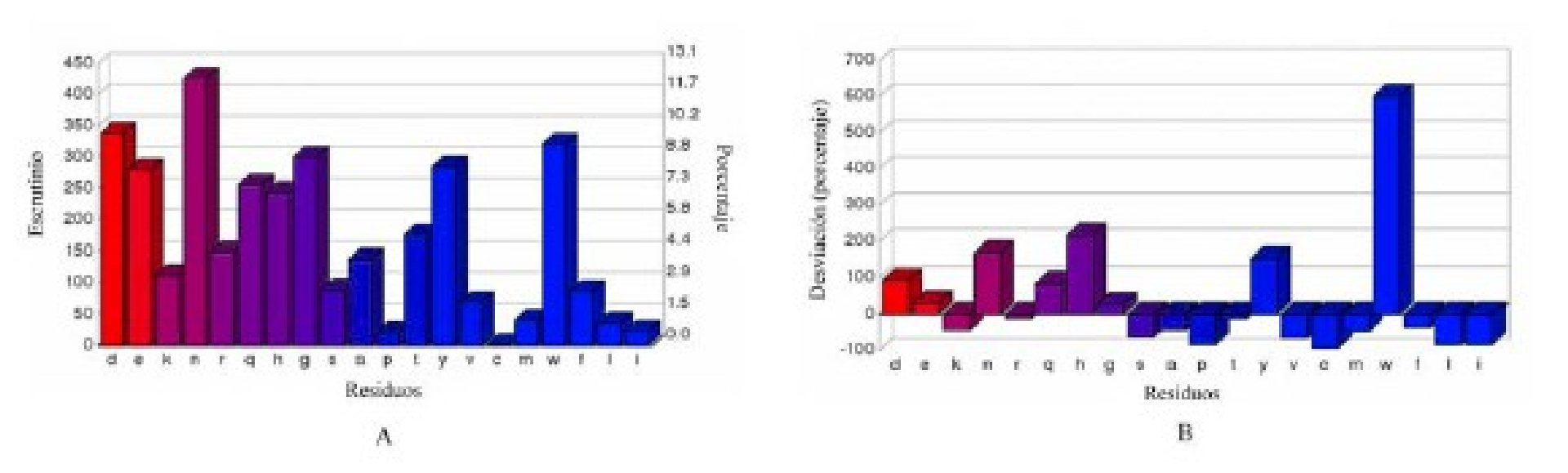


- a. Hemaglutinina del virus de la influenza acomplejado con 2,3-silillactosa
- b. Lectina III de *Ulex europeanus* acomplejado con galactosa.

#### Interacciones CH-π:



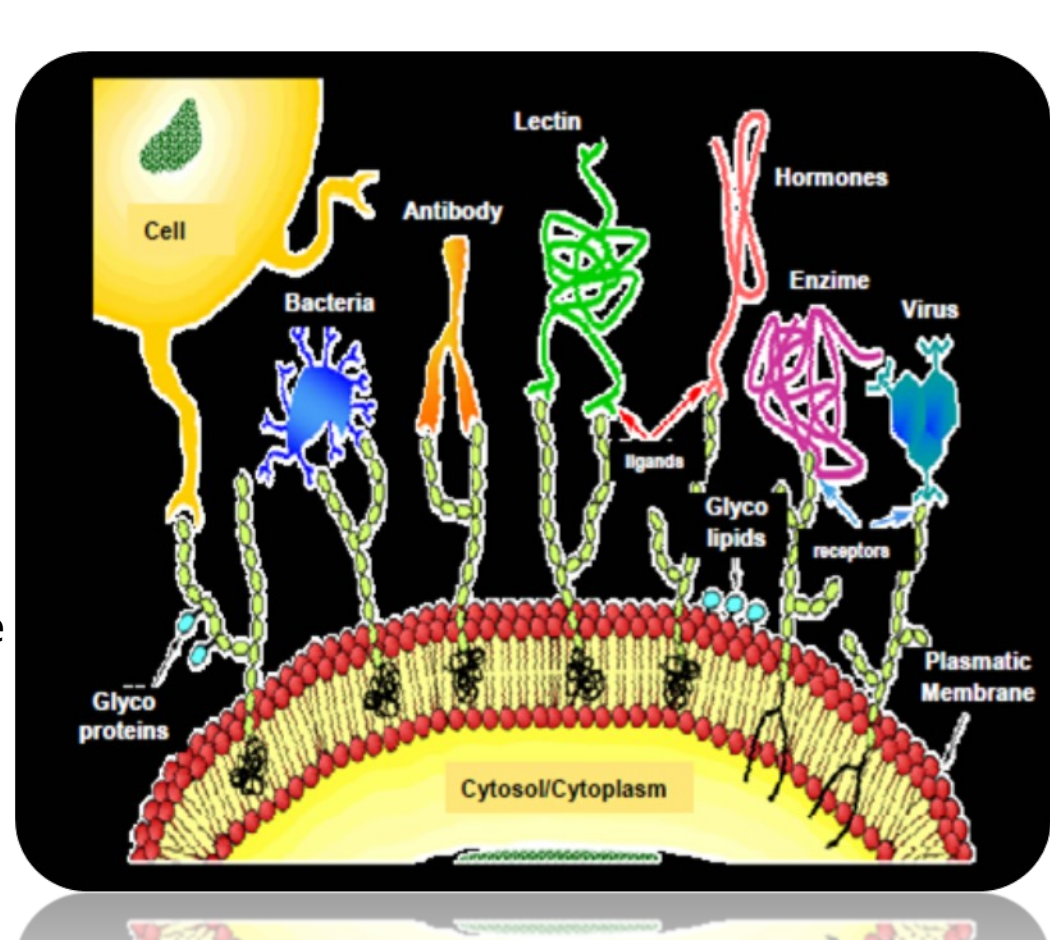




a. Representación de los aminoácidos que se sitúan cerca de los residuos de Metil-β-D-Galactopiranosido. b. Desviación de la media para los residuos en cercanía espacial. Los residuos se representan en función de su polaridad (rojo Polar, azul no polar). W: triptófano, Y: tirosina, H: histidina.

## Interacción proteínacarbohidrato

- Respuesta alérgica
- Embriogénesis
- Maduración tisular
- Metástasis
- Hidratación y conformación de proteínas.





# ¿Cuál es su origen?

• ¿Entrópico?

• ¿Entálpico?

## ¿Cuál es su origen? $\Delta G = \Delta H - T \Delta S$

### □ ¿Entrópico?

Cuando el carbohidrato entra en el sitio de reconocimiento desplaza moléculas de disolvente (agua) y la entropía aumenta. Los

aminoácidos aromáticos no producen interacciones relevantes.

### ☐ ¿Entálpico?

Las interacciones débiles producen estabilidad los aminoácidos aromáticos participan en ellas.

# Condiciones para la existencia del reconocimiento molecular:

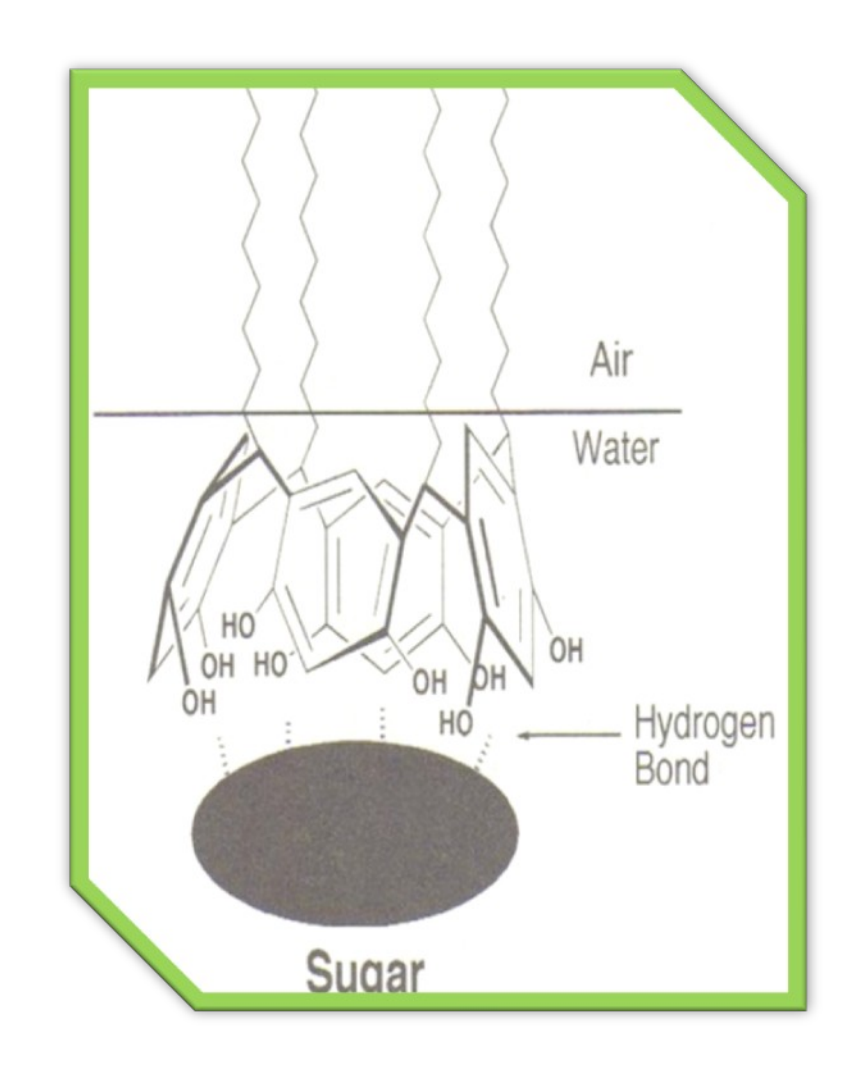
- Energía de estabilización.
- Especificidad que está asociada a:
  - Complementaridad
  - Preorganización

## Reconocimiento Molecular

Preorganización.

Emil Fischer – 1894. Modelo de la llave y la cerradura.

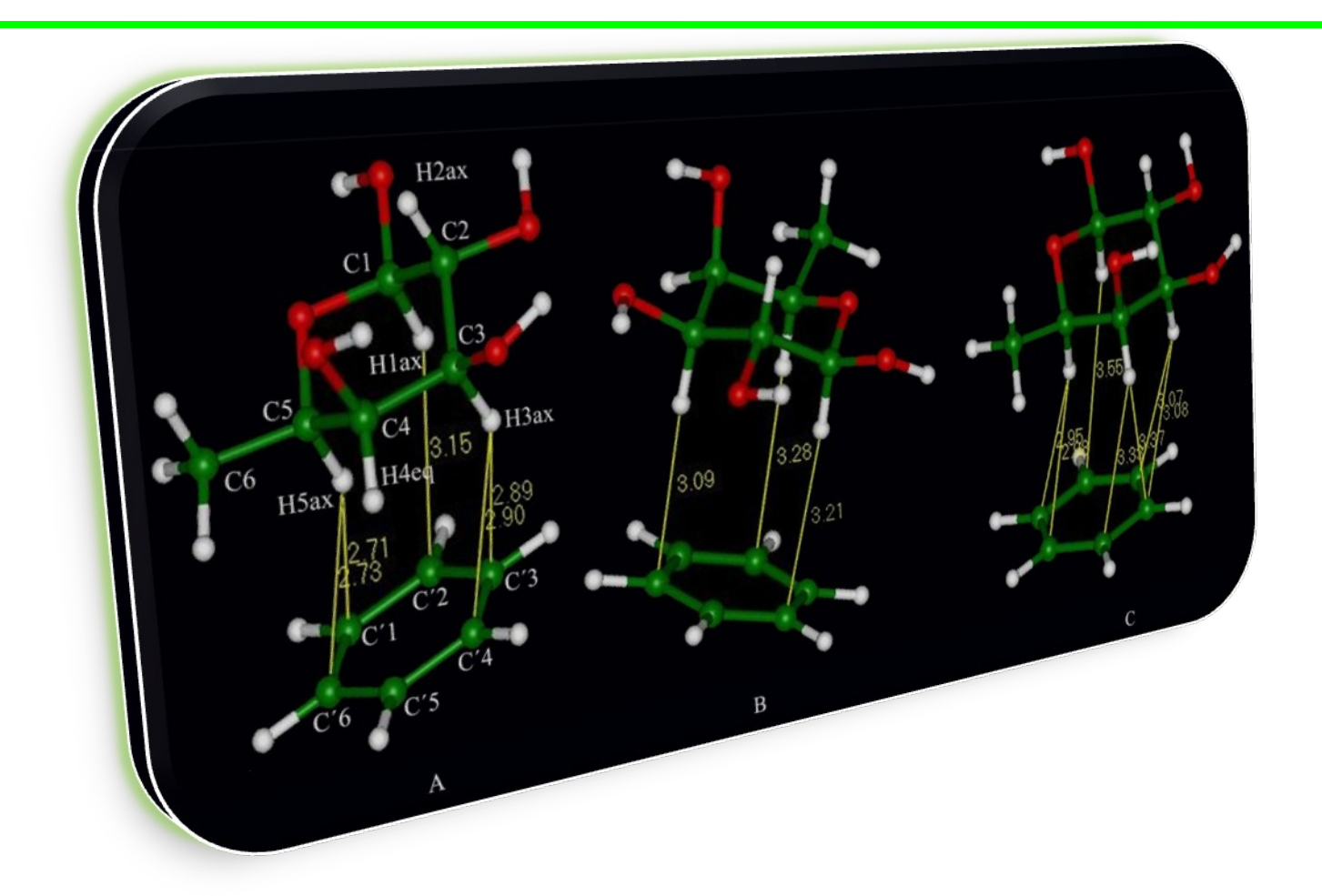
Daniel Koshland – 1958. Modelo del ajuste inducido.



Es necesario contar con una metodología que permita evaluar estos dos aspectos.

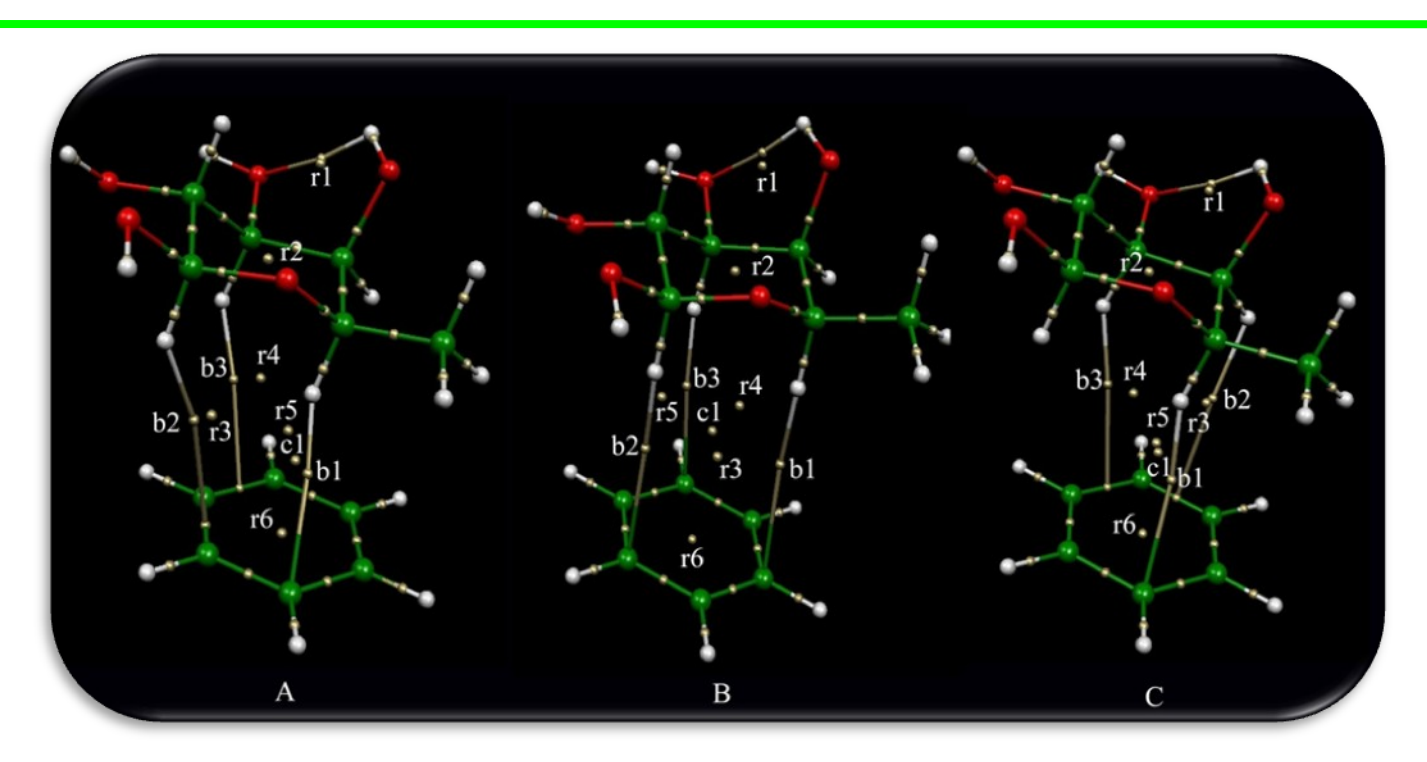
- Energía: métodos computacionales, calorimetría.
- \*Región de interacción: métodos computacionales, RMN.

Estados estacionarios de la supramolecula formada por benceno y fucosa.



A) MP2/6-31G(d,p); B) B3LYP/6-31G(d,p); C) MP2/6-31G(d,p) corregida por el método de contrapeso durante la optimización.

#### Aplicación de la Teoría Topológica de Atomos en Moléculas



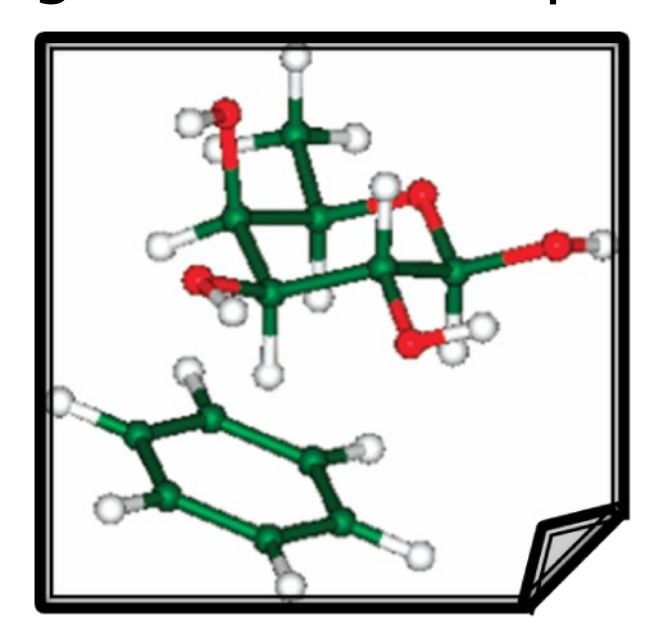
Puntos críticos en la densidad electrónica de los estados estacionarios de las supramoleculas en distintos niveles de teoría. A, MP2/6-31G(d,p); B, B3LYP/6-31G(d,p); C, MP2/6-31G(d,p) corregida por CP. De acuerdo con AIM, **b**, punto crítico de enlace; **r**, de anillo, **c**, de caja.

Fernández-Alonso, M. C.; Cañada, J.; Jiménez-Barbero, J.; Cuevas, G. Molecular Recognition of Saccharides by Proteins. Insights on the Origin of the Carbohydratye-Aromatic Interactions. *J. Am. Chem. Soc.* **2005**, *127*, *127*, 7379-7386 .

# ...¿Quién puede aceptar estos datos sin pruebas experimentales?

#### **Objetivos:**

- Cuantificar la energía de la interacción.
- Identificar la región donde se produce.

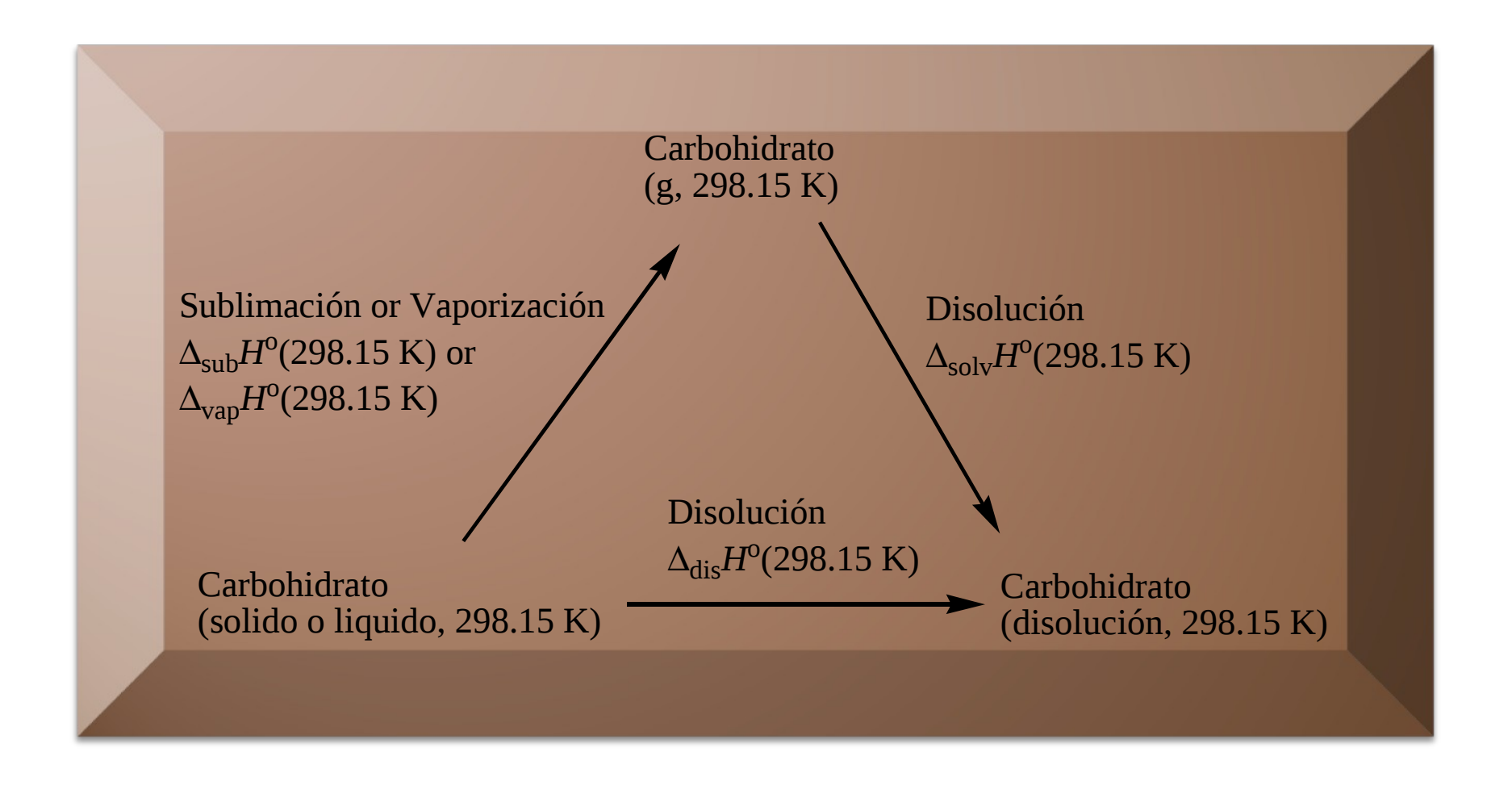


## Metodología

$$MeO$$
  $HOMe$   $HOMe$ 

Con pureza mayor al 99.9%

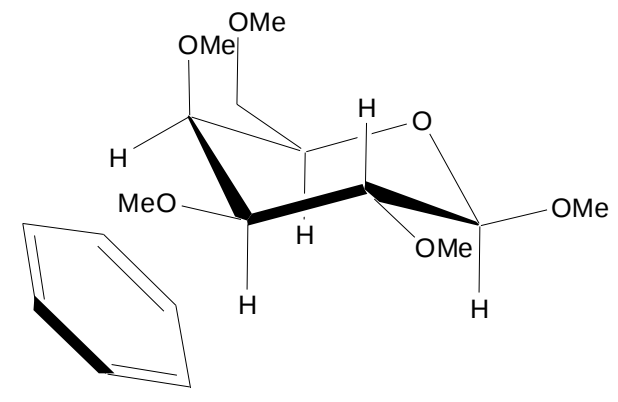
#### Obtención del calor de disolución.



# Cuantificar la Energía de la Interacción

	-		EACTHRON WORKSONGOOD DAY STOLEN SERVICE	
	$\stackrel{\circ}{\Delta}_{dis}\stackrel{\circ}{m}$	$\Delta_{s}^{g} \stackrel{\circ}{\underset{m}{{}}}  \text{or}  \Delta_{l}^{g} \stackrel{\circ}{\underset{m}{{}}}$	$\Delta H m$	$\sigma_{tot}$ ,( $\frac{+}{4}$ )
$lpha$ -Me $_5$ -Gal	-0.67	88.37	-89.04	2.00
β-Me <sub>5</sub> -Gal	16.54	105.245	-88.71	5.54
β-Ac <sub>5</sub> -Gal	12.1	144.64	-132.54	6.19
$_{lpha}$ -Me $_{ extsf{5}}$ -Man	-3.65	75.177	-78.83	3.91

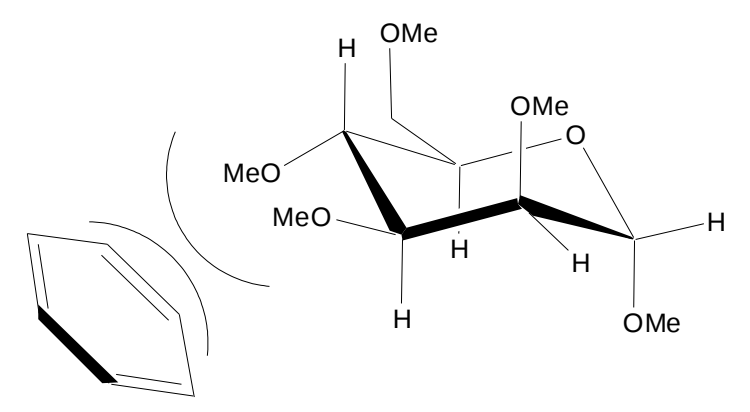
$$CH/\pi \text{ energy} = \Delta_{\text{solv}} H_{m(1)}^o - \Delta_{\text{solv}} H_{m(2)}^o$$



CH/**7**attractive environment

a

$$\Delta_{ais} H_{m}^{\circ} = -88.7 \pm 5.5 \text{ kJ mol}^{-1}$$



No CH/**T**epulsive environment

b

$$\Delta_{ais} H_n^{c} = -78.8 \pm 3.9 \text{ kJ mol}^{-1}$$

CH/**rt**nteraction Energy = 9.9 kJ mol<sup>-1</sup>

#### Evaluación de la Energía CH/ $\pi$ (kJ mol<sup>-1</sup>)

Energía CH/
$$\pi = \Delta_{solv} H^0_{m (1)} - \Delta_{solv} H^0_{m (2)}$$

1-metoxi-4-metilbenceno

13.6

0-xileno

13.8

m-xileno

13.7

1,2-dimetoxibenceno

13.2

1,3-dimetoxibenceno

9.9

**Valor MP2/6-31G(d,p) 12.5 kJ mol**<sup>-:</sup> Fernández-Alonso, M.; Cañada, F. J.; Jiménez-Barbero, J.; Cuevas, G. *J. Am. Chem. Soc.* **2005**, *127*, 7379.

Lorena Bautista-Ibáñez, Karla Ramírez-Gualito, Beatriz Quiroz-García, Aarón Rojas-Aguilar, Gabriel Cuevas *J. Org. Chem.* **2008**, *73*, 849.

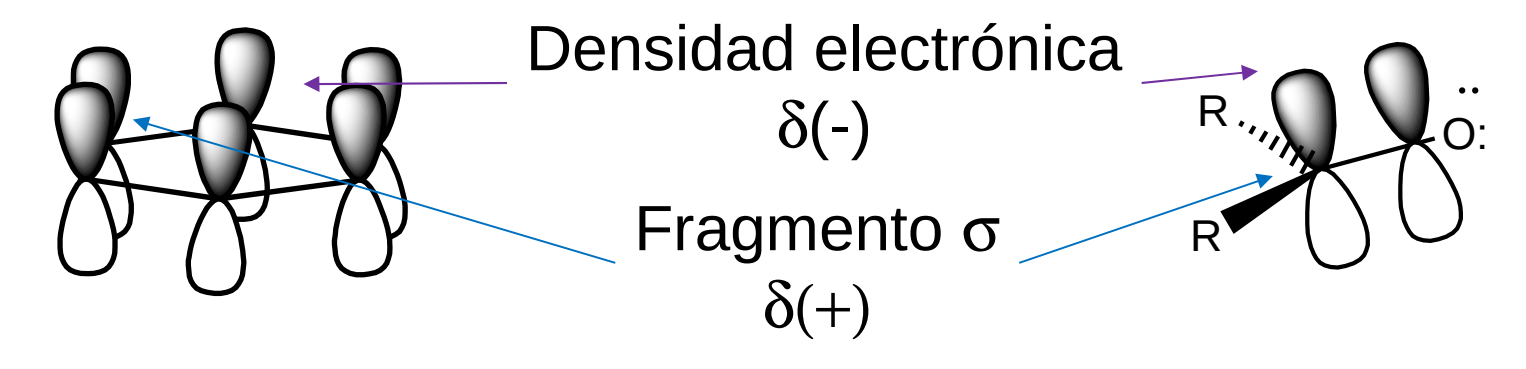
Entalpías de solvatación en kJ mol<sup>-1</sup> de Metil 2,3,4,6-tetra-O-metil- $\alpha$ -D-manopiranósido (**1**) y Metil 2,3,4,6-tetra-O-metil- $\beta$ -D-galactopiranósido (**2**) en diferentes disolventes aromáticos (1:10 mol:mol).

Determinadas por Microcalorimetría Calvet Microcalorimetry a 303.15 K. El valor para **1** es constante: 75.177 kJ mol<sup>-1</sup> y es 105.245 para **2**.

α-manosa permetilada			β-galactosa permetilada			
Disolvente	$\stackrel{\Delta}{\mathop{dis}}\stackrel{m}{\mathop{m}}$	$\stackrel{\Delta}{\mathop{solv}}\stackrel{H}{\mathop{m}}$	$\sigma_{tot}$ ,(±) $^{\mathrm{a}}$	$^{\Delta}_{dis}H^{\circ}_{m}$	$\Delta_{solv}^{}H_{m}^{^{\circ}}$	$\sigma_{tot}$ , (±)
1-metoxi-4- metilbenceno	0.938	-74.239	3.898	17.391	-87.854	5.655
o-xileno	2.623	-72.554	3.899	18.914	-86.331	5.536
m-xileno	2.996	-72.181	3.897	19.386	-85.859	5.547
p-xileno	2.625	-72.552	3.897	19.249	-85.996	5.564
1,2-dimetoxibenceno	1.055	-74.122	3.897	17.970	-87.275	5.582
1,3-dimetoxibenceno	-1.069	-76.246	3.899	16.175	-89.070	5.545
benceno	-3.649	-78.826	3.906	16.537	-88.708	5.536

## ¿Cómo evaluar la región molecular en donde se produce la interacción?

## Anisotropía Inducida (B<sub>0</sub>)



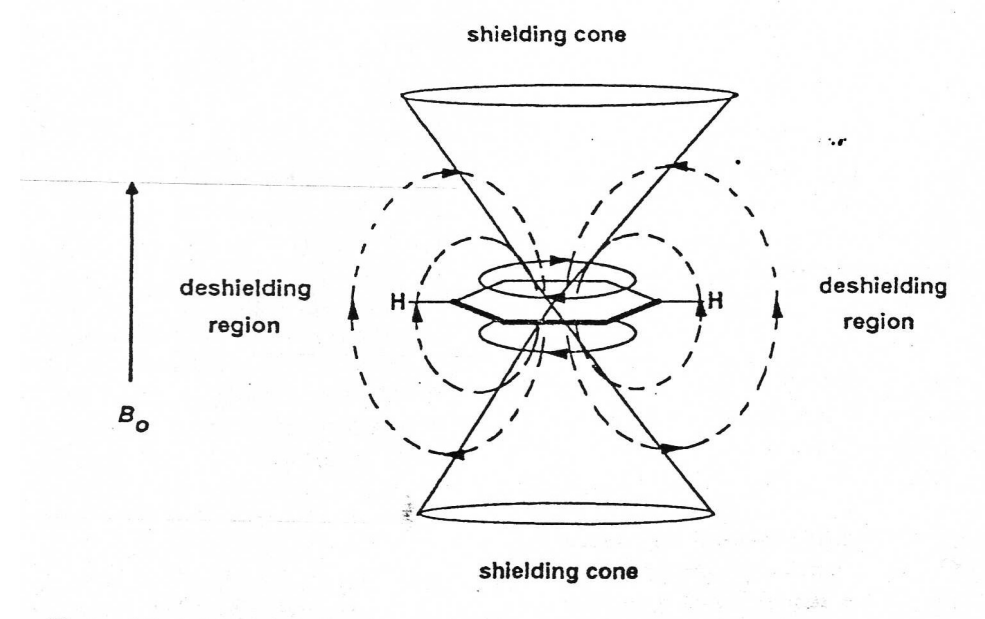
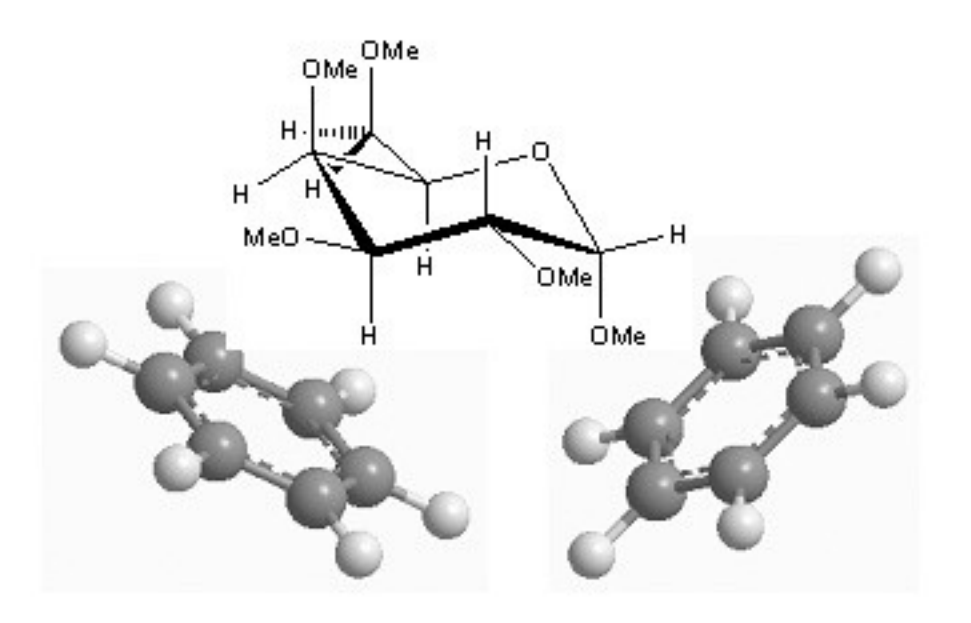


Figure 6.5. Anisotropic-induced magnetic field (dotted lines) in the proximity of an aromatic ring. The ellipses above and below the ring represent the ring current of  $\pi$  electrons.

# $C^{e}H^{e}/C^{e}D^{e}$

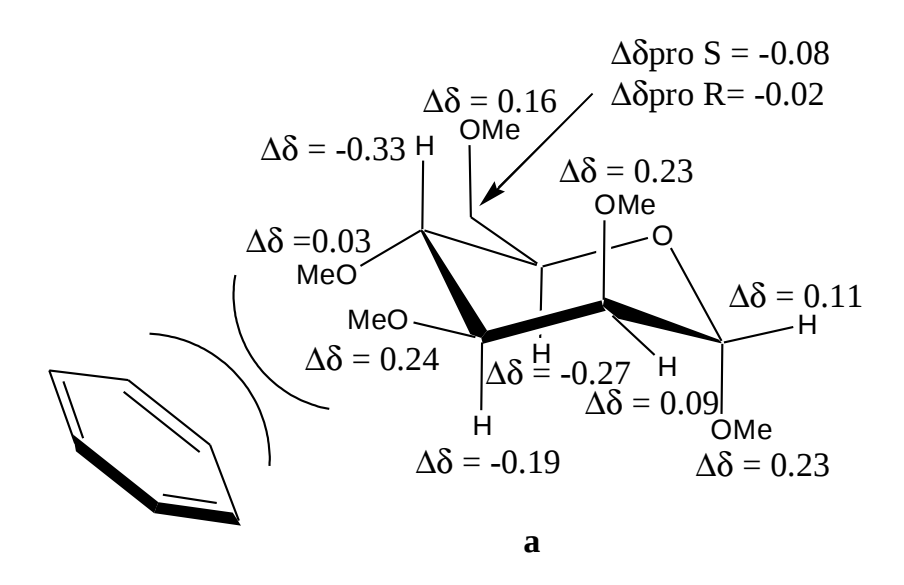


OMe

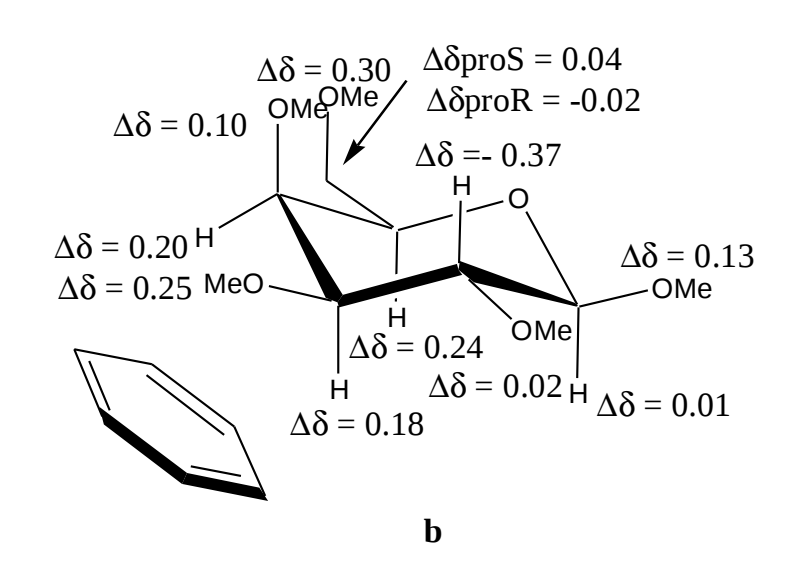
OMe

Titulaciones Anisotrópicas

β-Galactosa  $\alpha$  - Galactosa 4.4 5.0 4.2 4.0 4.8 3.8 δ (ppm) § (ppm) 3.4 3.8 3.2 3.6 3.0 2.8 3.4 0 Relaci  $\hat{\phi}$  Molar (carbohidrato/benceno- $d_{\epsilon}$ ) Relaci Molar (carbohidrato/benceno-d<sub>6</sub>)



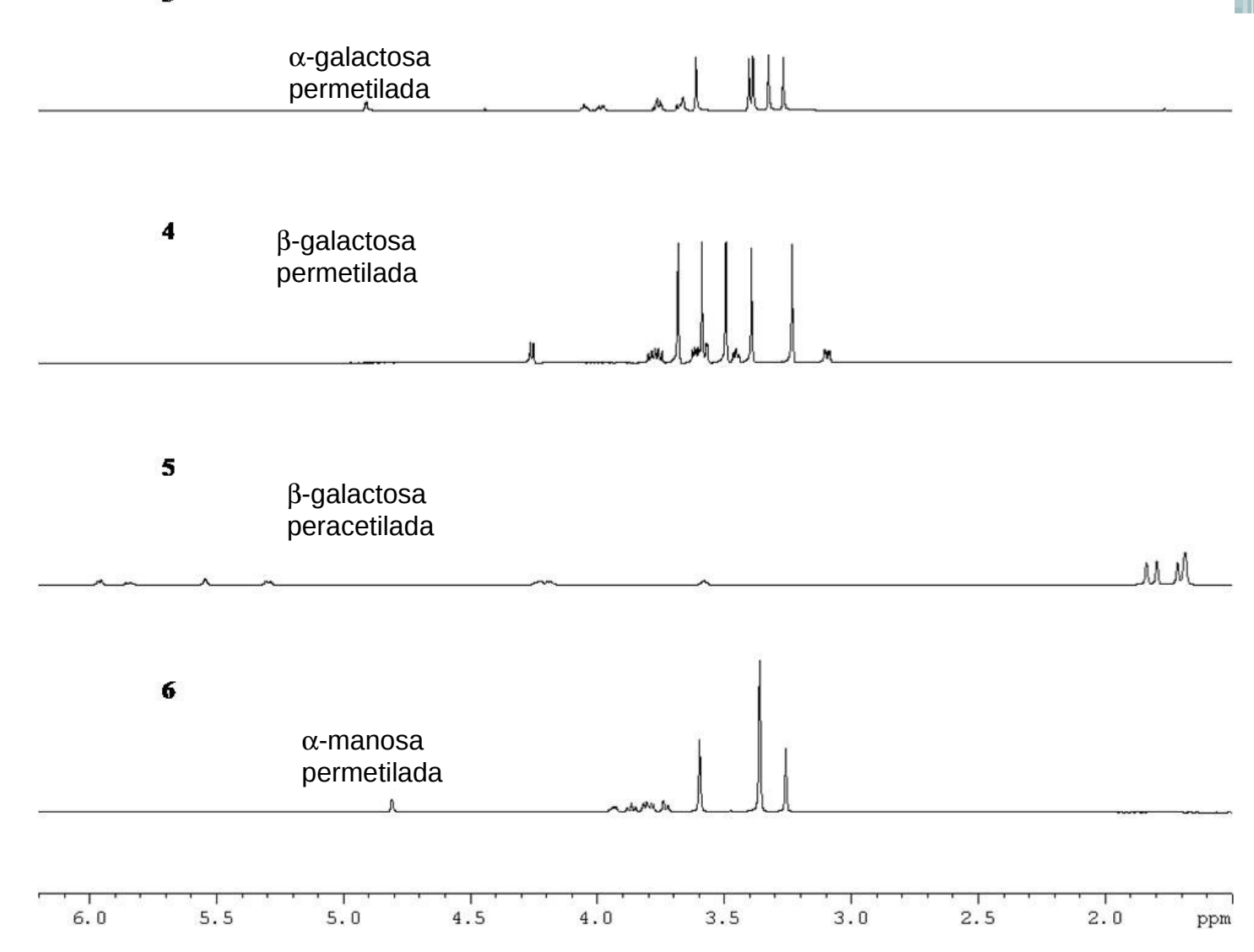
No interacción  $CH/\pi$ 



 $CH/\pi$  attractiva

Efecto de la interacción CH/ $\pi$  en el corrimiento químico de **1** y **2** medidos a través de:  $\Delta\delta = \delta_{\text{CDCI3}} - \delta_{\text{C6D6}}$  en ppm.

3



# Retomando el caso anómalo de la peracetilación:

	$\stackrel{\circ}{\Delta}_{ extit{dis}}\overset{\circ}{ extit{m}}$	$\Delta_{s}^{g} \stackrel{\circ}{\underset{l}{\text{m}}}  \text{or}  \Delta_{l}^{g} \stackrel{\circ}{\underset{m}{\text{m}}}$	$\stackrel{\circ}{\Delta}_{solv} \stackrel{\circ}{m}$	$\sigma_{tot}$ ,( $\frac{+}{4}$ )
$_{lpha}$ -Me $_{ extsf{5}}$ -Gal	-0.67	88.37	-89.04	2.00
β-Me <sub>5</sub> -Gal	16.54	105.245	-88.71	5.54
β-Ac <sub>5</sub> -Gal	12.1	144.64	-132.54	6.19
$lpha$ -Me $_5$ -Man	-3.65	75.177	-78.83	3.91

$$CH/\pi \text{ energy} = \Delta_{\text{solv}} H_{m(1)}^o - \Delta_{\text{solv}} H_{m(2)}^o$$

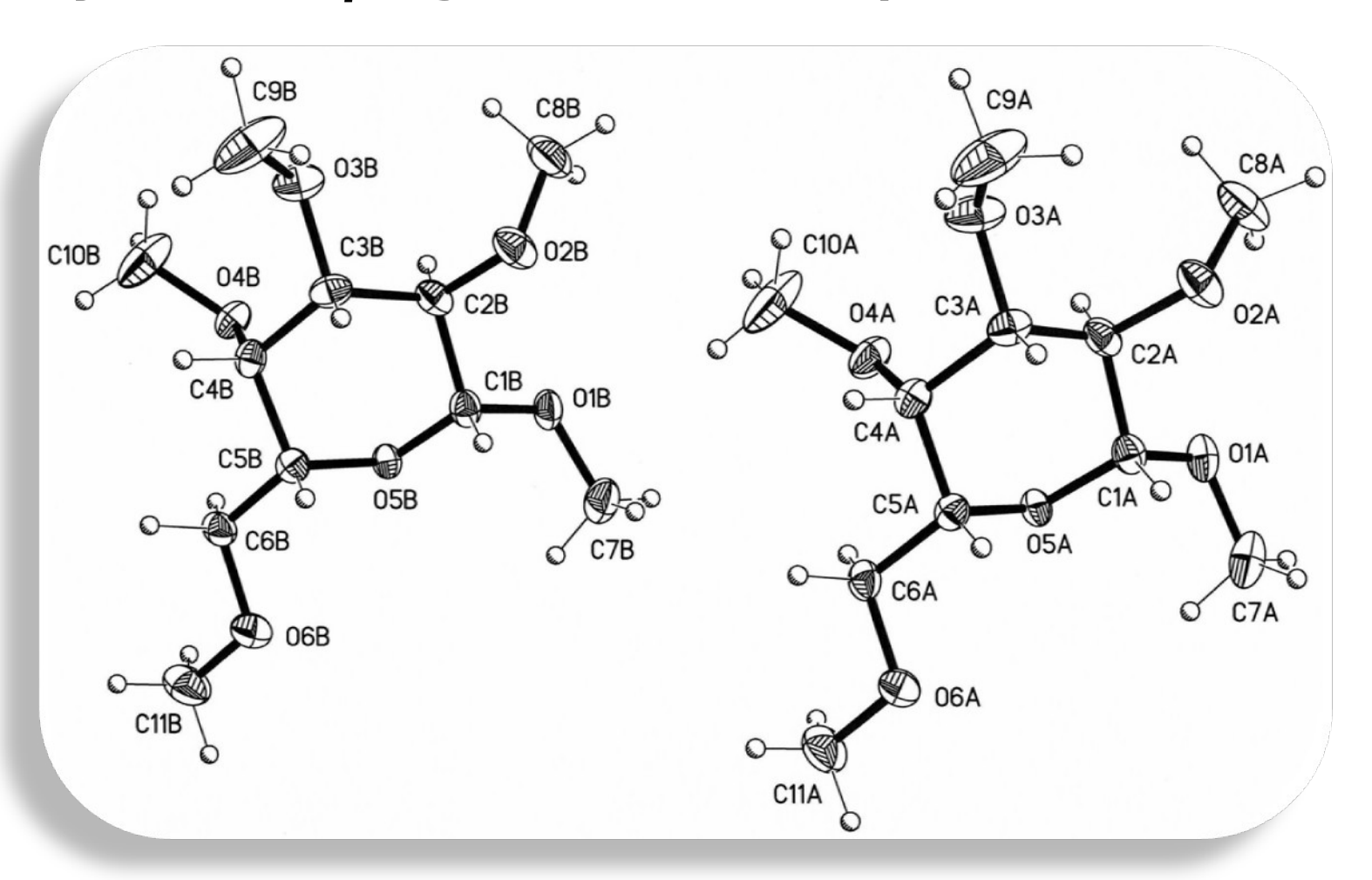
### Antecedente:

 Waters et al. concluyen que los grupos metilo de acetilo y de metoxilo son idénticos en cuanto a su capacidad de interacción con el disolvente.

¿Lo son?

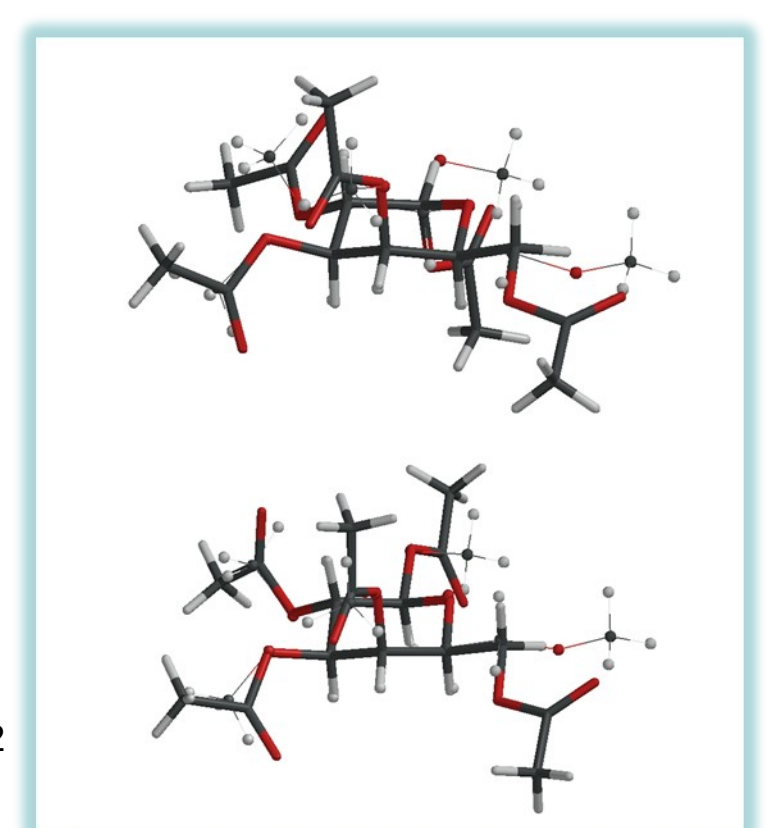
- Kiehna, S. E.; Laughrey, Z. R.; Waters, M. L. Chem. Commun. 2007, 4026-4028.
- Tatko, C. D.; Waters, M. L. J. Am. Chem. Soc. 2004, 126, 2028-2034.
- Laughrey, Z. R.; Kiehna, S. E.; Riemen, A. J.; Waters, M. L. J. Am. Chem. Soc. 2008, 130, 14625-14633.

## Rayos X β-galactosa permetilada



## Difracción de rayos X

 $\alpha$ -galactosa acetilada<sup>1</sup>



β-galactosa acetilada<sup>2</sup>

<sup>1)</sup> Thibodeaux, D. P.; Johnson, G. P.; Stevens, E. D.; French, A. D. Carbohydr. Res. 2002, 337,.

<sup>2)</sup> Kumar, R.; Tiwari, P.; Maulik, P. R.; Misra, A. K. Carbohydr. Res. 2005, 340, 2335.

### No son idénticos.

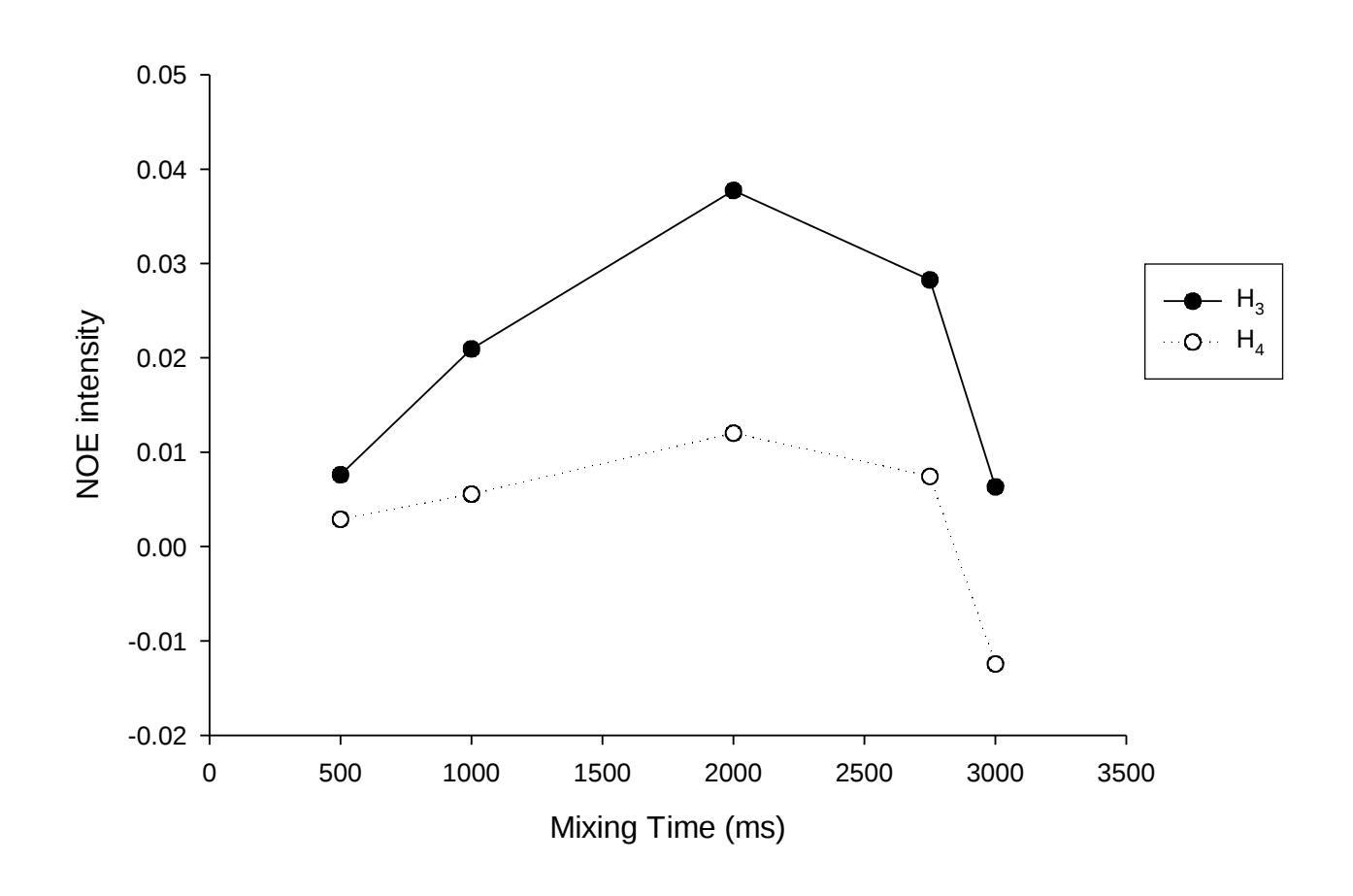
 La energía de interacción medida corresponde a la interacción de los grupos metilo de acetilo con benceno.

 Por eso, cuando se eliminan los grupos acetilo la interacción se pierde. No es la entropía, sino la entalpía metilo(acetilo)aromático.

- □ Para el compuesto penta-O-acetilado el calor de sublimación es de 144.6 kJ mol¹ que concuerda con la baja presión de vapor del compuesto. La energía de interacción con benceno es de -132.5 kJ mol¹, el más estable de todos los complejos.
- No existe interacción CH/ $\pi$  porque el ambiente es repulsivo, así que si se resta el calor de solvatación de la manosa se tiene una diferencia de -53.7 kJ mol<sup>-1</sup>, lo que lleva a una interacción de -10.7 kJ mol<sup>-1</sup>, interaction por cada metilo que interactúa con benceno.
- Nuestro modelo explica el resultado y la pérdida de la interacción al desacetilar.

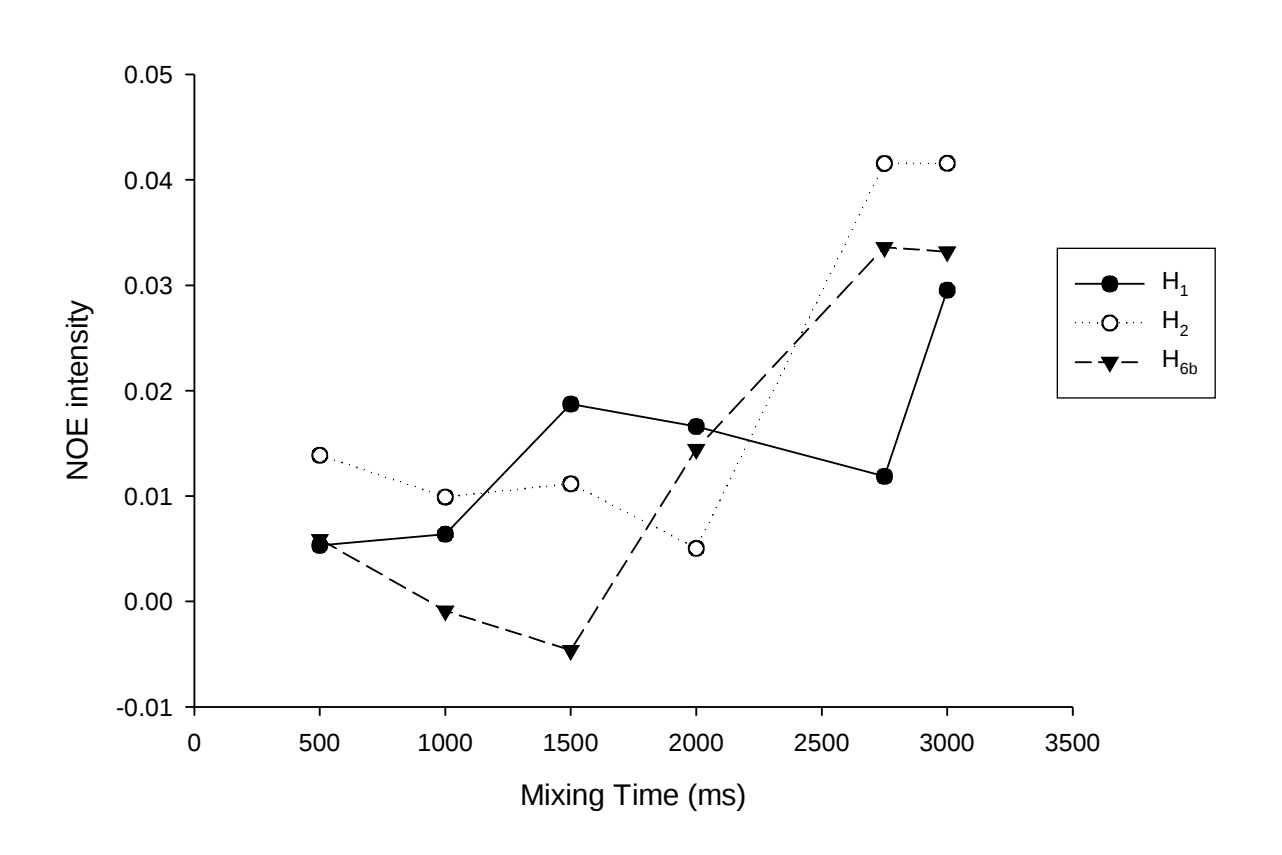
### Medición del efecto NOE

β-galactosa permetilada



## Medición del efecto NOE

#### β-galactosa permetilada



CH/
$$\pi$$
 attractive environment
$$= -89.04 \pm 2.0 \text{ kJ mol}^{-1}$$

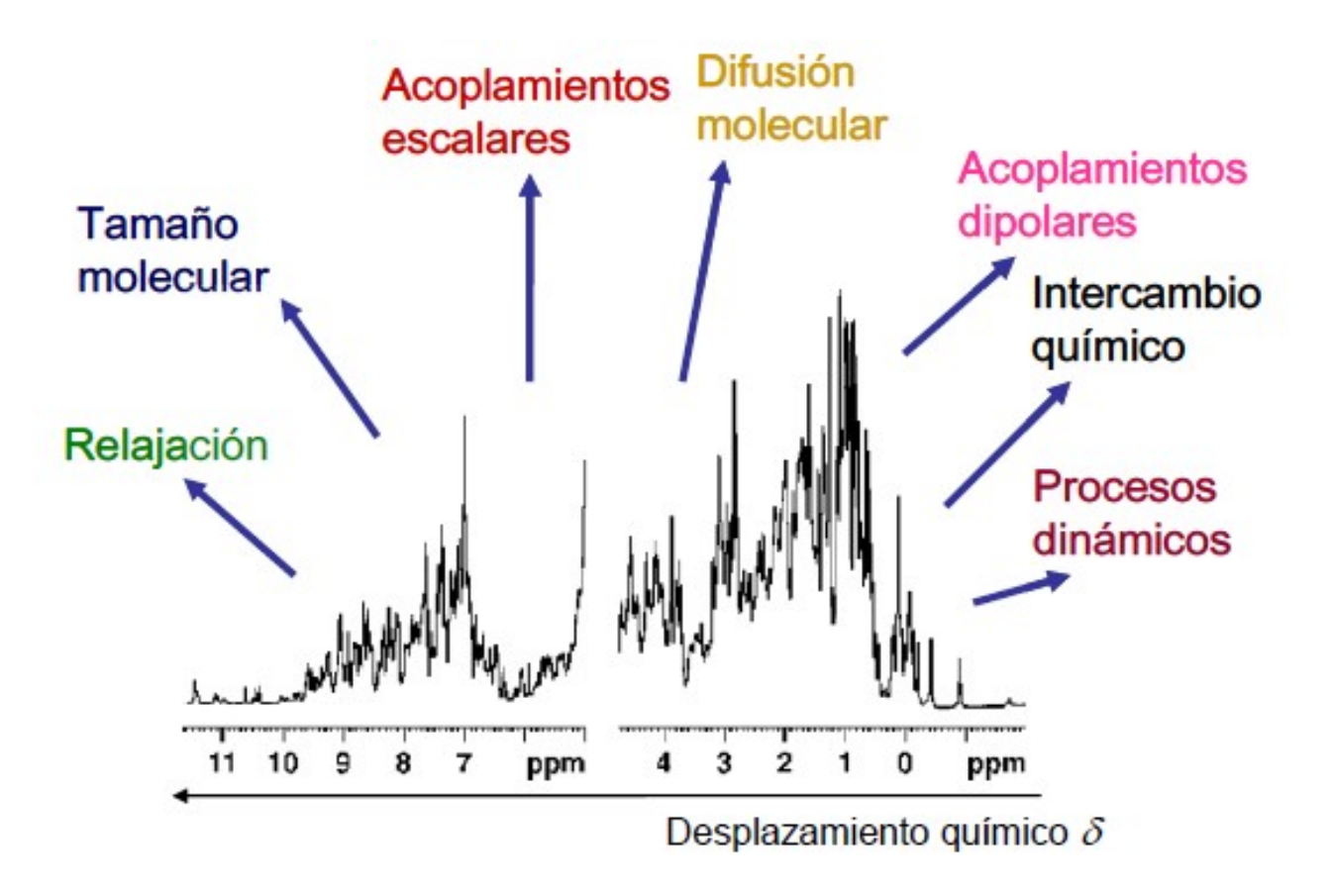
$$= -88.71 \pm 5.54 \text{ kJ mol}^{-1}$$

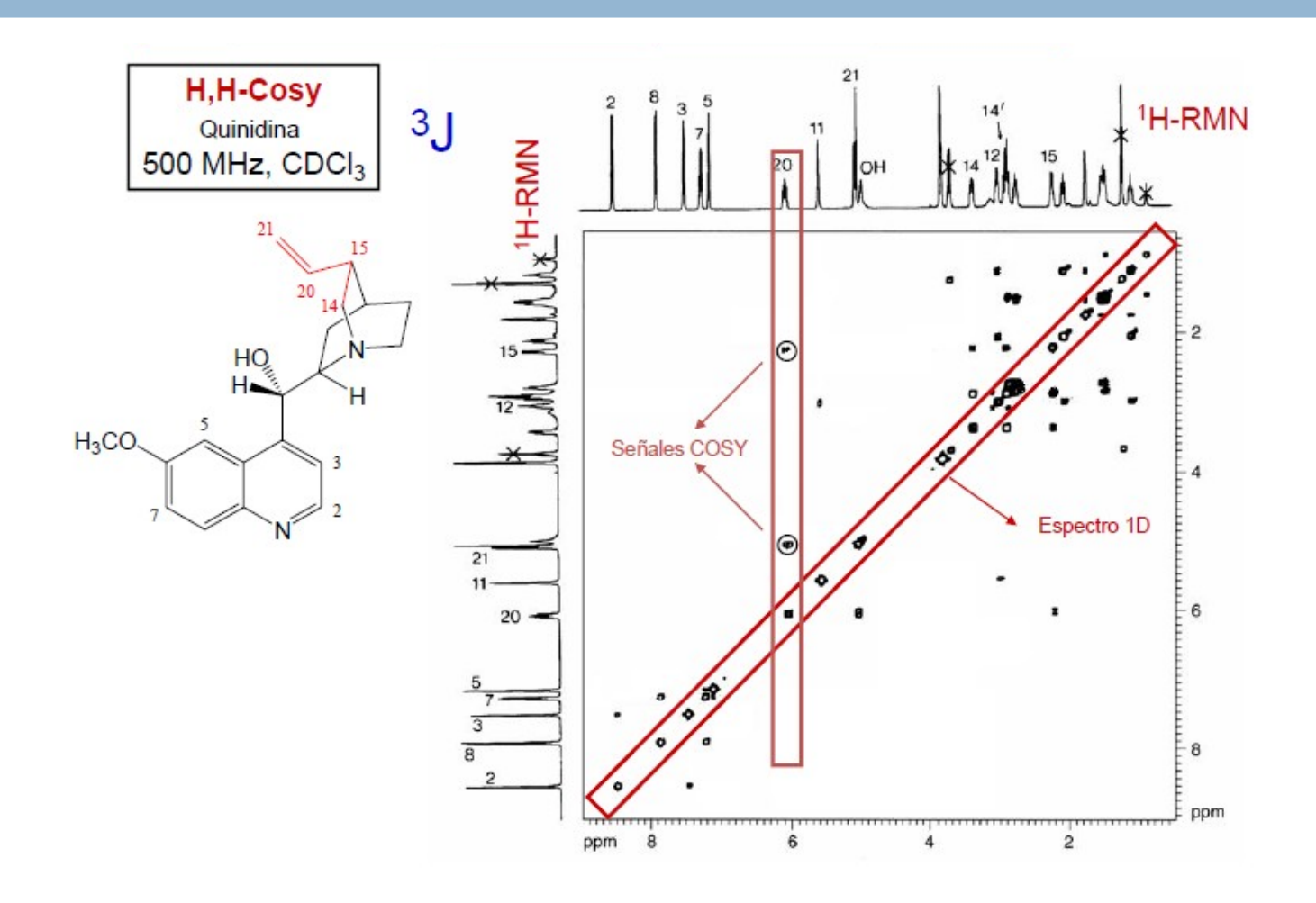
$$= -88.71 \pm 5.54 \text{ kJ mol}^{-1}$$

$$= -132.54 \pm 6.19 \text{ kJ mol}^{-1}$$

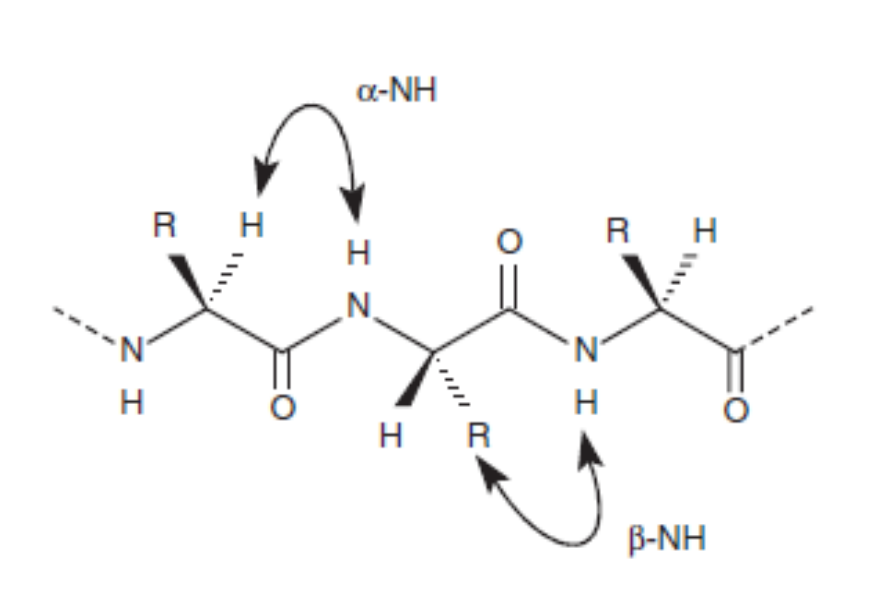
$$= -78.8 \pm 3.9 \text{ kJ mol}^{-1}$$

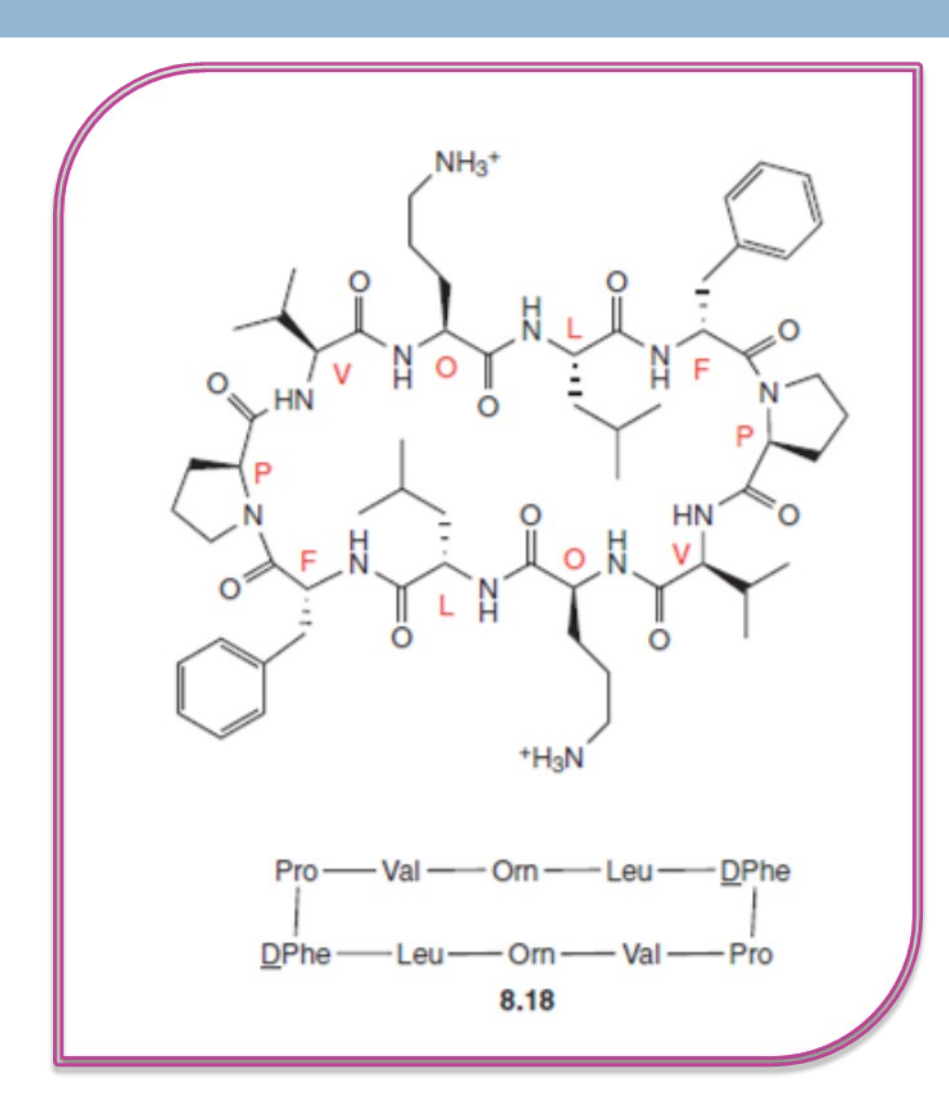
### Metodología para la elucidación de la estructura de las proteínas

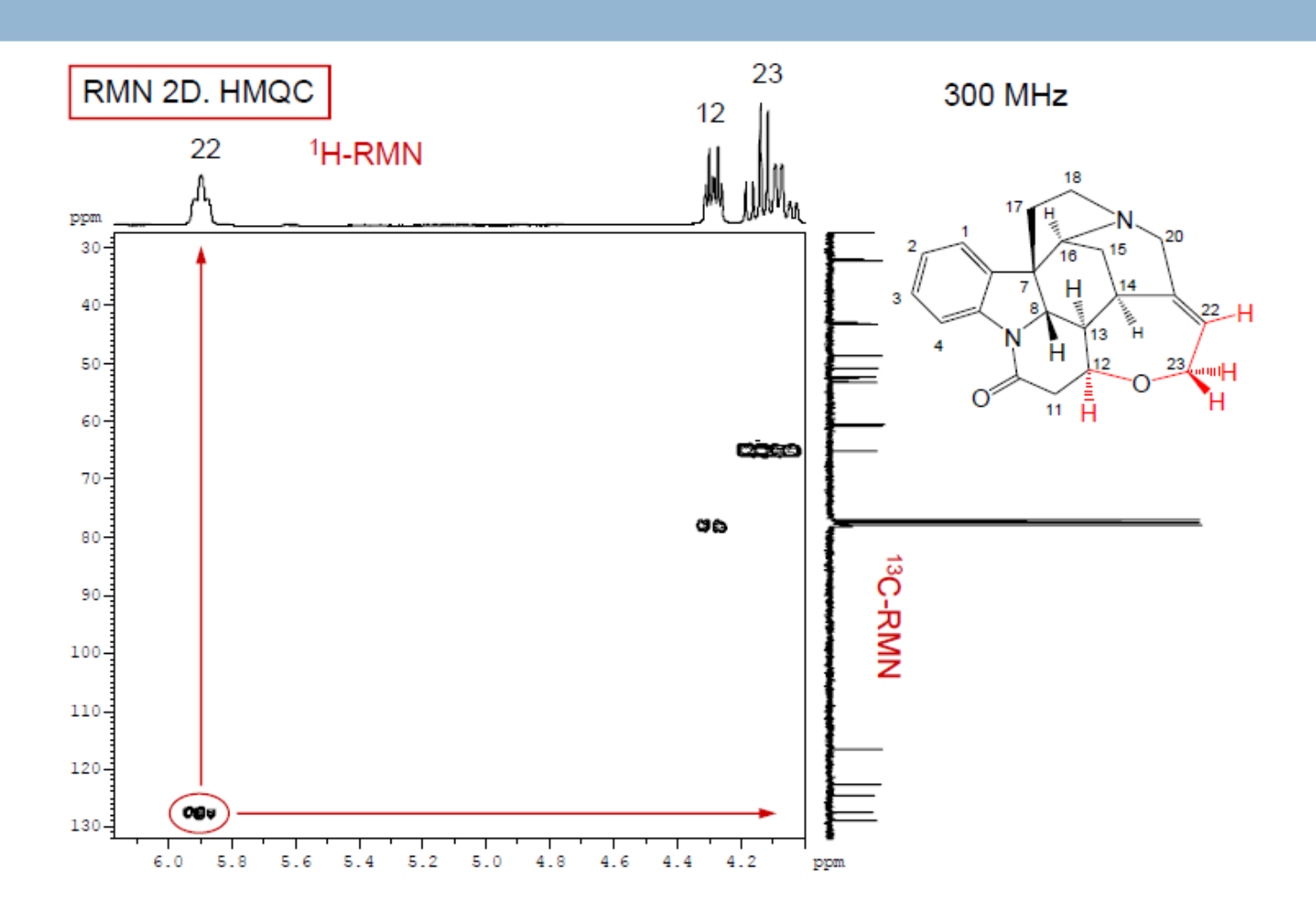




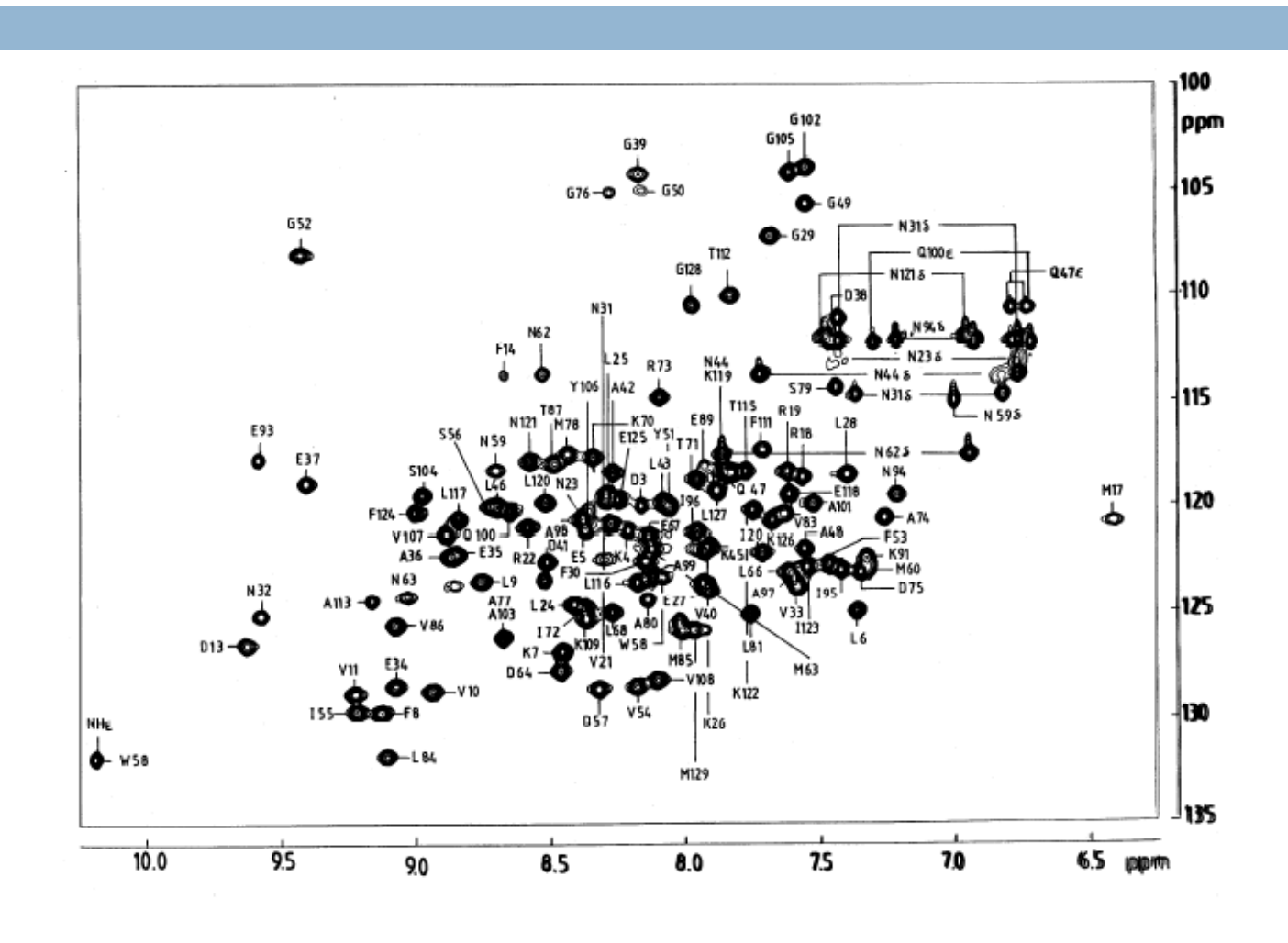
# Elucidación estructura primaria





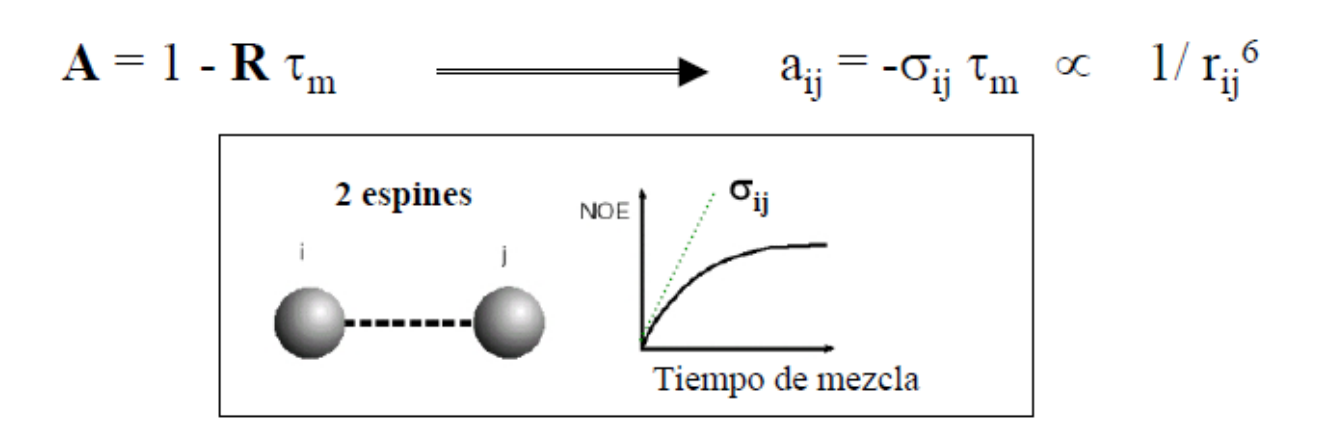


### Correlación <sup>15</sup>N-<sup>1</sup>H



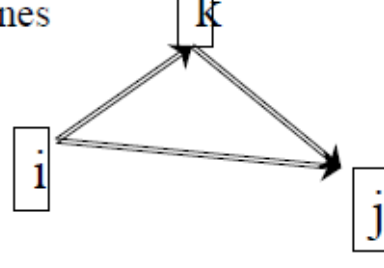
### Determinación de distancias experimentales por NOE

Aproximación de 2 espines en el límite de tiempos de mezcla cortos: La velocidad inicial sólo depende de la relajación cruzada del par de espines. Si no hay variación en el tiempo de correlación la velocidad inicial sólo depende de la distancia internuclear.



En general se debe considerar toda la red de espines

$$a_{ij} = -\sigma_{ij} \; \tau_m + \sum \; \sigma_{ik} \; \sigma_{kj} \; \tau_m^{\; \; 2} + \ldots \quad \boxed{i}$$



## Simulación de NOE: programa NOEPROM

- Características:
  - NOE estacionario, 2D NOESY y 2D ROESY
  - Equilibrio conformacional
  - Simulación simultánea de toda la red de protones
  - Flexibilidad. Modelos dinámicos

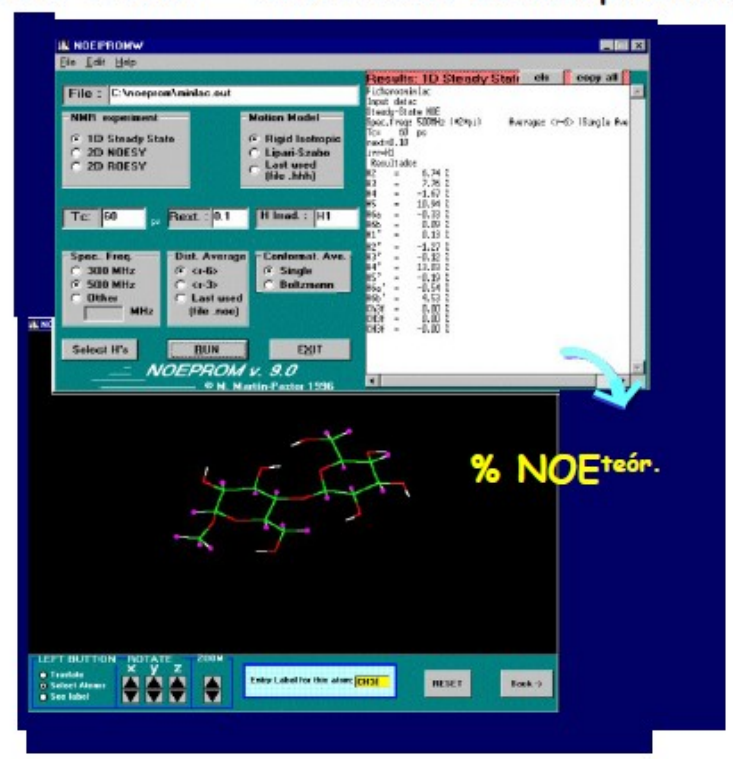


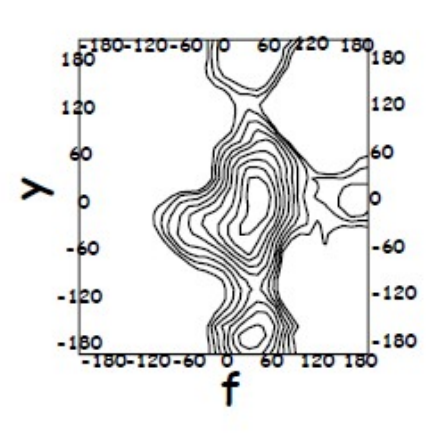
# Cálculos de NOE con matriz de relajación completa

El NOE teórico puede calcularse a partir de la/s

$$A = \exp[-R^{\text{teór.}} \tau_m] \qquad \longrightarrow \qquad R = -\ln[A^{\text{teór.}}] / \tau_m$$

NOEPROM: Tratamiento de múltiples conformaciones: Mapas de Energía, MD, SA,





# Caso inverso: Deducción de la estructura a partir de datos

#### NOE

- Problemas con NOE
  - Ambigüedades en la asignacion: quiralidad, pro-quiralidad, translape de señales  $\rightarrow$  considerar un conjunto de posibles asignaciones del NOE.
  - Falta de asignación, asignación incorrecta, ruido, equilibrio conformacional, translape en el pico diagonal.
  - □ Distancias imprecisas → introducir un cierto margen de error en la distancia permitida. Su efecto no es demasiado crítico, si se tiene un número suficiente de restricciones en esta zona de la molécula.
  - Matriz de distancias incompleta
  - Matriz R incompleta

### Introducción de restricciones NOE en cálculos moleculares

119

#### MM

Metodo I Restricciones de distancia fijas previamente deducidas a partir de la intensidad del NOE se introducen en el cálculo de la energía



 $d_{A-B} < d_{max}$ 

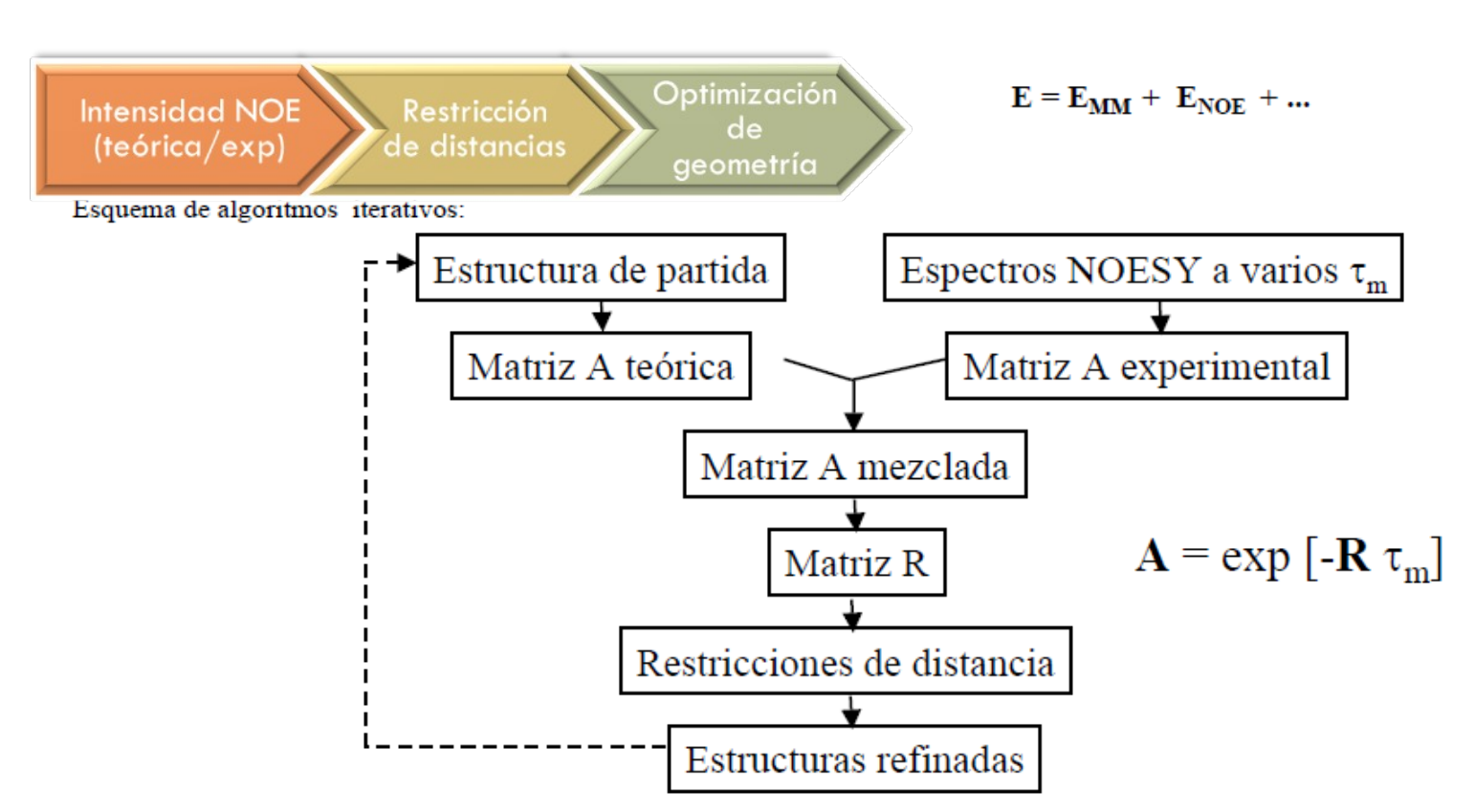
La optimización de la geometría se realiza mediante MM incluyendo un término de pseudo-energía basado en las distancias NOE calculadas

$$E = E_{MM} + E_{dist.} + \dots$$

funcion biharmónica

$$E_{dist.} = \sum f(r_{ij} - r_{ij}^{0}) \qquad f(r_{ij} - r_{ij}^{0}) = \begin{cases} 0 & \text{Si } r \leq r_{0} \\ (r - r_{0})^{n} & \text{Si } r > r_{0} \end{cases}$$

### Introducción de restricciones NOE en cálculos moleculares



Programas: IRMA, MARDIGRAS, CANDID, DINOSAUR, HADDOCK ...

Güntert et al., J. Mol. Biol., 2002, 319, 209-227

### α-Sarcina

